

# Das T0-Modell (Planck-Referenziert)

Eine Neuformulierung der Physik  
Von der Zeit-Energie-Dualität zur reinen  
energiebasierten Beschreibung der Natur

Eine theoretische Arbeit zur fundamentalen  
Vereinfachung physikalischer Konzepte durch  
energiebasierte Formulierungen mit Planck-Skalen-Referenz

Johann Pascher  
Abteilung für Kommunikationstechnologie  
Höhere Technische Bundeslehranstalt (HTL), Leonding, Österreich  
[johann.pascher@gmail.com](mailto:johann.pascher@gmail.com)

18. Juli 2025

## Zusammenfassung

Das Standardmodell der Teilchenphysik und die Allgemeine Relativitätstheorie beschreiben die Natur mit über 20 freien Parametern und getrennten mathematischen Formalismen. Das T0-Modell reduziert diese Komplexität auf ein einziges universelles Energiefeld  $E(x, t)$ , das durch den exakten geometrischen Parameter  $\xi_{\text{geom}} = \frac{4}{3} \times 10^{-4}$  und universelle Dynamik gesteuert wird:

$$\square E(x, t) = 0 \quad (1)$$

**Planck-Referenzierter Rahmen:** Diese Arbeit verwendet die etablierte Planck-Länge  $\ell_P = \sqrt{G}$  als Referenzskala, wobei T0-charakteristische Längen  $r_0 = 2GE$  auf Sub-Planck-Skalen operieren. Das Skalenverhältnis  $\xi_{\text{ratio}} = \ell_P/r_0$  bietet natürliche Dimensionsanalyse und SI-Einheitsumrechnung.

**Energiebasiertes Paradigma:** Alle physikalischen Größen werden rein in Bezug auf Energie und Energieverhältnisse ausgedrückt. Die fundamentale Zeitskala ist  $t_0 = 2GE$ , und die grundlegende Dualitätsbeziehung ist  $T_{\text{field}} \cdot E_{\text{field}} = 1$ .

**Experimenteller Erfolg:** Die parameterfreie T0-Vorhersage für das anomale magnetische Moment des Myons stimmt mit dem Experiment bis auf 0,10 Standardabweichungen überein - eine spektakuläre Verbesserung gegenüber dem Standardmodell (4,2 $\sigma$  Abweichung).

**Geometrische Grundlage:** Die Theorie basiert auf exakten geometrischen Beziehungen, eliminiert freie Parameter und bietet eine einheitliche Beschreibung aller fundamentalen Wechselwirkungen durch Energiefelddynamik.

# Inhaltsverzeichnis

<b>1</b>	<b>Die Zeit-Energie-Dualität als Fundamentalprinzip</b>	<b>2</b>
1.1	Mathematische Grundlagen	2
1.1.1	Die fundamentale Dualitätsbeziehung	2
1.1.2	Das intrinsische Zeitfeld mit Planck-Referenz	2
1.1.3	Feldgleichung für das Energiefeld	3
1.2	Planck-referenzierte Skalenhierarchie	3
1.2.1	Die Planck-Skala als Referenz	3
1.2.2	T0-charakteristische Skalen als Sub-Planck-Phänomene	3
1.2.3	Der Skalenverhältnis-Parameter	4
1.3	Geometrische Ableitung der charakteristischen Länge	4
1.3.1	Energiebasierte charakteristische Länge	4
1.3.2	Vollständige Energiefeld-Lösung	5
1.4	Der universelle geometrische Parameter	5
1.4.1	Die exakte geometrische Konstante	5
1.4.2	Beziehung zu Skalenverhältnissen	5
1.5	Drei fundamentale Feldgeometrien	6
1.5.1	Lokalisierte sphärische Energiefelder	6
1.5.2	Lokalisierte nicht-sphärische Energiefelder	6
1.5.3	Unendliche homogene Energiefelder	7
1.6	Skalenhierarchie und Energieprimärität	7
1.6.1	Fundamentale vs. Referenzskalen	7
1.6.2	Numerische Beispiele mit Planck-Referenz	7
1.6.3	Energiebasierte Dimensionsanalyse	8
1.7	Physikalische Implikationen	8
1.7.1	Zeit-Energie als komplementäre Aspekte	8
1.7.2	Brücke zur Allgemeinen Relativität	9
1.7.3	Modifizierte Quantenmechanik	9
1.8	Experimentelle Konsequenzen	9
1.8.1	Energieskalen-abhängige Effekte	9
1.8.2	Universelle Energiebeziehungen	10
1.9	Erkenntnistheoretische Betrachtungen	10
1.9.1	Energie als primäre Realität	10
1.9.2	Komplementarität mit etablierter Physik	11
1.9.3	Einschränkungen und Grenzen	11
1.10	Verbindung zu fundamentalen Konstanten	11
1.10.1	Natürliche Einheiten und dimensionslose Verhältnisse	11
1.10.2	Parameterfreie Vorhersagen	12

1.11	Schlussfolgerung . . . . .	12
<b>2</b>	<b>Die revolutionäre Vereinfachung der Lagrange-Mechanik</b>	<b>14</b>
2.1	Von der Komplexität des Standardmodells zur Eleganz des T0-Modells . .	14
2.1.1	Das Problem der Vielfeldkomplexität . . . . .	14
2.2	Die universelle T0-Lagrange-Dichte . . . . .	15
2.2.1	Der Energiefeld-Kopplungsparameter . . . . .	15
2.3	Die T0-Zeitskala und korrekte Dimensionsanalyse . . . . .	16
2.3.1	Die fundamentale T0-Zeitskala . . . . .	16
2.3.2	Beziehung zur Planck-Zeit . . . . .	16
2.4	Das intrinsische Zeitfeld mit korrigierter Normalisierung . . . . .	17
2.4.1	Definition des Zeitfeldes . . . . .	17
2.4.2	Zeit-Energie-Dualität . . . . .	17
2.5	Die Feldgleichung . . . . .	18
2.5.1	Dimensionale Konsistenz . . . . .	18
2.6	Die universelle Wellengleichung . . . . .	19
2.6.1	Ableitung aus der Zeit-Energie-Dualität . . . . .	19
2.7	Behandlung von Antiteilchen . . . . .	20
2.7.1	Negative Energiefeld-Anregungen . . . . .	20
2.7.2	Lagrange-Universalität . . . . .	20
2.8	Kopplungskonstanten und Symmetrien . . . . .	20
2.8.1	Die universelle Kopplungskonstante . . . . .	20
2.8.2	Emergente Symmetrien . . . . .	21
2.9	Verbindung zur Quantenmechanik . . . . .	21
2.9.1	Die modifizierte Schrödinger-Gleichung . . . . .	21
2.9.2	Wellenfunktion als Energiefeld-Anregung . . . . .	22
2.9.3	Zeitfeld-Normalisierung in der Quantenmechanik . . . . .	22
2.10	Renormierung und Quantenkorrekturen . . . . .	22
2.10.1	Natürliche Abschneideskala . . . . .	22
2.10.2	Schleifenkorrekturen . . . . .	23
2.11	Experimentelle Vorhersagen . . . . .	23
2.11.1	Modifizierte Dispersionsrelationen . . . . .	23
2.11.2	Zeitfeld-Detektion . . . . .	23
2.11.3	Energiefeld-Oszillationen . . . . .	24
2.12	Schlussfolgerung: Die Eleganz der Vereinfachung . . . . .	24
<b>3</b>	<b>Die Feldtheorie des universellen Energiefelds</b>	<b>25</b>
3.1	Reduktion der Komplexität des Standardmodells . . . . .	25
3.1.1	Das Multifeldproblem des Standardmodells . . . . .	25
3.1.2	Dimensionsanalyse der Standardmodellfelder . . . . .	25
3.1.3	T0-Reduktion auf ein universelles Energiefeld . . . . .	26
3.2	Die universelle Wellengleichung . . . . .	26
3.2.1	Herleitung aus der Zeit-Energie-Dualität . . . . .	26
3.3	Teilchenklassifikation nach Energiemustern . . . . .	27
3.3.1	Lösungsansatz für Teilchenanregungen . . . . .	27
3.3.2	Dispersionsrelationen . . . . .	28
3.3.3	Teilchenklassifikation nach Energiemustern . . . . .	28

3.3.4	Energieskala-Hierarchie . . . . .	29
3.4	Die universelle Lagrangedichte . . . . .	29
3.4.1	Energiebasierte Lagrangedichte . . . . .	29
3.4.2	Erweiterte Lagrangedichte . . . . .	30
3.5	Energiebasierte Gravitationskopplung . . . . .	30
3.5.1	Neuinterpretation der Gravitationskonstante . . . . .	30
3.5.2	Energiebasierte Einstein-Gleichungen . . . . .	31
3.6	Das T0-Zeitfeld . . . . .	31
3.6.1	Definition des Zeitfelds . . . . .	31
3.6.2	Zeitfelddynamik . . . . .	31
3.7	Modifizierte kovariante Ableitung . . . . .	32
3.7.1	Zeitfeld-Modifikation . . . . .	32
3.7.2	Christoffel-Symbole mit Zeitfeld . . . . .	32
3.8	Antiteilchen als negative Energieanregungen . . . . .	33
3.8.1	Einheitliche Beschreibung . . . . .	33
3.8.2	Lagrange-Universalität . . . . .	34
3.9	Emergente Symmetrien . . . . .	34
3.9.1	Standardmodell-Symmetrien . . . . .	34
3.9.2	Symmetriebrechung . . . . .	35
3.10	Experimentelle Vorhersagen . . . . .	35
3.10.1	Universelle Energiekorrekturen . . . . .	35
3.10.2	Energieunabhängige Verhältnisse . . . . .	35
3.10.3	Lepton-Universalität . . . . .	36
3.11	Schlussfolgerung: Die Einheit der Energie . . . . .	36
<b>4</b>	<b>Das Myon g-2 als entscheidender experimenteller Beweis</b>	<b>37</b>
4.1	Einleitung: Die experimentelle Herausforderung . . . . .	37
4.2	Definition des anomalen magnetischen Moments . . . . .	37
4.2.1	Grundlegende Definition . . . . .	37
4.2.2	Physikalische Interpretation . . . . .	38
4.3	Experimentelle Ergebnisse und Standardmodell-Krise . . . . .	38
4.3.1	Fermilab Myon g-2 Experiment . . . . .	38
4.4	T0-Modell-Vorhersage: Parameterfreie Berechnung . . . . .	38
4.4.1	Die geometrische Grundlage . . . . .	38
4.4.2	Numerische Auswertung . . . . .	39
4.5	Vergleich mit dem Experiment: Ein Triumph der geometrischen Physik . . . . .	39
4.5.1	Direkter Vergleich . . . . .	39
4.5.2	Statistische Analyse . . . . .	40
4.6	Universelles Lepton-Skalierungsgesetz . . . . .	40
4.6.1	Die Energie-Quadrat-Skalierung . . . . .	40
4.6.2	Skalierungsverifikation . . . . .	40
4.7	Physikalische Interpretation: Geometrische Kopplung . . . . .	41
4.7.1	Raumzeit-Elektromagnetismus-Verbindung . . . . .	41
4.7.2	Skalenfaktor-Interpretation . . . . .	41
4.8	Experimentelle Tests und Zukunftsprognosen . . . . .	41
4.8.1	Verbesserte Myon g-2 Messungen . . . . .	41

4.8.2	Tau g-2 Experimentalprogramm . . . . .	41
4.8.3	Elektron g-2 Präzisionstest . . . . .	42
4.9	Theoretische Bedeutung . . . . .	42
4.9.1	Parameterfreie Physik . . . . .	42
4.9.2	Geometrische Grundlage des Elektromagnetismus . . . . .	42
4.10	Grenzen und Gültigkeitsbereich . . . . .	42
4.10.1	Gültigkeitsbereich . . . . .	42
4.10.2	Unbekannte Bereiche . . . . .	43
4.11	Schlussfolgerung: Eine Revolution in der theoretischen Physik . . . . .	43
<b>5</b>	<b>Energieverlust und kosmologische Anwendungen</b>	<b>45</b>
5.1	Kritik der Standardkosmologie . . . . .	45
5.1.1	Probleme des expandierenden Universums-Modells . . . . .	45
5.1.2	Die Hubble-Spannungskrise . . . . .	46
5.2	Zeitfeld-induzierte Rotverschiebung . . . . .	46
5.2.1	Energieverlust-Mechanismus . . . . .	46
5.2.2	Energieverlustrate mit geometrischem Parameter . . . . .	47
5.2.3	Integration über kosmische Distanzen . . . . .	48
5.2.4	Hubble-artige Beziehung . . . . .	48
5.3	Wellenlängenabhängige Rotverschiebung . . . . .	49
5.3.1	T0-Vorhersage der Wellenlängenabhängigkeit . . . . .	49
5.3.2	Wellenlängenabhängige Rotverschiebungsformel . . . . .	50
5.3.3	Physikalische Interpretation . . . . .	51
5.3.4	Experimentelle Signatur . . . . .	51
5.4	Modifizierte Gravitationsdynamik . . . . .	51
5.4.1	Modifiziertes Gravitationspotential . . . . .	51
5.4.2	Galaxie-Rotationskurven . . . . .	52
5.5	Lösung kosmologischer Probleme . . . . .	52
5.5.1	Lösung der Hubble-Spannung . . . . .	52
5.5.2	Eliminierung der Dunklen Energie . . . . .	53
5.6	CMB-Temperaturevolution . . . . .	54
5.6.1	Modifizierte Temperatur-Rotverschiebungs-Beziehung . . . . .	54
5.6.2	Vorhersagen für hohe Rotverschiebung . . . . .	54
5.7	Statisches Universums-Modell . . . . .	54
5.7.1	Keine räumliche Expansion . . . . .	54
5.7.2	Vorteile des statischen Modells . . . . .	55
5.8	Experimentelle Tests und Vorhersagen . . . . .	56
5.8.1	Wellenlängenabhängige Rotverschiebung . . . . .	56
5.8.2	CMB-Frequenzabhängigkeit . . . . .	56
5.8.3	Modifizierte Galaxiendynamik . . . . .	56
5.9	Schlussfolgerung: Ein neues kosmologisches Paradigma . . . . .	57
<b>6</b>	<b>Jenseits der Wahrscheinlichkeiten: Die deterministische Seele der Quantenwelt</b>	<b>59</b>
6.1	Das Ende des Quantenmystizismus . . . . .	59
6.1.1	Probleme der Standard-Quantenmechanik . . . . .	59
6.1.2	T0-Energiefeld-Lösung . . . . .	59

6.2	Die universelle Energiefeld-Gleichung . . . . .	60
6.2.1	Fundamentale Dynamik . . . . .	60
6.2.2	Wellenfunktion als Energiefeld . . . . .	60
6.3	Von Wahrscheinlichkeitsamplituden zu Energiefeldverhältnissen . . . . .	61
6.3.1	Standard vs. T0-Darstellung . . . . .	61
6.3.2	Deterministische Einzelmessungen . . . . .	61
6.4	Deterministische Verschränkung . . . . .	61
6.4.1	Energiefeld-Korrelationen . . . . .	61
6.4.2	Modifizierte Bell-Ungleichungen . . . . .	62
6.5	Die modifizierte Schrödinger-Gleichung . . . . .	62
6.5.1	Zeitfeld-Kopplung . . . . .	62
6.5.2	Deterministische Evolution . . . . .	62
6.6	Eliminierung des Messproblems . . . . .	63
6.6.1	Kein Wellenfunktions-Kollaps . . . . .	63
6.6.2	Beobachterunabhängige Realität . . . . .	63
6.7	Deterministisches Quantencomputing . . . . .	64
6.7.1	Qubits als Energiefeldkonfigurationen . . . . .	64
6.7.2	Quantengatter-Operationen . . . . .	64
6.7.3	Deterministische Quantenalgorithmen . . . . .	65
6.8	Modifizierte Dirac-Gleichung . . . . .	65
6.8.1	Zeitfeld-Kopplung in relativistischer QM . . . . .	65
6.8.2	Vereinfachung zur universellen Gleichung . . . . .	66
6.9	Experimentelle Vorhersagen und Tests . . . . .	66
6.9.1	Präzisions-Bell-Tests . . . . .	66
6.9.2	Einzelmessungsvorhersagen . . . . .	66
6.9.3	Quantencomputing-Tests . . . . .	67
6.10	Erkenntnistheoretische Überlegungen . . . . .	67
6.10.1	Grenzen der deterministischen Interpretation . . . . .	67
6.10.2	Praktische Vorteile . . . . .	67
6.11	Schlussfolgerung: Die Wiederherstellung des Determinismus . . . . .	67
<b>7</b>	<b>Das anomale magnetische Moment als Prüfstein</b>	<b>69</b>
7.1	Wenn die Natur mit sich selbst spricht . . . . .	69
7.1.1	Die Präzisionsgrenze . . . . .	69
7.1.2	Die Herausforderung des Myon g-2 Experiments . . . . .	69
7.2	T0-Vorhersage: Ein Triumph mathematischer Eleganz . . . . .	70
7.2.1	Parameterfreie Berechnung . . . . .	70
7.2.2	Geometrische Grundlage . . . . .	71
7.2.3	Numerische Auswertung . . . . .	71
7.3	Vergleich mit dem Experiment: Eine bemerkenswerte Übereinstimmung . . . . .	72
7.3.1	Statistische Analyse . . . . .	72
7.3.2	Verbesserung gegenüber dem Standardmodell . . . . .	73
7.4	Universelles Lepton-Skalierungsgesetz . . . . .	73
7.4.1	Die Energie-Quadrat-Abhängigkeit . . . . .	73
7.4.2	Elektron-Vorhersage . . . . .	73
7.4.3	Tau-Vorhersage . . . . .	74

7.5	Physikalische Interpretation: Der Zeitfeld-Mechanismus . . . . .	74
7.5.1	Energiefeld-Verstärkung . . . . .	74
7.5.2	Geometrischer Ursprung . . . . .	75
7.5.3	Das Universalitätsprinzip . . . . .	76
7.6	Experimentelle Tests und zukünftige Vorhersagen . . . . .	76
7.6.1	Präzisions-Myon-g-2-Messungen . . . . .	76
7.6.2	Tau-g-2-Experimentalprogramm . . . . .	77
7.6.3	Skalierungsgesetzverifizierung . . . . .	77
7.7	Theoretische Implikationen . . . . .	78
7.7.1	Jenseits des Standardmodells . . . . .	78
7.7.2	Vereinigungsindikator . . . . .	78
7.8	Die Grenzen der theoretischen Präzision . . . . .	79
7.8.1	Erkenntnistheoretische Überlegungen . . . . .	79
7.8.2	Alternative Interpretationen . . . . .	79
7.8.3	Gültigkeitsbereich . . . . .	79
7.9	Schlussfolgerung: Ein mathematischer Triumph . . . . .	80
<b>8</b>	<b>Der <math>\xi</math>-Fixpunkt: Das Ende der freien Parameter</b>	<b>82</b>
8.1	Die fundamentale Einsicht: $\xi$ als universeller Fixpunkt . . . . .	82
8.1.1	Der Paradigmenwechsel von numerischen Werten zu Verhältnissen . . . . .	82
8.1.2	Die geometrische Grundlage . . . . .	83
8.2	Energieskala-Hierarchie und universelle Konstanten . . . . .	83
8.2.1	Der universelle Skalenverbinder . . . . .	83
8.2.2	Natürliche Skalenbeziehungen . . . . .	83
8.3	Eliminierung freier Parameter . . . . .	84
8.3.1	Die Parameter-Zählungsrevolution . . . . .	84
8.3.2	Universelle Parameterbeziehungen . . . . .	84
8.4	Die universelle Energiefeldgleichung . . . . .	85
8.4.1	Vollständige energiebasierte Formulierung . . . . .	85
8.4.2	Parameterfreie Lagrangedichte . . . . .	85
8.5	Charakteristische Skalen und natürliche Einheiten . . . . .	86
8.5.1	Energieskala-Ausdrücke . . . . .	86
8.5.2	Universelle Skalengesetze . . . . .	86
8.6	Experimentelle Verifikationsmatrix . . . . .	86
8.6.1	Parameterfreie Vorhersagen . . . . .	86
8.6.2	Universelles Testprotokoll . . . . .	87
8.7	Das Ende der empirischen Physik . . . . .	87
8.7.1	Von Messung zu Berechnung . . . . .	87
8.7.2	Das geometrische Universum . . . . .	88
8.8	Philosophische Implikationen . . . . .	88
8.8.1	Die Rückkehr zur pythagoreischen Physik . . . . .	88
8.8.2	Die Einheit des physikalischen Gesetzes . . . . .	88
8.9	Theoretische Konsistenzprüfungen . . . . .	89
8.9.1	Renormierungsgruppen-Fluss . . . . .	89
8.9.2	Eichinvarianz . . . . .	89
8.10	Schlussfolgerung: Der Fixpunkt der Realität . . . . .	89



<b>9</b>	<b>Energiebasierte Feldkonfigurationen und Skalenhierarchie</b>	<b>91</b>
9.1	T0-Skalenhierarchie: Sub-Plancksche Energieskalen	91
9.1.1	Der energiebasierte Skalenparameter	91
9.1.2	Sub-Plancksche Skalenverhältnisse	92
9.1.3	Numerische Beispiele von sub-Planckschen Skalen	92
9.1.4	Physikalische Implikationen des sub-Planckschen Betriebs	92
9.2	Systematische Eliminierung von Masseparametern	93
9.2.1	Das Problem der scheinbaren Masseabhängigkeit	93
9.2.2	Das intrinsische Zeitfeld: Massefreie Formulierung	93
9.3	Herleitung der Energiefeldgleichung	94
9.3.1	Die T0-Feldgleichung für Energiedichten	94
9.3.2	Energiebasierte Feldgleichung	94
9.4	Geometrische Herleitung der charakteristischen Länge	95
9.4.1	Schrittweise geometrische Herleitung	95
9.4.2	Randbedingungen und charakteristische Länge	95
9.4.3	Vollständige Energiefeldlösung	96
9.5	Die drei fundamentalen Feldgeometrien	96
9.5.1	Lokalisierte sphärische Energiefelder	96
9.5.2	Lokalisierte nicht-sphärische Energiefelder	97
9.5.3	Unendliche homogene Energiefelder	97
9.6	Praktische Vereinheitlichung von Geometrien	98
9.6.1	Die extreme Skalenhierarchie	98
9.6.2	Universelle Anwendbarkeit	98
9.7	Physikalische Interpretation und emergente Konzepte	98
9.7.1	Energie als fundamentale Realität	98
9.7.2	Emergente Massekonzepte	99
9.7.3	Parameterfreie Physik	99
9.8	Verbindung zur etablierten Physik	100
9.8.1	Schwarzschild-Korrespondenz	100
9.8.2	Quantenfeldtheorie-Brücke	100
9.8.3	Dimensionsanalyse-Erweiterungen	101
9.9	Erweiterte Feldkonfigurationen	101
9.9.1	Mehrteilchensysteme	101
9.9.2	Zeitabhängige Konfigurationen	101
9.9.3	Quantenkorrekturen	102
9.10	Schlussfolgerung: Energiebasierte Vereinheitlichung	102
<b>10</b>	<b>Die Vereinfachung der Dirac-Gleichung</b>	<b>103</b>
10.1	Die Komplexität des Standard-Dirac-Formalismus	103
10.1.1	Die traditionelle $4 \times 4$ -Matrixstruktur	103
10.1.2	Die Last der mathematischen Komplexität	103
10.1.3	Beispiele für Matrixdarstellungen	104
10.2	Der T0-Energiefeld-Ansatz	104
10.2.1	Teilchen als Energiefeld-Anregungen	104
10.2.2	Korrekte Energiefeld-Normierung	104
10.2.3	Teilchenklassifikation nach Energieinhalt	105

10.3	Spin aus Feldrotation	105
10.3.1	Geometrischer Ursprung des Spins - Korrigiert	105
10.3.2	Spin-Klassifikation nach Rotationsmustern	106
10.4	Warum 4×4-Matrizen unnötig sind	106
10.4.1	Informationsgehalt-Analyse	106
10.5	Universelle Feldgleichungen	107
10.5.1	Eine Gleichung für alle Teilchen	107
10.5.2	Antiteilchen-Vereinigung	107
10.6	Experimentelle Vorhersagen	107
10.6.1	Magnetisches Moment Vorhersagen - Korrigiert	107
10.6.2	Wirkungsquerschnitt-Modifikationen	108
10.7	Fazit: Geometrische Vereinfachung	108
<b>11</b>	<b>Geometrische Grundlagen und 3D-Raumverbindungen</b>	<b>109</b>
11.1	Die fundamentale geometrische Konstante	109
11.1.1	Der exakte Wert: $\xi = 4/3 \times 10^{-4}$	109
11.1.2	Zerlegung der geometrischen Konstante	109
11.2	Geometrie des dreidimensionalen Raums	110
11.2.1	Der Kugelvolumenfaktor	110
11.2.2	Alternative geometrische Interpretationen	110
11.2.3	Dimensionale Verallgemeinerung	110
11.3	Energiefeld-Kopplung an räumliche Geometrie	111
11.3.1	Der fundamentale Kopplungsmechanismus	111
11.3.2	Geometrische Feldgleichungen	111
11.3.3	Kugelflächenfunktionen und Feldmoden	112
11.4	Das universelle Skalenverhältnis: $10^{-4}$	112
11.4.1	Ursprung des Skalenfaktors	112
11.4.2	Hierarchie der physikalischen Skalen	113
11.4.3	Geometrische Interpretation von $10^{-4}$	113
11.5	Verbindung zu fundamentalen physikalischen Konstanten	114
11.5.1	Gravitationskopplung	114
11.5.2	Schwache Wechselwirkungskopplung	114
11.6	Experimentelle Verifizierung geometrischer Parameter	114
11.6.1	Direkte Tests des 4/3-Faktors	114
11.6.2	Tests des Skalenverhältnisses	115
11.6.3	Präzisionstests von $\xi = 4/3 \times 10^{-4}$	115
11.7	Geometrische Vereinigung fundamentaler Wechselwirkungen	116
11.7.1	Universelles geometrisches Prinzip	116
11.7.2	Geometrische große Vereinheitlichung	116
11.7.3	Jenseits des Standardmodells	116
11.8	Implikationen für Kosmologie und Raumzeit	117
11.8.1	Geometrischer Ursprung der Raumzeit	117
11.8.2	Kosmologische Konstante aus der Geometrie	117
11.8.3	Dunkle Materie und Dunkle Energie	118
11.9	Philosophische und grundlegende Implikationen	118
11.9.1	Der Vorrang der Geometrie	118

11.9.2	Pythagoräische Physik verwirklicht	118
11.9.3	Das Ende der fundamentalen Teilchen	118
11.10	Fazit: Die geometrische Grundlage der Realität	119
<b>12</b>	<b>Fazit: Ein neues Physik-Paradigma</b>	<b>120</b>
12.1	Die Transformation	120
12.1.1	Von der Komplexität zur fundamentalen Einfachheit	120
12.1.2	Die Revolution der Parameterelimination	120
12.2	Experimentelle Validierung	121
12.2.1	Der Triumph des anomalen magnetischen Moments des Myons	121
12.2.2	Universelle Leptonenvorhersagen	121
12.2.3	Kosmologische Anwendungen	122
12.3	Theoretische Errungenschaften	122
12.3.1	Universelle Feldvereinigung	122
12.3.2	Geometrische Grundlage	123
12.3.3	Vereinfachung der Quantenmechanik	123
12.4	Philosophische Implikationen	124
12.4.1	Die Rückkehr zur pythagoräischen Physik	124
12.4.2	Das Ende des Reduktionismus	124
12.4.3	Beobachterunabhängige Realität	124
12.5	Erkenntnistheoretische Überlegungen	125
12.5.1	Die Grenzen des theoretischen Wissens	125
12.5.2	Empirische Unterscheidbarkeit	125
12.5.3	Methodologische Beiträge	126
12.6	Zukünftige Forschungsrichtungen	126
12.6.1	Unmittelbare experimentelle Tests	126
12.6.2	Theoretische Entwicklungen	126
12.6.3	Technologische Anwendungen	127
12.7	Auswirkungen auf die wissenschaftliche Kultur	128
12.7.1	Bildungstransformation	128
12.7.2	Änderungen der Forschungsmethodik	128
12.7.3	Interdisziplinäre Verbindungen	129
12.8	Das revolutionäre Paradigma	129
12.8.1	Charakteristika des Paradigmenwechsels	129
12.8.2	Widerstand und Akzeptanz	130
12.9	Die ultimative Vereinfachung	130
12.9.1	Die fundamentale Gleichung der Realität	130
12.9.2	Die Hierarchie der physikalischen Realität	131
12.9.3	Einsteins Traum verwirklicht	131
12.10	Feinstrukturkonstante: Kritische Korrektur	131
12.10.1	Fundamentaler Unterschied: SI vs. natürliche Einheiten	131
12.10.2	Warum $\alpha = 1$ in natürlichen Einheiten	132
12.10.3	T0-Modell-Kopplungskonstanten - Korrigiert	132
12.10.4	Verbindung zu SI-Einheiten	132
12.10.5	Geometrische Herleitung im T0-Modell	133
12.10.6	Praktische Konsequenzen	133

12.10.7 Häufige Fehlerquellen . . . . .	133
12.10.8 Vollständige Symboltabelle - Korrigiert . . . . .	134
12.10.9 Experimentelle Vorhersagen - Korrigiert . . . . .	134
12.10.10 Dimensionale Konsistenz . . . . .	134
12.11 Universelle Parameterbeziehungen - Korrigiert . . . . .	134
12.11.1 Warum dies für den T0-Erfolg wichtig ist . . . . .	135
12.11.2 Universelle Lagrange-Dichte - Korrigiert . . . . .	135
<b>A Vollständiges Symbolverzeichnis</b>	<b>136</b>
A.1 Griechische Buchstaben . . . . .	136
A.2 Lateinische Buchstaben (Großbuchstaben) . . . . .	137
A.3 Lateinische Buchstaben (Kleinbuchstaben) . . . . .	137
A.4 Operatoren und Sonderzeichen . . . . .	138
A.5 Indizes und Bezeichnungen . . . . .	139
A.6 Konstanten und numerische Werte . . . . .	140
A.7 Dimensionen in natürlichen Einheiten . . . . .	140
A.8 Häufig verwendete Kombinationen . . . . .	140
A.9 Kritische Hinweise . . . . .	141
A.9.1 Feinstrukturkonstante . . . . .	141
A.9.2 Universelle geometrische Konstante . . . . .	141
A.9.3 Zeit-Energie-Dualität . . . . .	141
A.9.4 Konvention natürlicher Einheiten . . . . .	141
A.10 Quellenangabe . . . . .	142

# Kapitel 1

## Die Zeit-Energie-Dualität als Fundamentalprinzip

### 1.1 Mathematische Grundlagen

#### 1.1.1 Die fundamentale Dualitätsbeziehung

Das Herzstück des T0-Modells ist die Zeit-Energie-Dualität, ausgedrückt in der fundamentalen Beziehung:

$$\boxed{T(x, t) \cdot E(x, t) = 1} \quad (1.1)$$

Diese Beziehung ist nicht nur eine mathematische Formalität, sondern spiegelt eine tiefe physikalische Verbindung wider: Zeit und Energie können als komplementäre Manifestationen derselben zugrunde liegenden Realität verstanden werden.

**Dimensionsanalyse:** In natürlichen Einheiten, wo  $\hbar = c = G = k_B = 1$ , haben wir:

$$[T(x, t)] = [E^{-1}] \quad (\text{Zeitdimension}) \quad (1.2)$$

$$[E(x, t)] = [E] \quad (\text{Energiedimension}) \quad (1.3)$$

$$[T(x, t) \cdot E(x, t)] = [E^{-1}] \cdot [E] = [1] \quad \checkmark \quad (1.4)$$

Diese dimensionale Konsistenz bestätigt, dass die Dualitätsbeziehung mathematisch im natürlichen Einheitensystem wohldefiniert ist.

#### 1.1.2 Das intrinsische Zeitfeld mit Planck-Referenz

Um diese Dualität zu verstehen, betrachten wir das intrinsische Zeitfeld, definiert durch:

$$T(x, t) = \frac{1}{\max(E(x, t), \omega)} \quad (1.5)$$

wobei  $\omega$  die Photonenenergie repräsentiert (gemäß der Notationskonvention aus der Symbolliste).

**Dimensionale Verifikation:** Die Max-Funktion wählt die relevante Energieskala aus:

$$[\max(E(x, t), \omega)] = [E] \quad (1.6)$$

$$\left[ \frac{1}{\max(E(x, t), \omega)} \right] = [E^{-1}] = [T] \quad \checkmark \quad (1.7)$$

Diese Definition ist in ihrer Dimensionsanalyse bemerkenswert präzise und führt zu einer dimensional konsistenten Definition von  $T(x, t)$ .

### 1.1.3 Feldgleichung für das Energiefeld

Das intrinsische Zeitfeld kann als physikalische Größe verstanden werden, die der Feldgleichung gehorcht:

$$\nabla^2 E(x, t) = 4\pi G \rho(x, t) \cdot E(x, t) \quad (1.8)$$

**Dimensionsanalyse der Feldgleichung:**

$$[\nabla^2 E(x, t)] = [E^2] \cdot [E] = [E^3] \quad (1.9)$$

$$[4\pi G \rho(x, t) \cdot E(x, t)] = [E^{-2}] \cdot [E^4] \cdot [E] = [E^3] \quad \checkmark \quad (1.10)$$

Diese Gleichung ähnelt der Poisson-Gleichung der Gravitationstheorie, erweitert sie jedoch zu einer dynamischen Beschreibung des Energiefeldes. Die Lösung dieser Gleichung für sphärisch symmetrische Punktquellen führt zur charakteristischen T0-Längenskala.

## 1.2 Planck-referenzierte Skalenhierarchie

### 1.2.1 Die Planck-Skala als Referenz

Im T0-Modell verwenden wir die etablierte Planck-Länge als unsere fundamentale Referenzskala:

$$\boxed{\ell_P = \sqrt{G} = 1 \quad (\text{in natürlichen Einheiten})} \quad (1.11)$$

**Physikalische Bedeutung:** Die Planck-Länge repräsentiert die charakteristische Skala quantengravitationischer Effekte und dient als natürliche Längeneinheit in Theorien, die Quantenmechanik und allgemeine Relativitätstheorie kombinieren.

**Dimensionale Konsistenz:**

$$[\ell_P] = [\sqrt{G}] = [E^{-2}]^{1/2} = [E^{-1}] = [L] \quad \checkmark \quad (1.12)$$

Ähnlich dient die Planck-Zeit als Referenz-Zeitskala:

$$t_P = \sqrt{G} = 1 \quad (\text{in natürlichen Einheiten}) \quad (1.13)$$

### 1.2.2 T0-charakteristische Skalen als Sub-Planck-Phänomene

Das T0-Modell führt charakteristische Skalen ein, die auf Sub-Planck-Distanzen operieren:

$$\boxed{r_0 = 2GE} \quad (1.14)$$

**Dimensionale Verifikation:**

$$[r_0] = [G][E] = [E^{-2}][E] = [E^{-1}] = [L] \quad \checkmark \quad (1.15)$$

Die entsprechende T0-Zeitskala ist:

$$t_0 = \frac{r_0}{c} = r_0 = 2GE \quad (\text{in natürlichen Einheiten mit } c = 1) \quad (1.16)$$

### 1.2.3 Der Skalenverhältnis-Parameter

Die Beziehung zwischen der Planck-Referenzskala und den T0-charakteristischen Skalen wird durch den dimensionslosen Parameter beschrieben:

$$\xi_{\text{ratio}} = \frac{\ell_P}{r_0} = \frac{\sqrt{G}}{2GE} = \frac{1}{2\sqrt{G} \cdot E} \quad (1.17)$$

**Physikalische Interpretation:** Dieser Parameter zeigt an, wie viele T0-charakteristische Längen in die Planck-Referenzlänge passen. Für typische Teilchenenergien gilt  $\xi_{\text{ratio}} \gg 1$ , was darauf hinweist, dass T0-Effekte auf Skalen wirken, die viel kleiner als die Planck-Länge sind.

**Dimensionale Verifikation:**

$$[\xi] = \frac{[L]}{[L]} = [1] \quad \checkmark \quad (1.18)$$

## 1.3 Geometrische Ableitung der charakteristischen Länge

### 1.3.1 Energiebasierte charakteristische Länge

Die Ableitung der charakteristischen Länge veranschaulicht die geometrische Eleganz des T0-Modells. Ausgehend von der Feldgleichung für das Energiefeld betrachten wir eine sphärisch symmetrische Punktquelle mit Energiedichte  $\rho(r) = E_0 \delta^3(\vec{r})$ .

**Schritt 1: Feldgleichung außerhalb der Quelle** Für  $r > 0$  reduziert sich die Feldgleichung zu:

$$\nabla^2 E = 0 \quad (1.19)$$

**Schritt 2: Allgemeine Lösung** Die allgemeine Lösung in Kugelkoordinaten ist:

$$E(r) = A + \frac{B}{r} \quad (1.20)$$

**Schritt 3: Randbedingungen**

1. **Asymptotische Bedingung:**  $E(r \rightarrow \infty) = E_0$  ergibt  $A = E_0$
2. **Singularitätsstruktur:** Der Koeffizient  $B$  wird durch den Quellenterm bestimmt

**Schritt 4: Integration des Quellenterms** Der Quellenterm trägt bei:

$$\int_0^\infty 4\pi r^2 \rho(r) E(r) dr = 4\pi \int_0^\infty r^2 E_0 \delta^3(\vec{r}) E(r) dr = 4\pi E_0 E(0) \quad (1.21)$$

**Schritt 5: Entstehung der charakteristischen Länge** Die Konsistenzanforderung führt zu:

$$B = -2GE_0^2 \quad (1.22)$$

Dies ergibt die charakteristische Länge:

$$r_0 = 2GE_0 \quad (1.23)$$

### 1.3.2 Vollständige Energiefeld-Lösung

Die resultierende Lösung lautet:

$$E(r) = E_0 \left(1 - \frac{r_0}{r}\right) = E_0 \left(1 - \frac{2GE_0}{r}\right) \quad (1.24)$$

Daraus wird das Zeitfeld:

$$T(r) = \frac{1}{E(r)} = \frac{1}{E_0 \left(1 - \frac{r_0}{r}\right)} = \frac{T_0}{1 - \beta} \quad (1.25)$$

wobei  $\beta = \frac{r_0}{r} = \frac{2GE_0}{r}$  der fundamentale dimensionslose Parameter und  $T_0 = 1/E_0$  ist.

**Dimensionale Verifikation:**

$$[\beta] = \frac{[L]}{[L]} = [1] \quad \checkmark \quad (1.26)$$

$$[T_0] = \frac{1}{[E]} = [E^{-1}] = [T] \quad \checkmark \quad (1.27)$$

## 1.4 Der universelle geometrische Parameter

### 1.4.1 Die exakte geometrische Konstante

Das T0-Modell wird durch den exakten geometrischen Parameter charakterisiert:

$$\xi_{\text{geom}} = \frac{4}{3} \times 10^{-4} = 1,3333... \times 10^{-4} \quad (1.28)$$

**Geometrischer Ursprung:** Dieser Parameter entsteht aus der fundamentalen dreidimensionalen Raumgeometrie. Der Faktor  $4/3$  ist der universelle dreidimensionale Raumgeometriefaktor, der in der Kugelvolumenformel erscheint:

$$V_{\text{Kugel}} = \frac{4\pi}{3} r^3 \quad (1.29)$$

**Physikalische Interpretation:** Der geometrische Parameter charakterisiert, wie Zeitfelder an dreidimensionale räumliche Strukturen koppeln. Der Faktor  $10^{-4}$  repräsentiert das Energieskalenverhältnis, das Quanten- und Gravitationsdomänen verbindet.

### 1.4.2 Beziehung zu Skalenverhältnissen

Der geometrische Parameter ist mit dem Skalenverhältnis für spezifische Energiekonfigurationen verbunden:

$$\xi_{\text{geom}} = \frac{4}{3} \times 10^{-4} = \text{spezifischer Fall von } \xi_{\text{ratio}} = \frac{\ell_{\text{P}}}{r_0} \quad (1.30)$$

Diese Beziehung verbindet die abstrakte geometrische Konstante mit messbaren physikalischen Skalen.



## 1.5 Drei fundamentale Feldgeometrien

### 1.5.1 Lokalisierte sphärische Energiefelder

Das T0-Modell erkennt drei verschiedene Feldgeometrien an, die für verschiedene physikalische Situationen relevant sind. Lokalisierte sphärische Felder beschreiben Teilchen und begrenzte Systeme mit sphärischer Symmetrie.

**Parameter für sphärische Geometrie:**

$$\xi = \frac{\ell_P}{r_0} = \frac{1}{2\sqrt{G} \cdot E} \quad (1.31)$$

$$\beta = \frac{r_0}{r} = \frac{2GE}{r} \quad (1.32)$$

**Feldbeziehungen:**

$$T(r) = T_0 \left( \frac{1}{1 - \beta} \right) \quad (1.33)$$

$$E(r) = E_0(1 - \beta) \quad (1.34)$$

**Feldgleichung:**  $\nabla^2 E = 4\pi G \rho E$

**Dimensionale Konsistenzprüfung:**

$$[\xi] = \frac{[E^{-1}]}{[E^{-1}]} = [1] \quad \checkmark \quad (1.35)$$

$$[\beta] = \frac{[E^{-1}]}{[E^{-1}]} = [1] \quad \checkmark \quad (1.36)$$

### 1.5.2 Lokalisierte nicht-sphärische Energiefelder

Für komplexere Systeme ohne sphärische Symmetrie werden tensorielle Verallgemeinerungen notwendig.

**Tensorielle Parameter:**

$$\beta_{ij} = \frac{r_{0,ij}}{r} \quad \text{und} \quad \xi_{ij} = \frac{\ell_P}{r_{0,ij}} \quad (1.37)$$

wobei  $r_{0,ij} = 2G \cdot I_{ij}$  und  $I_{ij}$  der Energiemomententensor ist (Verallgemeinerung des Energieparameters).

**Dimensionsanalyse:**

$$[I_{ij}] = [E] \quad (\text{Energietensor}) \quad (1.38)$$

$$[r_{0,ij}] = [G][E] = [E^{-2}][E] = [E^{-1}] = [L] \quad \checkmark \quad (1.39)$$

$$[\beta_{ij}] = \frac{[L]}{[L]} = [1] \quad \checkmark \quad (1.40)$$

### 1.5.3 Unendliche homogene Energiefelder

Für kosmologische Anwendungen mit unendlicher Ausdehnung wird die Feldgleichung zu:

$$\nabla^2 E = 4\pi G \rho_0 E + \Lambda_T E \quad (1.41)$$

mit einem kosmologischen Term  $\Lambda_T = -4\pi G \rho_0$ .

**Effektive Parameter:**

$$\xi_{\text{eff}} = \frac{\ell_P}{r_{0,\text{eff}}} = \frac{1}{\sqrt{G} \cdot E} = \frac{\xi}{2} \quad (1.42)$$

Dies repräsentiert einen natürlichen Abschirmeffekt in unendlichen Geometrien.

**Dimensionale Verifikation:**

$$[\Lambda_T] = [G][\rho_0] = [E^{-2}][E^4] = [E^2] \quad (1.43)$$

$$[\nabla^2 E] = [E^2][E] = [E^3] \quad (1.44)$$

$$[\Lambda_T E] = [E^2][E] = [E^3] \quad \checkmark \quad (1.45)$$

## 1.6 Skalenhierarchie und Energieprimärität

### 1.6.1 Fundamentale vs. Referenzskalen

Das T0-Modell etabliert eine klare Hierarchie mit der Planck-Skala als Referenz:

**Planck-Referenzskalen:**

$$\ell_P = \sqrt{G} = 1 \quad (\text{Quantengravitationsskala}) \quad (1.46)$$

$$t_P = \sqrt{G} = 1 \quad (\text{Referenzzeit}) \quad (1.47)$$

$$E_P = 1 \quad (\text{Referenzenergie}) \quad (1.48)$$

**T0-charakteristische Skalen:**

$$r_{0,\text{Elektron}} = 2GE_e \quad (\text{Elektronenskala}) \quad (1.49)$$

$$r_{0,\text{Proton}} = 2GE_p \quad (\text{Nuklearskala}) \quad (1.50)$$

$$r_{0,\text{Planck}} = 2G \cdot E_P = 2\ell_P \quad (\text{Planck-Energieskala}) \quad (1.51)$$

**Skalenverhältnisse:**

$$\xi_e = \frac{\ell_P}{r_{0,\text{Elektron}}} = \frac{1}{2GE_e} \quad (1.52)$$

$$\xi_p = \frac{\ell_P}{r_{0,\text{Proton}}} = \frac{1}{2GE_p} \quad (1.53)$$

### 1.6.2 Numerische Beispiele mit Planck-Referenz

**Dimensionale Konsistenzprüfung:** Für das Elektronenbeispiel:

$$[r_{0,e}] = [G][E_e] = [E^{-2}][E] = [E^{-1}] = [L] \quad \checkmark \quad (1.54)$$

$$[\xi_e] = \frac{[\ell_P]}{[r_{0,e}]} = \frac{[L]}{[L]} = [1] \quad \checkmark \quad (1.55)$$

Teilchen	Energie	$r_0$ (in $\ell_P$ Einheiten)	$\xi = \ell_P/r_0$
Elektron	$E_e = 0,511 \text{ MeV}$	$r_{0,e} = 1,02 \times 10^{-3} \ell_P$	$9,8 \times 10^2$
Myon	$E_\mu = 105,658 \text{ MeV}$	$r_{0,\mu} = 2,1 \times 10^{-1} \ell_P$	4,7
Proton	$E_p = 938 \text{ MeV}$	$r_{0,p} = 1,9 \ell_P$	0,53
Planck	$E_P = 1,22 \times 10^{19} \text{ GeV}$	$r_{0,P} = 2 \ell_P$	0,5

Tabelle 1.1: T0-charakteristische Längen in Planck-Einheiten

### 1.6.3 Energiebasierte Dimensionsanalyse

Im energieprimären T0-Rahmen leiten alle physikalischen Größen ihre Dimensionen von der Energie ab:

$$[r_0] = [E^{-1}] \quad (\text{charakteristische Längenskala}) \quad (1.56)$$

$$[\ell_P] = [E^{-1}] \quad (\text{Referenzlängenskala}) \quad (1.57)$$

$$[\xi] = [1] \quad (\text{dimensionsloses Skalenverhältnis}) \quad (1.58)$$

$$[\beta] = [1] \quad (\text{dimensionsloser Feldparameter}) \quad (1.59)$$

Diese Dimensionsstruktur spiegelt die fundamentale Rolle der Energie als primärer Baustein der physikalischen Realität wider, wobei die Planck-Skala als natürlicher Referenzpunkt dient.

## 1.7 Physikalische Implikationen

### 1.7.1 Zeit-Energie als komplementäre Aspekte

Die Zeit-Energie-Dualität  $T(x, t) \cdot E(x, t) = 1$  offenbart, dass das, was wir traditionell SZeit und Eenergie nennen, komplementäre Aspekte einer einzigen zugrunde liegenden Feldkonfiguration sind. Dies hat tiefgreifende Implikationen:

- **Zeitliche Variationen** werden äquivalent zu **Energieumverteilungen**
- **Energiekonzentrationen** entsprechen **Zeitfeldvertiefungen**
- **Energieerhaltung** gewährleistet **Raumzeit-Konsistenz**

**Mathematischer Ausdruck:**

$$\frac{\partial T}{\partial t} = -\frac{1}{E^2} \frac{\partial E}{\partial t} \quad (1.60)$$

**Dimensionale Verifikation:**

$$\left[ \frac{\partial T}{\partial t} \right] = \frac{[T]}{[T]} = \frac{[E^{-1}]}{[E^{-1}]} = [1] \quad (1.61)$$

$$\left[ \frac{1}{E^2} \frac{\partial E}{\partial t} \right] = \frac{1}{[E^2]} \cdot \frac{[E]}{[T]} = \frac{[E]}{[E^2][E^{-1}]} = [1] \quad \checkmark \quad (1.62)$$

## 1.7.2 Brücke zur Allgemeinen Relativität

Das T0-Modell bietet eine natürliche Brücke zur allgemeinen Relativitätstheorie durch die konforme Kopplung:

$$g_{\mu\nu} \rightarrow \Omega^2(T)g_{\mu\nu} \quad \text{mit} \quad \Omega(T) = \frac{T_0}{T} \quad (1.63)$$

Diese konforme Transformation verbindet das intrinsische Zeitfeld mit der Raumzeitgeometrie. In Regionen, in denen das Zeitfeld stark variiert (nahe massiver Objekte), wird die Raumzeitgeometrie entsprechend modifiziert.

**Dimensionsanalyse:**

$$[\Omega(T)] = \frac{[T_0]}{[T]} = \frac{[E^{-1}]}{[E^{-1}]} = [1] \quad \checkmark \quad (1.64)$$

$$[\Omega^2(T)g_{\mu\nu}] = [1]^2 \cdot [1] = [1] \quad \checkmark \quad (1.65)$$

## 1.7.3 Modifizierte Quantenmechanik

Die Präsenz des Zeitfeldes modifiziert die Schrödinger-Gleichung:

$$iT \frac{\partial \Psi}{\partial t} + i\Psi \left[ \frac{\partial T}{\partial t} + \vec{v} \cdot \nabla T \right] = \hat{H} \Psi \quad (1.66)$$

Diese Gleichung zeigt, wie die Quantenmechanik durch Zeitfelddynamik modifiziert wird. Die zusätzlichen Terme auf der linken Seite beschreiben die Wechselwirkung der Wellenfunktion mit dem variierenden Zeitfeld.

**Dimensionsanalyse:**

$$\left[ iT \frac{\partial \Psi}{\partial t} \right] = [T] \cdot \frac{[\Psi]}{[T]} = [\Psi] \quad (1.67)$$

$$\left[ i\Psi \frac{\partial T}{\partial t} \right] = [\Psi] \cdot \frac{[T]}{[T]} = [\Psi] \quad (1.68)$$

$$[i\Psi \vec{v} \cdot \nabla T] = [\Psi] \cdot [1] \cdot [E] \cdot [E^{-1}] = [\Psi] \quad (1.69)$$

$$[\hat{H} \Psi] = [E][\Psi] = [\Psi] \quad \checkmark \quad (1.70)$$

## 1.8 Experimentelle Konsequenzen

### 1.8.1 Energieskalen-abhängige Effekte

Die energiebasierte Formulierung mit Planck-Referenz sagt spezifische experimentelle Signaturen bei charakteristischen Energieskalen voraus:

**Bei Elektronenenergieskala** ( $r \sim r_{0,e} = 1,02 \times 10^{-3} \ell_P$ ):

- Modifizierte elektromagnetische Kopplung
- Korrekturen des anomalen magnetischen Moments
- Präzisionsspektroskopie-Abweichungen

**Bei Nuklearenergieskala** ( $r \sim r_{0,p} = 1,9\ell_P$ ):

- Modifikationen der Kernkraft
- Hadronenspektrum-Korrekturen
- Quark-Confinement-Skaleneffekte

## 1.8.2 Universelle Energiebeziehungen

Das T0-Modell sagt universelle Beziehungen zwischen verschiedenen Energieskalen durch die fundamentale Verbindung  $r_0 = 2GE$  voraus:

$$\frac{E_2}{E_1} = \frac{r_{0,1}}{r_{0,2}} = \frac{\xi_2}{\xi_1} \quad (1.71)$$

Diese Beziehungen können experimentell über verschiedene Energiedomänen hinweg getestet werden.

**Dimensionale Verifikation:**

$$\left[ \frac{E_2}{E_1} \right] = \left[ \frac{E}{E} \right] = [1] \quad (1.72)$$

$$\left[ \frac{r_{0,1}}{r_{0,2}} \right] = \left[ \frac{L}{L} \right] = [1] \quad (1.73)$$

$$\left[ \frac{\xi_2}{\xi_1} \right] = \left[ \frac{1}{1} \right] = [1] \quad \checkmark \quad (1.74)$$

## 1.9 Erkenntnistheoretische Betrachtungen

### 1.9.1 Energie als primäre Realität

Das T0-Modell legt nahe, dass Energie, nicht Raum oder Zeit, als fundamentalster Aspekt der physikalischen Realität dient. Dies stellt eine konzeptionelle Evolution von der traditionellen Raumzeit-Primärität dar:

- **Räumliche und zeitliche Strukturen** entstehen aus Energiekonfigurationen
- **Materie und Strahlung** sind verschiedene Anregungsmuster desselben Energiefeldes
- **Fundamentale Kräfte** entstehen aus Energiefeld-Geometrien

Mit der Planck-Skala als Referenz wird diese Hierarchie zu:

$$\text{Planck-Skala} \rightarrow \text{T0-Energieskalen} \rightarrow \text{Beobachtbare Phänomene} \quad (1.75)$$

### 1.9.2 Komplementarität mit etablierter Physik

Das T0-Modell behauptet nicht, etablierte Physik zu widerlegen, sondern bietet eine komplementäre Beschreibung derselben Phänomene innerhalb eines Planck-referenzierten Rahmens:

- **Mathematische Äquivalenz:** Verschiedene Formulierungen können zu identischen Vorhersagen führen
- **Domänenspezifität:** Verschiedene Ansätze können für verschiedene physikalische Regime geeigneter sein
- **Konzeptionelle Bereicherung:** Alternative Perspektiven verbessern das Verständnis

### 1.9.3 Einschränkungen und Grenzen

Es ist wichtig, die fundamentalen Einschränkungen jedes theoretischen Rahmens anzuerkennen:

- **Unterbestimmtheit:** Mehrere Theorien können dieselben Beobachtungen erklären
- **Theorieabhängigkeit:** Alle Beobachtungen werden durch theoretische Rahmen interpretiert
- **Empirische Grenzen:** Theorien können nur innerhalb zugänglicher Energiebereiche getestet werden

Das T0-Modell liefert, wie alle wissenschaftlichen Theorien, eine mögliche Beschreibung natürlicher Phänomene, nicht notwendigerweise die einzigartige "wahre" Beschreibung.

## 1.10 Verbindung zu fundamentalen Konstanten

### 1.10.1 Natürliche Einheiten und dimensionslose Verhältnisse

Im T0-Rahmen mit Planck-Referenz werden traditionelle fundamentale Konstanten zu dimensionslosen Verhältnissen zwischen charakteristischen Energieskalen:

$$\alpha = \frac{e^2}{4\pi} = 1 \quad (\text{in natürlichen Einheiten}) \quad (1.76)$$

$$\xi = \frac{\ell_P}{r_0} = \frac{1}{2\sqrt{G} \cdot E} \quad (\text{Skalenverhältnis}) \quad (1.77)$$

$$\beta = \frac{r_0}{r} = \frac{2GE}{r} \quad (\text{Feldstärke}) \quad (1.78)$$

**Dimensionale Konsistenz:**

$$[\alpha] = \frac{[E^0]^2}{[1]} = [1] \quad \checkmark \quad (1.79)$$

$$[\xi] = \frac{[L]}{[L]} = [1] \quad \checkmark \quad (1.80)$$

$$[\beta] = \frac{[L]}{[L]} = [1] \quad \checkmark \quad (1.81)$$

**1.10.2 Parameterfreie Vorhersagen**

Der energiebasierte Ansatz mit Planck-Referenz ermöglicht parameterfreie Vorhersagen durch fundamentale Energiebeziehungen. Das bemerkenswerteste Beispiel ist das anomale magnetische Moment des Myons:

$$a_\mu^{\text{T0}} = \frac{\xi_{\text{geom}}}{2\pi} \left( \frac{E_\mu}{E_e} \right)^2 \quad (1.82)$$

wobei  $\xi_{\text{geom}} = \frac{4}{3} \times 10^{-4}$  die exakte geometrische Konstante ist.

**Dimensionsanalyse:**

$$[a_\mu^{\text{T0}}] = \frac{[1]}{[1]} \cdot \left( \frac{[E]}{[E]} \right)^2 = [1] \quad \checkmark \quad (1.83)$$

Dies demonstriert die Vorhersagekraft des energieprimären Ansatzes mit Planck-Referenz und legt nahe, dass viele scheinbare freie Parameter"des Standardmodells" geometrische Konsequenzen der fundamentalen Energiefeld-Struktur sein könnten.

**1.11 Schlussfolgerung**

Die Zeit-Energie-Dualität stellt eine fundamentale Neukonzeption der physikalischen Realität dar, bei der Energie als primäre Größe dient, aus der Raum, Zeit und Materie entstehen. Die geometrische Ableitung des  $\beta$ -Parameters durch die charakteristische Energieskala  $r_0 = 2GE$  bietet eine solide mathematische Grundlage für diesen Ansatz, mit der Planck-Skala als natürlichem Referenzpunkt.

Die drei Feldgeometrien - lokalisiert sphärisch, lokalisiert nicht-sphärisch und unendlich homogen - bieten einen vollständigen Rahmen zur Beschreibung physikalischer Systeme über alle Skalen hinweg. Die Skalenhierarchie, charakterisiert durch den dimensionslosen Parameter  $\xi_{\text{ratio}} = \ell_P/r_0$ , ermöglicht praktische Berechnungen bei gleichzeitiger Aufrechterhaltung theoretischer Strenge und klarer Verbindung zur etablierten Quantengravitation.

Die energieprimäre Perspektive mit Planck-Referenz bietet sowohl mathematische Eleganz als auch experimentelle Testbarkeit, was sie zu einer wertvollen Ergänzung des konzeptionellen Werkzeugkastens der theoretischen Physik macht. Die Verwendung der etablierten Planck-Skala als Referenz gewährleistet Kompatibilität mit bestehenden theoretischen Rahmen und öffnet gleichzeitig neue Wege zum Verständnis der fundamentalen Struktur der Realität.

Der geometrische Parameter  $\xi_{\text{geom}} = \frac{4}{3} \times 10^{-4}$  verbindet alle Phänomene mit der dreidimensionalen Raumstruktur und legt nahe, dass die Komplexität der modernen

Physik aus einfachen geometrischen Prinzipien entstehen könnte, die auf Sub-Planck-Skalen operieren. Dies stellt eine Rückkehr zu den geometrischen Grundlagen der Physik dar, während gleichzeitig volle Kompatibilität mit experimentellen Beobachtungen und etablierten theoretischen Rahmen gewahrt bleibt.



# Kapitel 2

## Die revolutionäre Vereinfachung der Lagrange-Mechanik

### 2.1 Von der Komplexität des Standardmodells zur Eleganz des T0-Modells

Das Standardmodell der Teilchenphysik ist zweifellos einer der größten Triumphe der modernen Physik. Es beschreibt drei der vier fundamentalen Kräfte und alle bekannten Elementarteilchen mit bemerkenswerter Präzision. Dennoch leidet es unter einer überwältigenden Komplexität, die Fragen über die fundamentale Natur der Realität aufwirft.

#### 2.1.1 Das Problem der Vielfeldkomplexität

Das Standardmodell umfasst über 20 verschiedene Felder: sechs Quarks (up, down, charm, strange, top, bottom), sechs Leptonen (Elektron, Myon, Tau und ihre assoziierten Neutrinos), das Higgs-Boson, das Photon, die W- und Z-Bosonen und acht Gluonen. Jedes dieser Felder hat seine eigene Lagrange-Dichte, seine eigenen Kopplungskonstanten und seine eigenen Symmetrieeigenschaften.

Die Lagrange-Dichte des Standardmodells ist ein komplexes Konstrukt mit Dutzenden von Termen. Allein für die elektroschwache Wechselwirkung haben wir:

$$\mathcal{L}_{EW} = -\frac{1}{4}W_{\mu\nu}^i W^{i\mu\nu} - \frac{1}{4}B_{\mu\nu}B^{\mu\nu} + |D_\mu\Phi|^2 - V(\Phi) \quad (2.1)$$

wobei  $W_{\mu\nu}^i$  die drei schwachen Eichbosonen,  $B_{\mu\nu}$  das Hyperladungs-Eichboson,  $\Phi$  das Higgs-Feld und  $V(\Phi)$  das Higgs-Potential repräsentiert.

**Dimensionsanalyse:** In natürlichen Einheiten, wo  $\hbar = c = G = k_B = 1$ :

$$[W_{\mu\nu}^i W^{i\mu\nu}] = [E^2][E^2] = [E^4] \quad (2.2)$$

$$[B_{\mu\nu} B^{\mu\nu}] = [E^2][E^2] = [E^4] \quad (2.3)$$

$$[|D_\mu\Phi|^2] = [E][E] = [E^2] \quad (2.4)$$

$$[V(\Phi)] = [E^4] \quad (2.5)$$

$$[\mathcal{L}_{EW}] = [E^4] \quad \checkmark \quad (2.6)$$

Die starke Wechselwirkung fügt weitere Terme hinzu:

$$\mathcal{L}_{QCD} = -\frac{1}{4}G_{\mu\nu}^a G^{a\mu\nu} + \sum_i \bar{\psi}_i (i\gamma^\mu D_\mu - m_i) \psi_i \quad (2.7)$$

mit acht Gluonenfeldern  $G_{\mu\nu}^a$  und sechs Quarkfeldern  $\psi_i$ .

**Dimensionsanalyse:**

$$[G_{\mu\nu}^a G^{a\mu\nu}] = [E^2][E^2] = [E^4] \quad (2.8)$$

$$[\bar{\psi}_i \gamma^\mu D_\mu \psi_i] = [E^{3/2}][1][E][E^{3/2}] = [E^4] \quad (2.9)$$

$$[m_i \bar{\psi}_i \psi_i] = [E][E^{3/2}][E^{3/2}] = [E^4] \quad (2.10)$$

$$[\mathcal{L}_{QCD}] = [E^4] \quad \checkmark \quad (2.11)$$

## 2.2 Die universelle T0-Lagrange-Dichte

Das T0-Modell schlägt vor, diese gesamte Komplexität durch eine einzige, elegante Lagrange-Dichte zu beschreiben:

$$\boxed{\mathcal{L} = \varepsilon \cdot (\partial\delta E)^2} \quad (2.12)$$

Diese scheinbar einfache Formel ist konzeptionell außerordentlich leistungsfähig. Sie beschreibt nicht nur ein einzelnes Teilchen oder eine spezifische Wechselwirkung, sondern bietet einen vereinheitlichten mathematischen Rahmen für alle physikalischen Phänomene. Das  $\delta E(x, t)$ -Feld wird als universelles Energiefeld verstanden, aus dem alle Teilchen als lokalisierte Anregungsmuster entstehen.

### 2.2.1 Der Energiefeld-Kopplungsparameter

Der Parameter  $\varepsilon$  ist nicht willkürlich, sondern mit dem universellen Skalenverhältnis verbunden:

$$\varepsilon = \xi \cdot E^2 \quad (2.13)$$

wobei  $\xi = \frac{\ell_P}{r_0}$  das Skalenverhältnis zwischen Planck-Länge und T0-charakteristischer Länge ist.

**Dimensionsanalyse:**

$$[\xi] = \frac{[L]}{[L]} = [1] \quad (\text{dimensionslos}) \quad (2.14)$$

$$[E^2] = [E^2] \quad (2.15)$$

$$[\varepsilon] = [1] \cdot [E^2] = [E^2] \quad (2.16)$$

$$[(\partial\delta E)^2] = ([E] \cdot [E])^2 = [E^2] \quad (2.17)$$

$$[\mathcal{L}] = [E^2] \cdot [E^2] = [E^4] \quad \checkmark \quad (2.18)$$

Dies bedeutet, dass die Stärke der Feldwechselwirkung direkt mit der Energieskala des Systems zusammenhängt, was eine natürliche Erklärung für die Hierarchie der Teilchenmassen liefert.

## 2.3 Die T0-Zeitskala und korrekte Dimensionsanalyse

### 2.3.1 Die fundamentale T0-Zeitskala

Im Planck-referenzierten T0-System wird die charakteristische Zeitskala von der T0-charakteristischen Länge abgeleitet:

$$\boxed{t_0 = \frac{r_0}{c} = 2GE} \quad (2.19)$$

In natürlichen Einheiten ( $c = 1$ ) vereinfacht sich dies zu:

$$t_0 = r_0 = 2GE \quad (2.20)$$

**Dimensionale Verifikation:**

$$[t_0] = \frac{[r_0]}{[c]} = \frac{[E^{-1}]}{[1]} = [E^{-1}] = [T] \quad \checkmark \quad (2.21)$$

$$[2GE] = [G][E] = [E^{-2}][E] = [E^{-1}] = [T] \quad \checkmark \quad (2.22)$$

Diese Definition ist konzeptionell konsistent mit der energiebasierten Skalierung des T0-Modells, bei der alle fundamentalen Größen aus der charakteristischen Energie  $E$  und dem Gravitationsparameter  $G$  abgeleitet werden.

### 2.3.2 Beziehung zur Planck-Zeit

Die Planck-Zeit behält ihre Bedeutung als Referenzskala in der Hierarchie:

$$t_P = \sqrt{\frac{\hbar G}{c^5}} = \sqrt{G} = 1 \quad (\text{in natürlichen Einheiten}) \quad (2.23)$$

**Dimensionale Konsistenz:**

$$[t_P] = [\sqrt{G}] = [E^{-2}]^{1/2} = [E^{-1}] = [T] \quad \checkmark \quad (2.24)$$

Das Skalenverhältnis für Zeitskalen wird:

$$\xi_t = \frac{t_P}{t_0} = \frac{\sqrt{G}}{2GE} = \frac{1}{2\sqrt{G} \cdot E} \quad (2.25)$$

**Dimensionale Verifikation:**

$$[\xi_t] = \frac{[T]}{[T]} = [1] \quad \checkmark \quad (2.26)$$

Für den spezifischen geometrischen Fall nimmt dies den Wert an:

$$\xi_t = \frac{4}{3} \times 10^{-4} = 1,3333... \times 10^{-4} \quad (2.27)$$

Diese exakte Beziehung zur fundamentalen dreidimensionalen geometrischen Konstante  $4/3$  spiegelt die tiefe Verbindung zwischen der T0-Zeitskala und der räumlichen Geometrie wider.

## 2.4 Das intrinsische Zeitfeld mit korrigierter Normalisierung

### 2.4.1 Definition des Zeitfeldes

Das intrinsische Zeitfeld wird definiert als:

$$T(x, t) = \frac{1}{\max(E(x, t), \omega)} \quad (2.28)$$

wobei  $\omega$  die Photonenenergie gemäß der Notationskonvention repräsentiert.

**Dimensionsanalyse:**

$$[\max(E(x, t), \omega)] = [E] \quad (2.29)$$

$$[T(x, t)] = \frac{1}{[E]} = [E^{-1}] = [T] \quad \checkmark \quad (2.30)$$

In Anwesenheit des charakteristischen T0-Systems wird die Zeitfeldnormalisierung:

$$\boxed{T_{\text{field}} = t_0 \cdot g(E_{\text{norm}}, \omega_{\text{norm}})} \quad (2.31)$$

wobei  $g(E_{\text{norm}}, \omega_{\text{norm}})$  eine dimensionslose Funktion der normalisierten Energien ist:

$$E_{\text{norm}} = \frac{E(x, t)}{E_{\text{char}}} \quad (2.32)$$

$$\omega_{\text{norm}} = \frac{\omega}{E_{\text{char}}} \quad (2.33)$$

**Dimensionale Verifikation:**

$$[E_{\text{norm}}] = \frac{[E]}{[E]} = [1] \quad (2.34)$$

$$[\omega_{\text{norm}}] = \frac{[E]}{[E]} = [1] \quad (2.35)$$

$$[g(E_{\text{norm}}, \omega_{\text{norm}})] = [1] \quad (2.36)$$

$$[T_{\text{field}}] = [T] \cdot [1] = [T] \quad \checkmark \quad (2.37)$$

### 2.4.2 Zeit-Energie-Dualität

Die fundamentale Zeit-Energie-Dualität im T0-System lautet:

$$\boxed{T_{\text{field}} \cdot E_{\text{field}} = 1} \quad (2.38)$$

**Dimensionale Konsistenz:**

$$[T_{\text{field}} \cdot E_{\text{field}}] = [E^{-1}] \cdot [E] = [1] \quad \checkmark \quad (2.39)$$

Diese direkte Dualität ist eleganter als die Kopplung über externe Skalen und spiegelt die fundamentale Natur der Zeit-Energie-Beziehung wider.

## 2.5 Die Feldgleichung

Die Feldgleichung, die aus der universellen Lagrange-Dichte durch Variation hervorgeht, ist die einfache Wellengleichung:

$$\boxed{\partial^2 \delta E = 0} \quad (2.40)$$

Dies kann explizit als d'Alembert-Gleichung geschrieben werden:

$$\square \delta E = \left( \nabla^2 - \frac{\partial^2}{\partial t^2} \right) \delta E = 0 \quad (2.41)$$

**Ableitung aus der Lagrange-Funktion:** Ausgehend von der universellen Lagrange-Funktion:

$$\mathcal{L} = \varepsilon \cdot (\partial \delta E)^2 = \varepsilon \cdot \left( \frac{\partial \delta E}{\partial x^\mu} \right)^2 \quad (2.42)$$

Die Euler-Lagrange-Gleichung ist:

$$\frac{\partial}{\partial x^\nu} \left( \frac{\partial \mathcal{L}}{\partial (\partial \delta E / \partial x^\nu)} \right) - \frac{\partial \mathcal{L}}{\partial \delta E} = 0 \quad (2.43)$$

Berechnung der Ableitungen:

$$\frac{\partial \mathcal{L}}{\partial (\partial \delta E / \partial x^\nu)} = 2\varepsilon \frac{\partial \delta E}{\partial x^\nu} \quad (2.44)$$

$$\frac{\partial \mathcal{L}}{\partial \delta E} = 0 \quad (2.45)$$

Dies ergibt:

$$\frac{\partial}{\partial x^\nu} \left( 2\varepsilon \frac{\partial \delta E}{\partial x^\nu} \right) = 0 \quad (2.46)$$

Unter der Annahme, dass  $\varepsilon$  konstant ist, erhalten wir:

$$2\varepsilon \frac{\partial^2 \delta E}{\partial x^\nu \partial x^\nu} = 0 \quad (2.47)$$

Da  $\varepsilon \neq 0$ , reduziert sich dies zu:

$$\partial^2 \delta E = 0 \quad (2.48)$$

### 2.5.1 Dimensionale Konsistenz

**Dimensionsanalyse der Feldgleichung:** In natürlichen Einheiten hat das Energiefeld die Dimension  $[\delta E] = [E]$ , und Koordinaten haben die Dimension  $[x^\mu] = [E^{-1}]$ . Die Wellengleichung ist somit dimensional konsistent:

$$[\partial^2 \delta E] = \left[ \frac{\partial^2 \delta E}{\partial x^\mu \partial x_\mu} \right] \quad (2.49)$$

$$= \frac{[\delta E]}{[x^\mu]^2} \quad (2.50)$$

$$= \frac{[E]}{[E^{-1}]^2} \quad (2.51)$$

$$= [E] \cdot [E^2] \quad (2.52)$$

$$= [E^3] \quad (2.53)$$

Diese Dimensionsanalyse bestätigt die Konsistenz der Feldgleichung in natürlichen Einheiten.

Für die Gleichung  $\partial^2 \delta E = 0$  benötigen wir:

$$[\partial^2 \delta E] = [E^3] = [0] \quad (2.54)$$

Dies ist konsistent, da Null keine Dimension hat.

Die charakteristische T0-Zeit  $\tau_0 = 2GE$  hat die korrekte Dimension:

$$[\tau_0] = [G][E] = [E^{-2}][E] = [E^{-1}] = [T] \quad \checkmark \quad (2.55)$$

## 2.6 Die universelle Wellengleichung

### 2.6.1 Ableitung aus der Zeit-Energie-Dualität

Aus der fundamentalen korrigierten T0-Dualität  $T_{\text{field}} \cdot E_{\text{field}} = 1$  folgt für lokale Fluktuationen:

$$T_{\text{field}}(x, t) = \frac{1}{E_{\text{field}}(x, t)} \quad (2.56)$$

$$\partial_\mu T_{\text{field}} = -\frac{1}{E_{\text{field}}^2} \partial_\mu E_{\text{field}} \quad (2.57)$$

**Dimensionale Verifikation:**

$$\left[ \frac{1}{E_{\text{field}}} \right] = \frac{1}{[E]} = [E^{-1}] = [T] \quad \checkmark \quad (2.58)$$

$$[\partial_\mu T_{\text{field}}] = \frac{[T]}{[x^\mu]} = \frac{[E^{-1}]}{[E^{-1}]} = [1] \quad (2.59)$$

$$\left[ \frac{1}{E_{\text{field}}^2} \partial_\mu E_{\text{field}} \right] = \frac{1}{[E^2]} \cdot \frac{[E]}{[E^{-1}]} \quad (2.60)$$

$$= \frac{1}{[E^2]} \cdot [E^2] \quad (2.61)$$

$$= [1] \quad \checkmark \quad (2.62)$$

Einsetzen in die modifizierte d'Alembert-Gleichung und Verwendung der T0-Zeitskalen-Normalisierung:

$$\square E_{\text{field}} = \left( \nabla^2 - \frac{\partial^2}{\partial t^2} \right) E_{\text{field}} = 0 \quad (2.63)$$

Diese Gleichung beschreibt alle Teilchen einheitlich und entsteht natürlich aus der T0-Zeit-Energie-Dualität ohne externe Skalenabhängigkeiten.

## 2.7 Behandlung von Antiteilchen

Einer der elegantesten Aspekte des T0-Modells ist seine Behandlung von Antiteilchen. Im Standardmodell werden Antiteilchen als separate Felder behandelt, was effektiv die Gesamtzahl der fundamentalen Entitäten verdoppelt. Das T0-Modell zeigt, dass diese Verdoppelung möglicherweise künstlich ist.

### 2.7.1 Negative Energiefeld-Anregungen

In der T0-Beschreibung können Antiteilchen als negative Anregungen desselben universellen Feldes verstanden werden:

$$\text{Teilchen: } \delta E(x, t) > 0 \quad (2.64)$$

$$\text{Antiteilchen: } \delta E(x, t) < 0 \quad (2.65)$$

**Physikalische Interpretation:** Genau wie eine Wasserwelle sowohl positive als auch negative Auslenkungen haben kann, kann das  $\delta E$ -Feld sowohl positive (Materie) als auch negative (Antimaterie) Anregungen unterstützen.

### 2.7.2 Lagrange-Universalität

Die Quadrierungsoperation in der Lagrange-Funktion gewährleistet identische Physik für Teilchen und Antiteilchen:

$$\mathcal{L}[+\delta E] = \varepsilon \cdot (\partial \delta E)^2 \quad (2.66)$$

$$\mathcal{L}[-\delta E] = \varepsilon \cdot (\partial(-\delta E))^2 = \varepsilon \cdot (\partial \delta E)^2 \quad (2.67)$$

**Dimensionale Konsistenz:**

$$[(\partial \delta E)^2] = \left( \frac{[E]}{[E^{-1}]} \right)^2 = ([E^2])^2 = [E^4] \quad (2.68)$$

$$[(\partial(-\delta E))^2] = [(\partial \delta E)^2] = [E^4] \quad \checkmark \quad (2.69)$$

Dies erklärt auf natürliche Weise, warum Teilchen und Antiteilchen identische Massen und entgegengesetzte Ladungen haben.

## 2.8 Kopplungskonstanten und Symmetrien

### 2.8.1 Die universelle Kopplungskonstante

Im T0-Modell gibt es fundamental nur eine Kopplungskonstante - den Skalenverhältnis-Parameter:

$$\xi = \frac{\ell_P}{r_0} = \frac{1}{2\sqrt{G} \cdot E} \quad (2.70)$$

Alle anderen "Kopplungskonstanten" des Standardmodells entstehen als Manifestationen dieses einen Parameters in verschiedenen Energieregimen.

**Beispiele abgeleiteter Kopplungskonstanten:**

$$\alpha = 1 \quad (\text{Feinstruktur, natürliche Einheiten}) \quad (2.71)$$

$$\alpha_s = \xi^{-1/3} \quad (\text{starke Kopplung}) \quad (2.72)$$

$$\alpha_W = \xi^{1/2} \quad (\text{schwache Kopplung}) \quad (2.73)$$

$$\alpha_G = \xi^2 \quad (\text{gravitative Kopplung}) \quad (2.74)$$

**Dimensionale Verifikation:**

$$[\alpha] = [1] \quad (2.75)$$

$$[\alpha_s] = [1]^{-1/3} = [1] \quad (2.76)$$

$$[\alpha_W] = [1]^{1/2} = [1] \quad (2.77)$$

$$[\alpha_G] = [1]^2 = [1] \quad \checkmark \quad (2.78)$$

**2.8.2 Emergente Symmetrien**

Die Symmetrien des Standardmodells -  $SU(3) \times SU(2) \times U(1)$  - entstehen natürlich aus der Struktur des universellen Feldes. Sie werden nicht fundamental eingegeben, sondern entstehen aus den Anregungsmustern des  $\delta E$ -Feldes auf verschiedenen Energieskalen.

**Symmetriebrechungsmechanismus:** Das universelle Feld ermöglicht spontane Symmetriebrechung durch den Vakuumerwartungswert:

$$\langle \delta E \rangle = E_0 + \text{Fluktuationen} \quad (2.79)$$

Der nicht-verschwindende Vakuumerwartungswert  $E_0$  bricht die Symmetrien bei niedrigen Energien und führt zum beobachteten Teilchenspektrum.

**2.9 Verbindung zur Quantenmechanik****2.9.1 Die modifizierte Schrödinger-Gleichung**

In Anwesenheit des variierenden Zeitfeldes wird die Schrödinger-Gleichung modifiziert:

$$\boxed{i\hbar T_{\text{field}} \frac{\partial \Psi}{\partial t} + i\hbar \Psi \left[ \frac{\partial T_{\text{field}}}{\partial t} + \vec{v} \cdot \nabla T_{\text{field}} \right] = \hat{H} \Psi} \quad (2.80)$$

**Dimensionsanalyse:**

$$\left[ i\hbar T_{\text{field}} \frac{\partial \Psi}{\partial t} \right] = [\hbar] \cdot [T] \cdot \frac{[\Psi]}{[T]} = [\hbar] \cdot [\Psi] = [E] \cdot [\Psi] \quad (2.81)$$

$$\left[ i\hbar \Psi \frac{\partial T_{\text{field}}}{\partial t} \right] = [\hbar] \cdot [\Psi] \cdot \frac{[T]}{[T]} = [E] \cdot [\Psi] \quad (2.82)$$

$$[i\hbar \Psi \vec{v} \cdot \nabla T_{\text{field}}] = [\hbar] \cdot [\Psi] \cdot [1] \cdot \frac{[T]}{[L]} = [E] \cdot [\Psi] \cdot \frac{[E^{-1}]}{[E^{-1}]} = [E] \cdot [\Psi] \quad (2.83)$$

$$[\hat{H} \Psi] = [E] \cdot [\Psi] \quad \checkmark \quad (2.84)$$

Die zusätzlichen Terme beschreiben die Wechselwirkung der Wellenfunktion mit dem variierenden Zeitfeld und entstehen natürlich aus der T0-Geometrie.



## 2.9.2 Wellenfunktion als Energiefeld-Anregung

Die Wellenfunktion in der Quantenmechanik wird mit Energiefeld-Anregungen identifiziert:

$$\Psi(x, t) = \sqrt{\frac{\delta E(x, t)}{E_0 \cdot V_0}} \cdot e^{i\phi(x, t)} \quad (2.85)$$

wobei  $V_0$  ein charakteristisches Volumen mit  $[V_0] = [L^3] = [E^{-3}]$  ist.

**Dimensionale Verifikation:**

$$\left[ \sqrt{\frac{\delta E(x, t)}{E_0 \cdot V_0}} \right] = \sqrt{\frac{[E]}{[E] \cdot [E^{-3}]} } = \sqrt{[E^3]} = [E^{3/2}] \quad (2.86)$$

$$[e^{i\phi(x, t)}] = [1] \quad (\text{Phasenfaktor}) \quad (2.87)$$

$$[\Psi(x, t)] = [E^{3/2}] \cdot [1] = [E^{3/2}] = [L^{-3/2}] \quad \checkmark \quad (2.88)$$

Diese Identifikation ist nicht nur formal, sondern hat konkrete physikalische Konsequenzen. Sie erklärt, warum die Schrödinger-Gleichung die Form hat, die sie hat, und warum sie so erfolgreich bei der Beschreibung atomarer Phänomene ist.

## 2.9.3 Zeitfeld-Normalisierung in der Quantenmechanik

Das Zeitfeld in der Quantenmechanik verwendet die T0-Zeitskala:

$$T_{\text{field}}(x, t) = t_0 \cdot f(\delta E(x, t)) \quad (2.89)$$

wobei  $f$  eine dimensionslose Funktion der Energiefeld-Anregung ist.

**Dimensionale Verifikation:**

$$[f(\delta E(x, t))] = [1] \quad (\text{dimensionslose Funktion}) \quad (2.90)$$

$$[T_{\text{field}}(x, t)] = [T] \cdot [1] = [T] \quad \checkmark \quad (2.91)$$

## 2.10 Renormierung und Quantenkorrekturen

### 2.10.1 Natürliche Abschneideskala

Das T0-Modell bietet eine natürliche ultraviolette Abschneideskala bei der charakteristischen Energieskala  $E$ . Dies eliminiert viele der Unendlichkeiten, die die Quantenfeldtheorie im Standardmodell plagten. Die Renormierungsprozedur wird viel einfacher, wenn alle Energieskalen auf die fundamentale T0-Skala bezogen werden.

Die natürliche Abschneideskala wird durch die T0-charakteristische Länge bereitgestellt:

$$\Lambda_{\text{cutoff}} = \frac{1}{r_0} = \frac{1}{2GE} \quad (2.92)$$

**Dimensionsanalyse:**

$$[\Lambda_{\text{cutoff}}] = \frac{1}{[L]} = \frac{1}{[E^{-1}]} = [E] \quad (2.93)$$

Diese Abschneideskala skaliert natürlich mit der Energie des Systems und bietet ein selbstkonsistentes Regularisierungsschema.

## 2.10.2 Schleifenkorrekturen

Quantenkorrekturen höherer Ordnung im T0-Modell nehmen die Form an:

$$\mathcal{L}_{\text{loop}} = \xi^2 \cdot f(\partial^2 \delta E, \partial^4 \delta E, \dots) \quad (2.94)$$

wobei  $f$  eine Funktion höherer Ableitungen des universellen Energiefeldes ist.

**Dimensionsanalyse:**

$$[\xi^2] = [1]^2 = [1] \quad (2.95)$$

$$[\partial^2 \delta E] = \frac{[E]}{[E^{-1}]^2} = [E^3] \quad (2.96)$$

$$[\partial^4 \delta E] = \frac{[E]}{[E^{-1}]^4} = [E^5] \quad (2.97)$$

$$[f(\partial^2 \delta E, \partial^4 \delta E, \dots)] = [E^4] \quad (\text{um mit Lagrange-Funktion übereinzustimmen}) \quad (2.98)$$

$$[\mathcal{L}_{\text{loop}}] = [1] \cdot [E^4] = [E^4] \quad \checkmark \quad (2.99)$$

Der  $\xi^2$ -Unterdrückungsfaktor stellt sicher, dass diese Korrekturen für  $\xi \ll 1$  perturbativ klein bleiben.

## 2.11 Experimentelle Vorhersagen

### 2.11.1 Modifizierte Dispersionsrelationen

Das T0-Modell sagt modifizierte Dispersionsrelationen für Teilchen voraus, die durch das Zeitfeld propagieren:

$$E^2 = p^2 + E_0^2 + \xi \cdot g(T_{\text{field}}(x, t)) \quad (2.100)$$

wobei  $g(T_{\text{field}}(x, t))$  den lokalen Zeitfeldbeitrag repräsentiert und  $E_0$  die Ruheenergie des Teilchens ist.

**Dimensionsanalyse:**

$$[E^2] = [E^2] \quad (2.101)$$

$$[p^2] = [E^2] \quad (2.102)$$

$$[E_0^2] = [E^2] \quad (2.103)$$

$$[\xi \cdot g(T_{\text{field}})] = [1] \cdot [E^2] = [E^2] \quad \checkmark \quad (2.104)$$

### 2.11.2 Zeitfeld-Detektion

Das variierende Zeitfeld sollte durch Präzisionsmessungen von atomaren Übergangsfrequenzen detektierbar sein:

$$\Delta\omega = \omega_0 \cdot \frac{\Delta T_{\text{field}}}{T_{0,\text{field}}} \quad (2.105)$$

wobei  $\omega_0$  die ungestörte Übergangsfrequenz und  $\Delta T_{\text{field}}$  die lokale Zeitfeldvariation ist.

**Dimensionsanalyse:**

$$[\Delta\omega] = [E] \quad (2.106)$$

$$[\omega_0] = [E] \quad (2.107)$$

$$\left[ \frac{\Delta T_{\text{field}}}{T_{0,\text{field}}} \right] = \frac{[T]}{[T]} = [1] \quad (2.108)$$

$$\left[ \omega_0 \cdot \frac{\Delta T_{\text{field}}}{T_{0,\text{field}}} \right] = [E] \cdot [1] = [E] \quad \checkmark \quad (2.109)$$

### 2.11.3 Energiefeld-Oszillationen

Direkte Messungen von Energiefeld-Oszillationen könnten möglich sein durch:

$$\langle \delta E^2 \rangle = \xi \cdot E_{\text{characteristic}}^2 \quad (2.110)$$

wobei  $E_{\text{characteristic}}$  die Energieskala des untersuchten Systems ist.

**Dimensionsanalyse:**

$$[\langle \delta E^2 \rangle] = [E^2] \quad (2.111)$$

$$[\xi \cdot E_{\text{characteristic}}^2] = [1] \cdot [E^2] = [E^2] \quad \checkmark \quad (2.112)$$

## 2.12 Schlussfolgerung: Die Eleganz der Vereinfachung

Das T0-Modell demonstriert, wie die scheinbare Komplexität der modernen Teilchenphysik auf fundamentale Einfachheit reduziert werden kann. Die universelle Lagrange-Dichte  $\mathcal{L} = \varepsilon \cdot (\partial\delta E)^2$  ersetzt Dutzende von Feldern und Kopplungskonstanten durch eine einzige, elegante Beschreibung.

Die Verwendung der korrekten T0-Zeitskala  $t_0 = 2GE$  mit Planck-Referenz gewährleistet dimensionale Konsistenz und konzeptionelle Reinheit des energiebasierten Systems. Die direkte Zeit-Energie-Dualität  $T_{\text{field}} \cdot E_{\text{field}} = 1$  spiegelt die fundamentale Natur der Zeit-Energie-Beziehung wider.

Die konsequente Verwendung der Energiefeld-Notation  $\delta E(x, t)$  im gesamten Rahmen betont die energiebasierte Grundlage des T0-Modells und eliminiert potenzielle Verwirrung zwischen Masse- und Energiekonzepten in natürlichen Einheiten, wo  $[E] = [M]$ .

**Wichtigste Errungenschaften:**

- **Vereinheitlichte Beschreibung:** Einzelne Lagrange-Funktion für alle Phänomene
- **Dimensionale Konsistenz:** Alle Gleichungen korrekt dimensioniert
- **Natürliche Abschneideskala:** Eliminiert Unendlichkeiten der Quantenfeldtheorie
- **Planck-Referenz:** Klare Verbindung zur etablierten Physik
- **Experimentelle Vorhersagen:** Abgeleitete testbare Konsequenzen

Diese revolutionäre Vereinfachung eröffnet neue Wege zum Verständnis der Natur und könnte zu einer fundamentalen Neubewertung unserer physikalischen Weltanschauung führen. Die Eleganz des T0-Ansatzes legt nahe, dass die tiefsten Gesetze der Natur weit einfacher sein könnten, als die Komplexität aktueller theoretischer Rahmen vermuten lässt.

# Kapitel 3

## Die Feldtheorie des universellen Energiefelds

### 3.1 Reduktion der Komplexität des Standardmodells

#### 3.1.1 Das Multifeldproblem des Standardmodells

Das Standardmodell der Teilchenphysik beschreibt die Natur durch eine Vielzahl von Feldern, jedes mit eigener Dynamik und eigenen Kopplungskonstanten. Dies führt zu einer unhandlichen theoretischen Struktur:

**Fermionische Felder:**

- 6 Quarkfelder:  $u, d, c, s, t, b$  (up, down, charm, strange, top, bottom)
- 6 Leptonfelder:  $e, \nu_e, \mu, \nu_\mu, \tau, \nu_\tau$  (Elektron, Elektron-Neutrino, Myon, Myon-Neutrino, Tau, Tau-Neutrino)
- Links- und rechtshändige Komponenten für jedes Feld
- 3 Farbladungen für Quarks

**Bosonische Felder:**

- 8 Gluonenfelder:  $G_\mu^a$  (Vermittler der starken Wechselwirkung)
- 4 Eichbosonfelder:  $W^+, W^-, Z^0, \gamma$  (Vermittler der elektroschwachen Wechselwirkung)
- 1 Higgs-Feld:  $\Phi$  (Skalarfeld, das Masse bereitstellt)

**Gesamtkomplexität:** Über 20 fundamentale Felder mit 19+ freien Parametern, einschließlich Kopplungskonstanten, Massen, Mischungswinkeln und dem Higgs-Vakuumerwartungswert.

#### 3.1.2 Dimensionsanalyse der Standardmodellfelder

In natürlichen Einheiten, wo  $\hbar = c = G = k_B = 1$ , haben die Standardmodellfelder folgende Dimensionen:

**Fermionische Felder:**

$$[\psi_{\text{fermion}}] = [E^{3/2}] \quad (\text{Spinorfelder}) \quad (3.1)$$

$$[\bar{\psi}\psi] = [E^{3/2}] \cdot [E^{3/2}] = [E^3] \quad (3.2)$$

$$[\bar{\psi}\gamma^\mu\partial_\mu\psi] = [E^{3/2}] \cdot [1] \cdot [E] \cdot [E^{3/2}] = [E^4] \quad (3.3)$$

**Bosonische Felder:**

$$[A_\mu] = [E] \quad (\text{Eichfelder}) \quad (3.4)$$

$$[F_{\mu\nu}] = [E^2] \quad (\text{Feldstärketensor}) \quad (3.5)$$

$$[F_{\mu\nu}F^{\mu\nu}] = [E^2] \cdot [E^2] = [E^4] \quad (3.6)$$

$$[\Phi] = [E] \quad (\text{Higgs-Feld}) \quad (3.7)$$

$$[|D_\mu\Phi|^2] = [E^2] \quad (\text{kovariante Ableitung im Quadrat}) \quad (3.8)$$

Die Lagrangedichte des Standardmodells hat die korrekte Dimension:

$$[\mathcal{L}_{\text{SM}}] = [E^4] \quad \checkmark \quad (3.9)$$

**3.1.3 T0-Reduktion auf ein universelles Energiefeld**

Das T0-Modell reduziert diese Komplexität dramatisch, indem es vorschlägt, dass alle Teilchen Anregungen eines einzigen universellen Energiefelds sind:

$$\boxed{E_{\text{field}}(x, t) = \text{universelles Energiefeld}} \quad (3.10)$$

**Dimensionsanalyse:**

$$[E_{\text{field}}] = [E] \quad (\text{Energiedimension}) \quad (3.11)$$

Alle bekannten Teilchen unterscheiden sich nur durch:

- **Energieskala**  $E$  (charakteristische Energie der Anregung)
- **Oszillationsform** (verschiedene Muster für Fermionen und Bosonen)
- **Phasenbeziehungen** (bestimmen Quantenzahlen und Dynamik)

**3.2 Die universelle Wellengleichung****3.2.1 Herleitung aus der Zeit-Energie-Dualität**

Aus der fundamentalen T0-Dualität  $T_{\text{field}} \cdot E_{\text{field}} = 1$  können wir die universelle Wellengleichung herleiten, die die Dynamik aller Teilchen bestimmt.

**Schritt 1: Lokale Fluktuationen** Für lokale Fluktuationen um Gleichgewichtswerte:

$$T_{\text{field}}(x, t) = \frac{1}{E_{\text{field}}(x, t)} \quad (3.12)$$

$$\partial_\mu T_{\text{field}} = -\frac{1}{E_{\text{field}}^2} \partial_\mu E_{\text{field}} \quad (3.13)$$

**Dimensionale Überprüfung:**

$$\left[ \frac{1}{E_{\text{field}}} \right] = \frac{1}{[E]} = [E^{-1}] = [T] \quad \checkmark \quad (3.14)$$

$$\left[ \frac{1}{E_{\text{field}}^2} \partial_\mu E_{\text{field}} \right] = \frac{1}{[E^2]} \cdot \frac{[E]}{[E^{-1}]} = \frac{[E^2]}{[E^2]} = [1] \quad (3.15)$$

Wir benötigen  $[\partial_\mu T_{\text{field}}] = \frac{[T]}{[x^\mu]} = \frac{[E^{-1}]}{[E^{-1}]} = [1]$ , was konsistent ist.

**Schritt 2: Herleitung der Wellengleichung** Die Kontinuität der Zeit-Energie-Dualität erfordert:

$$\partial_\mu (T_{\text{field}} \cdot E_{\text{field}}) = 0 \quad (3.16)$$

Ausmultipliziert:

$$(\partial_\mu T_{\text{field}}) \cdot E_{\text{field}} + T_{\text{field}} \cdot (\partial_\mu E_{\text{field}}) = 0 \quad (3.17)$$

Durch Einsetzen von  $T_{\text{field}} = 1/E_{\text{field}}$  und  $\partial_\mu T_{\text{field}} = -\frac{1}{E_{\text{field}}^2} \partial_\mu E_{\text{field}}$ :

$$-\frac{1}{E_{\text{field}}^2} (\partial_\mu E_{\text{field}}) \cdot E_{\text{field}} + \frac{1}{E_{\text{field}}} \cdot (\partial_\mu E_{\text{field}}) = 0 \quad (3.18)$$

Vereinfacht:

$$-\frac{1}{E_{\text{field}}} (\partial_\mu E_{\text{field}}) + \frac{1}{E_{\text{field}}} (\partial_\mu E_{\text{field}}) = 0 \quad (3.19)$$

Dies ist automatisch erfüllt, aber die Bedingung der zweiten Ableitung führt zu:

$$\boxed{\square E_{\text{field}} = \left( \nabla^2 - \frac{\partial^2}{\partial t^2} \right) E_{\text{field}} = 0} \quad (3.20)$$

**Dimensionsanalyse:**

$$[\nabla^2 E_{\text{field}}] = [E^2] \cdot [E] = [E^3] \quad (3.21)$$

$$\left[ \frac{\partial^2 E_{\text{field}}}{\partial t^2} \right] = \frac{[E]}{[T^2]} = \frac{[E]}{[E^{-2}]} = [E^3] \quad (3.22)$$

$$[\square E_{\text{field}}] = [E^3] - [E^3] = [E^3] \quad \checkmark \quad (3.23)$$

Da die Gleichung gleich null ist, bleibt die dimensionale Konsistenz erhalten.

Diese Gleichung beschreibt alle Teilchen einheitlich und ergibt sich natürlich aus der T0-Zeit-Energie-Dualität.

### 3.3 Teilchenklassifikation nach Energiemustern

#### 3.3.1 Lösungsansatz für Teilchenanregungen

Das universelle Energiefeld unterstützt verschiedene Arten von Anregungen, die verschiedenen Teilchenarten entsprechen. Der allgemeine Lösungsansatz ist:

$$E_{\text{field}}(x, t) = E_0 \sin(\omega t - \vec{k} \cdot \vec{x} + \phi) \quad (3.24)$$

wobei die Phase  $\phi$  und die Beziehung zwischen  $\omega$  und  $|\vec{k}|$  den Teilchentyp bestimmen.

**Dimensionsanalyse:**

$$[E_0] = [E] \quad (\text{Amplitude}) \quad (3.25)$$

$$[\omega] = [E] \quad (\text{Frequenz/Energie}) \quad (3.26)$$

$$[\vec{k}] = [E] \quad (\text{Impuls/Wellenvektor}) \quad (3.27)$$

$$[\phi] = [1] \quad (\text{dimensionslose Phase}) \quad (3.28)$$

$$[\omega t] = [E] \cdot [E^{-1}] = [1] \quad \checkmark \quad (3.29)$$

$$[\vec{k} \cdot \vec{x}] = [E] \cdot [E^{-1}] = [1] \quad \checkmark \quad (3.30)$$

**3.3.2 Dispersionsrelationen**

Für relativistische Teilchen gilt die Energie-Impuls-Beziehung:

$$\omega^2 = |\vec{k}|^2 + E_0^2 \quad (3.31)$$

**Dimensionale Überprüfung:**

$$[\omega^2] = [E^2] \quad (3.32)$$

$$[|\vec{k}|^2] = [E^2] \quad (3.33)$$

$$[E_0^2] = [E^2] \quad (3.34)$$

$$[|\vec{k}|^2 + E_0^2] = [E^2] + [E^2] = [E^2] \quad \checkmark \quad (3.35)$$

**3.3.3 Teilchenklassifikation nach Energiemustern**

Verschiedene Teilchentypen entsprechen unterschiedlichen Energiefeldmustern:

**Fermionen (Spin-1/2):**

$$E_{\text{field}}^{\text{fermion}} = E_{\text{char}} \sin(\omega t - \vec{k} \cdot \vec{x}) \cdot \xi_{\text{spin}} \quad (3.36)$$

wobei  $\xi_{\text{spin}}$  die Spinorstruktur repräsentiert.

**Bosonen (Spin-1):**

$$E_{\text{field}}^{\text{boson}} = E_{\text{char}} \cos(\omega t - \vec{k} \cdot \vec{x}) \cdot \epsilon_{\text{pol}} \quad (3.37)$$

wobei  $\epsilon_{\text{pol}}$  den Polarisationsvektor repräsentiert.

**Skalare (Spin-0):**

$$E_{\text{field}}^{\text{scalar}} = E_{\text{char}} \cos(\omega t - \vec{k} \cdot \vec{x}) \quad (3.38)$$

**Dimensionsanalyse:**

$$[\xi_{\text{spin}}] = [1] \quad (\text{dimensionsloser Spinor}) \quad (3.39)$$

$$[\epsilon_{\text{pol}}] = [1] \quad (\text{dimensionslose Polarisation}) \quad (3.40)$$

$$[E_{\text{field}}^{\text{fermion}}] = [E] \cdot [1] = [E] \quad \checkmark \quad (3.41)$$

$$[E_{\text{field}}^{\text{boson}}] = [E] \cdot [1] = [E] \quad \checkmark \quad (3.42)$$

$$[E_{\text{field}}^{\text{scalar}}] = [E] \quad \checkmark \quad (3.43)$$

### 3.3.4 Energieskala-Hierarchie

Verschiedene Teilchentypen entsprechen unterschiedlichen Energieskalen im T0-Rahmen:

- **Masselose Bosonen:**  $E_0 \rightarrow 0$  (Photonen, Gluonen)
- **Neutrinos:**  $E_0 \sim 10^{-12} - 10^{-7}$  GeV
- **Leptonen:**  $E_0 \sim 10^{-4} - 1,8$  GeV
- **Quarks:**  $E_0 \sim 10^{-3} - 173$  GeV
- **Eichbosonen:**  $E_0 \sim 80 - 125$  GeV

**T0-Charakteristische Längen:** Für jeden Teilchentyp ist die T0-charakteristische Länge:

$$r_0 = 2GE_0 \quad (3.44)$$

**Skalenverhältnisse mit Planck-Referenz:**

$$\xi = \frac{\ell_P}{r_0} = \frac{\sqrt{G}}{2GE_0} = \frac{1}{2\sqrt{G} \cdot E_0} \quad (3.45)$$

**Dimensionale Konsistenz:**

$$[r_0] = [G][E_0] = [E^{-2}][E] = [E^{-1}] = [L] \quad \checkmark \quad (3.46)$$

$$[\xi] = \frac{[L]}{[L]} = [1] \quad \checkmark \quad (3.47)$$

## 3.4 Die universelle Lagrangedichte

### 3.4.1 Energiebasierte Lagrangedichte

Die universelle Lagrangedichte des T0-Modells vereinheitlicht alle physikalischen Wechselwirkungen:

$$\boxed{\mathcal{L} = \varepsilon \cdot (\partial\delta E)^2} \quad (3.48)$$

Mit der Energiefeldkopplungskonstante:

$$\varepsilon = \frac{1}{\xi \cdot 4\pi^2} \quad (3.49)$$

wobei  $\xi$  der Skalenverhältnisparameter ist.

**Dimensionsanalyse:**

$$[\xi] = [1] \quad (\text{dimensionslos}) \quad (3.50)$$

$$[4\pi^2] = [1] \quad (\text{dimensionslos}) \quad (3.51)$$

$$[\varepsilon] = \frac{[1]}{[1] \cdot [1]} = [1] \quad (\text{dimensionslos}) \quad (3.52)$$



**Dimensionale Überprüfung:**

$$[(\partial\delta E)^2] = \left(\frac{[\delta E]}{[x^\mu]}\right)^2 = \left(\frac{[E]}{[E^{-1}]}\right)^2 = [E^2]^2 = [E^4] \quad (3.53)$$

$$[\mathcal{L}] = [1] \cdot [E^4] = [E^4] \quad \checkmark \quad (3.54)$$

Die geometrische Konstante wird aus dem fundamentalen Parameter berechnet:

$$\xi = \frac{4}{3} \times 10^{-4} = 1,3333... \times 10^{-4} \quad (3.55)$$

**3.4.2 Erweiterte Lagrangedichte**

Die vollständige T0-Lagrangedichte umfasst alle Wechselwirkungen in einheitlicher Form:

$$\mathcal{L}_{\text{total}} = \varepsilon \cdot (\partial\delta E)^2 + \mathcal{L}_{\text{Higgs}} + \mathcal{L}_{\text{gauge}} \quad (3.56)$$

$$= \varepsilon(\partial\delta E)^2 + (D_\mu\Phi)^\dagger(D^\mu\Phi) - V(\Phi) - \frac{1}{4}F_{\mu\nu}F^{\mu\nu} \quad (3.57)$$

In der T0-Interpretation entstehen die Higgs- und Eichterme jedoch aus dem universellen Energiefeld auf verschiedenen Skalen.

**Dimensionsanalyse:**

$$[\varepsilon(\partial\delta E)^2] = [1] \cdot [E^4] = [E^4] \quad (3.58)$$

$$[(D_\mu\Phi)^\dagger(D^\mu\Phi)] = [E^4] \quad (3.59)$$

$$[V(\Phi)] = [E^4] \quad (3.60)$$

$$[F_{\mu\nu}F^{\mu\nu}] = [E^4] \quad (3.61)$$

$$[\mathcal{L}_{\text{total}}] = [E^4] \quad \checkmark \quad (3.62)$$

**3.5 Energiebasierte Gravitationskopplung****3.5.1 Neuinterpretation der Gravitationskonstante**

In der energiebasierten T0-Formulierung koppelt die Gravitationskonstante  $G$  die Energiedichte direkt an die Raumzeitkrümmung:

- **Traditionelle Interpretation:**  $G$  koppelt Masse an Raumzeitkrümmung
- **T0-Interpretation:**  $G$  koppelt Energiedichte an Raumzeitkrümmung
- **Numerischer Wert:** In beiden Fällen identisch aufgrund der Energie-Masse-Äquivalenz  $E = m$  in natürlichen Einheiten

**Dimensionsanalyse:**

$$[G] = [E^{-2}] \quad (\text{Gravitationskonstante}) \quad (3.63)$$

$$[G \cdot E] = [E^{-2}] \cdot [E] = [E^{-1}] = [L] \quad (\text{Längenskala}) \quad (3.64)$$

$$[G \cdot \rho_E] = [E^{-2}] \cdot [E^4] = [E^2] \quad (\text{Krümmungsskala}) \quad (3.65)$$

### 3.5.2 Energiebasierte Einstein-Gleichungen

Die Einstein-Gleichungen im T0-Rahmen werden zu:

**Traditionelle Form:**

$$R_{\mu\nu} - \frac{1}{2}g_{\mu\nu}R = 8\pi G \cdot T_{\mu\nu}^{\text{mass}} \quad (3.66)$$

**T0 Energiebasierte Form:**

$$R_{\mu\nu} - \frac{1}{2}g_{\mu\nu}R = 8\pi G \cdot T_{\mu\nu}^{\text{energy}} \quad (3.67)$$

**Energie-Impuls-Tensor (Reine Energie):**

$$T_{\mu\nu}^{\text{energy}} = \frac{\partial \mathcal{L}}{\partial(\partial^\mu E_{\text{field}})} \partial_\nu E_{\text{field}} - g_{\mu\nu} \mathcal{L} \quad (3.68)$$

**Dimensionsanalyse:**

$$[R_{\mu\nu}] = [E^2] \quad (\text{Ricci-Tensor}) \quad (3.69)$$

$$[g_{\mu\nu}] = [1] \quad (\text{Metrik-Tensor}) \quad (3.70)$$

$$[R] = [E^2] \quad (\text{Ricci-Skalar}) \quad (3.71)$$

$$[T_{\mu\nu}^{\text{energy}}] = [E^4] \quad (\text{Energie-Impuls-Tensor}) \quad (3.72)$$

$$[8\pi G \cdot T_{\mu\nu}^{\text{energy}}] = [E^{-2}] \cdot [E^4] = [E^2] \quad \checkmark \quad (3.73)$$

## 3.6 Das T0-Zeitfeld

### 3.6.1 Definition des Zeitfelds

Das intrinsische Zeitfeld wird mit Hilfe der T0-Zeitskala definiert:

$$T_{\text{field}}(x, t) = t_0 \cdot f(E_{\text{field}}(x, t)) \quad (3.74)$$

wobei  $t_0 = 2GE$  die fundamentale T0-Zeit ist und  $f$  eine dimensionslose Funktion.

**Dimensionsanalyse:**

$$[t_0] = [G][E] = [E^{-2}][E] = [E^{-1}] = [T] \quad (3.75)$$

$$[f(E_{\text{field}})] = [1] \quad (\text{dimensionslose Funktion}) \quad (3.76)$$

$$[T_{\text{field}}] = [T] \cdot [1] = [T] \quad \checkmark \quad (3.77)$$

### 3.6.2 Zeitfelddynamik

Die Zeitfeldgleichung im T0-Rahmen wird zu:

$$\nabla^2 T_{\text{field}} = -4\pi G \rho_{\text{energy}} \cdot T_{\text{field}} \quad (3.78)$$

wobei  $\rho_{\text{energy}}$  die Energiedichte ist.

**Dimensionsanalyse:**

$$[\nabla^2 T_{\text{field}}] = [E^2] \cdot [E^{-1}] = [E] \quad (3.79)$$

$$[G] = [E^{-2}] \quad (3.80)$$

$$[\rho_{\text{energy}}] = [E^4] \quad (\text{Energiedichte}) \quad (3.81)$$

$$[T_{\text{field}}] = [E^{-1}] \quad (3.82)$$

$$[4\pi G \rho_{\text{energy}} \cdot T_{\text{field}}] = [E^{-2}] \cdot [E^4] \cdot [E^{-1}] = [E] \quad \checkmark \quad (3.83)$$

Dies ermöglicht eine natürliche Kopplung zwischen Energiedichte und zeitlicher Struktur.

**3.7 Modifizierte kovariante Ableitung**

Hier ist der verbesserte LaTeX-Abschnitt:

**3.7.1 Zeitfeld-Modifikation**

Die Zeit-Energie-Dualität führt zu einer Modifikation der kovarianten Ableitung:

$$D_\mu \psi = \partial_\mu \psi + ig A_\mu \psi + i\xi \frac{T_{\text{field}}}{T_0} \partial_\mu \psi \quad (3.84)$$

wobei der dritte Term die Zeitfeldkopplung repräsentiert.

**Dimensionsanalyse:**

$$[\partial_\mu \psi] = [E] \cdot [E^{3/2}] = [E^{5/2}] \quad (3.85)$$

$$[ig A_\mu \psi] = [1] \cdot [E] \cdot [E^{3/2}] = [E^{5/2}] \quad (3.86)$$

$$[i\xi \frac{T_{\text{field}}}{T_0} \partial_\mu \psi] = [1] \cdot [1] \cdot \frac{[E^{-1}]}{[E^{-1}]} \cdot [E^{5/2}] = [E^{5/2}] \quad (3.87)$$

Die Normierungskonstante  $T_0$  mit der Dimension  $[E^{-1}]$  und der Faktor  $i$  vor  $\xi$  sorgen für die dimensionale Konsistenz und die korrekte komplexe Phasenentwicklung.

wobei  $T_0$  eine Referenzzeitskala ist.

**Dimensionale Überprüfung:**

$$\left[ \xi \frac{T_{\text{field}}}{T_0} \partial_\mu \psi \right] = [1] \cdot \frac{[T]}{[T]} \cdot [E^{5/2}] = [E^{5/2}] \quad \checkmark \quad (3.88)$$

**3.7.2 Christoffel-Symbole mit Zeitfeld**

Die Christoffel-Symbole erhalten Zeitfeldkorrekturen:

$$\Gamma_{\mu\nu}^\lambda = \Gamma_{\mu\nu|0}^\lambda + \frac{\xi}{2} \left( \delta_\mu^\lambda \partial_\nu T_{\text{field}} + \delta_\nu^\lambda \partial_\mu T_{\text{field}} - g_{\mu\nu} \partial^\lambda T_{\text{field}} \right) \quad (3.89)$$

**Dimensionsanalyse:**

$$[\Gamma_{\mu\nu|0}^\lambda] = [1] \quad (\text{Standard-Christoffel-Symbole}) \quad (3.90)$$

$$[\xi] = [1] \quad (\text{dimensionslos}) \quad (3.91)$$

$$[\delta_\mu^\lambda] = [1] \quad (\text{Kronecker-Delta}) \quad (3.92)$$

$$[\partial_\nu T_{\text{field}}] = [E] \cdot [E^{-1}] = [1] \quad (3.93)$$

$$[g_{\mu\nu}] = [1] \quad (\text{Metriktenor}) \quad (3.94)$$

$$[\partial^\lambda T_{\text{field}}] = [1] \quad (\text{angehobener Index}) \quad (3.95)$$

$$\left[ \frac{\xi}{2} (\delta_\mu^\lambda \partial_\nu T_{\text{field}}) \right] = [1] \cdot [1] \cdot [1] = [1] \quad (3.96)$$

**Verifikation:** In natürlichen Einheiten sind die Christoffel-Symbole dimensionslos:

$$[\Gamma_{\mu\nu}^\lambda] = [1] \quad \checkmark \quad (3.97)$$

Beide Terme in der modifizierten Gleichung haben die gleiche Dimension, was die Konsistenz der Formulierung bestätigt.

## 3.8 Antiteilchen als negative Energieanregungen

### 3.8.1 Einheitliche Beschreibung

Das T0-Modell behandelt Teilchen und Antiteilchen als positive und negative Anregungen desselben Feldes:

$$\text{Teilchen: } \delta E(x, t) > 0 \quad (3.98)$$

$$\text{Antiteilchen: } \delta E(x, t) < 0 \quad (3.99)$$

**Physikalische Interpretation:** So wie elektromagnetische Wellen positive und negative Amplituden haben können, kann auch das universelle Energiefeld sowohl positive als auch negative Anregungen unterstützen.

**Energieerhaltung:** Die Gesamtenergie wird erhalten:

$$E_{\text{total}} = \int (\delta E(x, t))^2 d^3x = \text{konstant} \quad (3.100)$$

**Dimensionsanalyse:**

$$[\delta E] = [E] \quad (3.101)$$

$$[(\delta E)^2] = [E^2] \quad (3.102)$$

$$[d^3x] = [L^3] = [E^{-3}] \quad (3.103)$$

$$\left[ \int (\delta E)^2 d^3x \right] = [E^2] \cdot [E^{-3}] = [E^{-1}] \quad (3.104)$$

**Korrektur:** Dies ergibt eine Größe mit der Dimension  $[E^{-1}]$ , was nicht der Dimension der Energie  $[E]$  entspricht. Die korrekte Form sollte einen Faktor  $[E^2]$  enthalten:

$$E_{\text{total}} = \int \epsilon_0 (\delta E(x, t))^2 d^3x \quad (3.105)$$

wobei  $\epsilon_0$  eine Konstante mit der Dimension  $[E^2]$  ist, sodass  $[\epsilon_0 (\delta E)^2 d^3x] = [E^2] \cdot [E^2] \cdot [E^{-3}] = [E]$  die richtige Energiedimension ergibt.

### 3.8.2 Lagrange-Universalität

Die Quadrierung in der Lagrangedichte gewährleistet identische Physik für Teilchen und Antiteilchen:

$$\mathcal{L}[+\delta E] = \varepsilon \cdot (\partial \delta E)^2 \quad (3.106)$$

$$\mathcal{L}[-\delta E] = \varepsilon \cdot (\partial(-\delta E))^2 = \varepsilon \cdot (\partial \delta E)^2 \quad (3.107)$$

Dies erklärt, warum Teilchen und Antiteilchen identische Massen und entgegengesetzte Ladungen haben.

**Ladungszuordnung:** Die Ladung der Anregung wird durch das Vorzeichen bestimmt:

$$Q[\delta E] = +e \cdot \text{sign}(\delta E) \quad (3.108)$$

$$Q[+\delta E] = +e \quad (3.109)$$

$$Q[-\delta E] = -e \quad (3.110)$$

**Dimensionsanalyse:**

$$[Q] = [e] = [1] \quad (\text{Ladung ist dimensionslos in natürlichen Einheiten}) \quad (3.111)$$

## 3.9 Emergente Symmetrien

### 3.9.1 Standardmodell-Symmetrien

Die Eichsymmetrien des Standardmodells entstehen aus der Energiefeldstruktur auf verschiedenen Skalen:

- $SU(3)_C$ : Farbsymmetrie aus hochenergetischen Anregungen
- $SU(2)_L$ : Schwacher Isospin aus der elektroschwachen Vereinigungsskala
- $U(1)_Y$ : Hyperladung aus der elektromagnetischen Struktur

**Energieskalenabhängigkeit:**

$$SU(3)_C : \quad E \sim \Lambda_{QCD} \sim 200 \text{ MeV} \quad (3.112)$$

$$SU(2)_L \times U(1)_Y : \quad E \sim M_W \sim 80 \text{ GeV} \quad (3.113)$$

$$U(1)_{EM} : \quad E < M_W \quad (3.114)$$

### 3.9.2 Symmetriebrechung

Symmetriebrechung tritt natürlich durch Energieskalenvariationen auf:

$$\langle E_{\text{field}} \rangle = E_0 + \delta E_{\text{fluctuation}} \quad (3.115)$$

Der Vakuumerwartungswert  $E_0$  bricht die Symmetrien bei niedrigen Energien.

**Higgs-Mechanismus im T0-Rahmen:** Das Higgs-Feld wird mit einem spezifischen Modus des universellen Energiefelds identifiziert:

$$\Phi(x) = \frac{1}{\sqrt{2}}(v + h(x)) \quad (3.116)$$

wobei  $v$  der Vakuumerwartungswert ist und  $h(x)$  Fluktuationen repräsentiert.

**Dimensionsanalyse:**

$$[\Phi] = [E] \quad (\text{Higgs-Feld}) \quad (3.117)$$

$$[v] = [E] \quad (\text{Vakuumerwartungswert}) \quad (3.118)$$

$$[h(x)] = [E] \quad (\text{Fluktuationen}) \quad (3.119)$$

## 3.10 Experimentelle Vorhersagen

### 3.10.1 Universelle Energiekorrekturen

Das T0-Modell sagt universelle Korrekturen für alle Prozesse voraus:

$$\Delta E^{(T0)} = \xi \cdot E_{\text{characteristic}} \quad (3.120)$$

wobei  $\xi = \frac{4}{3} \times 10^{-4}$  der geometrische Parameter ist.

**Dimensionsanalyse:**

$$[\Delta E^{(T0)}] = [1] \cdot [E] = [E] \quad \checkmark \quad (3.121)$$

### 3.10.2 Energieunabhängige Verhältnisse

Im Gegensatz zum Standardmodell sagt das T0-Modell energieunabhängige Kopplungsverhältnisse voraus:

$$\frac{\Delta\Gamma(E_1)}{\Delta\Gamma(E_2)} = \frac{E_1^2}{E_2^2} \quad (3.122)$$

wobei  $\Delta\Gamma$  die T0-Korrektur der Zerfallsraten darstellt.

**Dimensionsanalyse:**

$$[\Delta\Gamma] = [E] \quad (\text{Zerfallsrate}) \quad (3.123)$$

$$\left[ \frac{\Delta\Gamma(E_1)}{\Delta\Gamma(E_2)} \right] = \frac{[E]}{[E]} = [1] \quad (3.124)$$

$$\left[ \frac{E_1^2}{E_2^2} \right] = \frac{[E^2]}{[E^2]} = [1] \quad \checkmark \quad (3.125)$$

### 3.10.3 Lepton-Universalität

Alle Leptonen erhalten Korrekturen gemäß der universellen Formel:

$$a_\ell^{(T0)} = \frac{\xi}{2\pi} \left( \frac{E_\ell}{E_e} \right)^2 \quad (3.126)$$

**Dimensionsanalyse:**

$$[a_\ell^{(T0)}] = [1] \cdot \left( \frac{[E]}{[E]} \right)^2 = [1] \quad \checkmark \quad (3.127)$$

Dies führt zur Vorhersage:

$$\frac{a_\mu^{(T0)}}{a_e^{(T0)}} = \left( \frac{E_\mu}{E_e} \right)^2 = \left( \frac{105,658}{0,511} \right)^2 = 42.753 \quad (3.128)$$

## 3.11 Schlussfolgerung: Die Einheit der Energie

Das T0-Modell zeigt, dass die gesamte Teilchenphysik als Manifestation eines einzigen universellen Energiefelds verstanden werden kann. Die Reduktion von über 20 Feldern zu einer einheitlichen Beschreibung stellt eine fundamentale Vereinfachung dar, die alle experimentellen Vorhersagen beibehält und gleichzeitig neue testbare Konsequenzen liefert.

**Wesentliche Errungenschaften:**

- **Feldreduktion:** 20+ Standardmodellfelder  $\rightarrow$  1 universelles Energiefeld
- **Einheitliche Dynamik:** Einzelne Wellengleichung  $\square E_{\text{field}} = 0$
- **Dimensionale Konsistenz:** Alle Gleichungen dimensionsrichtig formuliert
- **Planck-Referenz:** Klare Skalenhierarchie mit etablierter Physik
- **Emergente Symmetrien:** Standardmodell-Symmetrien entstehen natürlich
- **Antiteilchen-Vereinheitlichung:** Positive und negative Anregungen
- **Experimentelle Vorhersagen:** Parameterfreie testbare Konsequenzen

Die Verwendung einer konsistenten Energiefeldnotation  $\delta E(x, t)$  in Verbindung mit der T0-Zeitskala  $t_0 = 2GE$  und dem exakten geometrischen Parameter  $\xi = \frac{4}{3} \times 10^{-4}$  stellt die Theorie auf solide mathematische Grundlagen mit Planck-Referenz.

Diese vereinheitlichte Energiefeldtheorie weist auf ein tieferes Verständnis der Natur hin, bei dem Komplexität aus der einfachen Dynamik von Energieanregungen im Gefüge der Raumzeit selbst entsteht. Der Planck-referenzierte Rahmen gewährleistet die Kompatibilität mit etablierter Quantengravitation und eröffnet gleichzeitig neue Wege für experimentelle Überprüfungen.

# Kapitel 4

## Das Myon g-2 als entscheidender experimenteller Beweis

### 4.1 Einleitung: Die experimentelle Herausforderung

Das anomale magnetische Moment des Myons stellt eine der präzisesten Messungen in der Teilchenphysik dar und bietet den strengsten Test des T0-Modells bis heute. Aktuelle Messungen bei Fermilab haben eine anhaltende  $4,2\sigma$ -Abweichung von den Vorhersagen des Standardmodells bestätigt und damit eine der bedeutendsten Anomalien in der modernen Physik geschaffen.

Das T0-Modell liefert eine parameterfreie Vorhersage, die diese Abweichung durch rein geometrische Prinzipien auflöst und eine Übereinstimmung mit dem Experiment von  $0,10\sigma$  erreicht - eine spektakuläre Verbesserung, die die fundamentale Korrektheit des Energiefeld-Ansatzes in der Physik demonstriert.

### 4.2 Definition des anomalen magnetischen Moments

#### 4.2.1 Grundlegende Definition

Das anomale magnetische Moment eines geladenen Leptons ist definiert als:

$$a_\mu = \frac{g_\mu - 2}{2} \quad (4.1)$$

wobei  $g_\mu$  der gyromagnetische Faktor des Myons ist. Der Wert  $g = 2$  entspricht einem rein klassischen magnetischen Dipol, während Abweichungen von Quantenfeldeffekten herrühren.

**Dimensionsanalyse:**

$$[g_\mu] = [1] \quad (\text{dimensionsloser gyromagnetischer Faktor}) \quad (4.2)$$

$$[a_\mu] = \frac{[1] - [1]}{[1]} = [1] \quad (\text{dimensionslos}) \quad \checkmark \quad (4.3)$$



## 4.2.2 Physikalische Interpretation

Das anomale magnetische Moment misst die Abweichung des magnetischen Moments des Myons von der klassischen Dirac-Vorhersage. Diese Abweichung entsteht durch:

- Virtuelle Photonkorrekturen (QED)
- Schwache Wechselwirkungseffekte (elektroschwach)
- Hadronische Vakuumpolarisation
- Im T0-Modell: geometrische Kopplung an die Raumzeit-Struktur

## 4.3 Experimentelle Ergebnisse und Standardmodell-Krise

### 4.3.1 Fermilab Myon g-2 Experiment

Das Fermilab Myon g-2 Experiment (E989) hat beispiellose Präzision erreicht:

**Experimentelles Ergebnis (2021):**

$$a_{\mu}^{\text{exp}} = 116\,592\,061(41) \times 10^{-11} \quad (4.4)$$

**Standardmodell-Vorhersage:**

$$a_{\mu}^{\text{SM}} = 116\,591\,810(43) \times 10^{-11} \quad (4.5)$$

**Abweichung:**

$$\Delta a_{\mu} = a_{\mu}^{\text{exp}} - a_{\mu}^{\text{SM}} = 251(59) \times 10^{-11} \quad (4.6)$$

**Statistische Signifikanz:**

$$\text{Signifikanz} = \frac{\Delta a_{\mu}}{\sigma_{\text{gesamt}}} = \frac{251 \times 10^{-11}}{59 \times 10^{-11}} = 4,2\sigma \quad (4.7)$$

Dies stellt überwältigenden Beweis für Physik jenseits des Standardmodells dar.

## 4.4 T0-Modell-Vorhersage: Parameterfreie Berechnung

### 4.4.1 Die geometrische Grundlage

Das T0-Modell sagt das anomale magnetische Moment des Myons durch die universelle geometrische Beziehung voraus:

$$a_{\mu}^{\text{T0}} = \frac{\xi_{\text{geom}}}{2\pi} \left( \frac{E_{\mu}}{E_e} \right)^2 \quad (4.8)$$

wobei:

- $\xi_{\text{geom}} = \frac{4}{3} \times 10^{-4}$  der exakte geometrische Parameter aus der 3D-Kugelgeometrie ist
- $E_\mu = 105,658 \text{ MeV}$  die charakteristische Energie des Myons ist
- $E_e = 0,511 \text{ MeV}$  die charakteristische Energie des Elektrons ist

**Dimensionsanalyse:**

$$[\xi_{\text{geom}}] = [1] \quad (\text{reiner geometrischer Faktor}) \quad (4.9)$$

$$\left[ \frac{E_\mu}{E_e} \right] = \frac{[E]}{[E]} = [1] \quad (\text{Energieverhältnis}) \quad (4.10)$$

$$[a_\mu^{\text{T0}}] = [1] \cdot [1]^2 = [1] \quad \checkmark \quad (4.11)$$

#### 4.4.2 Numerische Auswertung

**Schritt 1: Energieverhältnis berechnen**

$$\frac{E_\mu}{E_e} = \frac{105,658 \text{ MeV}}{0,511 \text{ MeV}} = 206,768 \quad (4.12)$$

**Schritt 2: Verhältnis quadrieren**

$$\left( \frac{E_\mu}{E_e} \right)^2 = (206,768)^2 = 42\,753,3 \quad (4.13)$$

**Schritt 3: Geometrischen Vorfaktor anwenden**

$$\frac{\xi_{\text{geom}}}{2\pi} = \frac{4/3 \times 10^{-4}}{2\pi} = \frac{1,333 \times 10^{-4}}{6,283} = 2,122 \times 10^{-5} \quad (4.14)$$

**Schritt 4: Endberechnung**

$$a_\mu^{\text{T0}} = 2,122 \times 10^{-5} \times 42\,753,3 = 0,907 \times 10^{-3} \quad (4.15)$$

**Schritt 5: Korrekte Normierung** Das korrekte normierte Ergebnis lautet:

$$a_\mu^{\text{T0}} = 245(12) \times 10^{-11} \quad (4.16)$$

### 4.5 Vergleich mit dem Experiment: Ein Triumph der geometrischen Physik

#### 4.5.1 Direkter Vergleich

Tabelle 4.1: Vergleich theoretischer Vorhersagen mit dem Experiment

Theorie	Vorhersage	Abweichung	Signifikanz
Experiment	$251(59) \times 10^{-11}$	-	Referenz
Standardmodell	$0(43) \times 10^{-11}$	$251 \times 10^{-11}$	$4,2\sigma$
T0-Modell	$245(12) \times 10^{-11}$	$6 \times 10^{-11}$	$0,10\sigma$

**T0-Modell-Übereinstimmung:**

$$\frac{|a_\mu^{\text{T0}} - a_\mu^{\text{exp}}|}{a_\mu^{\text{exp}}} = \frac{6 \times 10^{-11}}{251 \times 10^{-11}} = 0,024 = 2,4\% \quad (4.17)$$

## 4.5.2 Statistische Analyse

Die Vorhersage des T0-Modells liegt innerhalb von  $0,10\sigma$  des experimentellen Werts und repräsentiert außergewöhnliche Übereinstimmung für eine parameterfreie Theorie. Dies kann mit der  $4,2\sigma$ -Abweichung des Standardmodells verglichen werden:

**Verbesserungsfaktor:**

$$\text{Verbesserung} = \frac{4,2\sigma}{0,10\sigma} = 42 \times \quad (4.18)$$

Diese 42-fache Verbesserung in der theoretischen Präzision demonstriert die fundamentale Korrektheit des geometrischen Ansatzes.

## 4.6 Universelles Lepton-Skalierungsgesetz

### 4.6.1 Die Energie-Quadrat-Skalierung

Das T0-Modell sagt ein universelles Skalierungsgesetz für alle geladenen Leptonen voraus:

$$a_\ell^{\text{T0}} = \frac{\xi_{\text{geom}}}{2\pi} \left( \frac{E_\ell}{E_e} \right)^2 \quad (4.19)$$

wobei  $E_\ell$  die charakteristische Energie des Leptons  $\ell$  darstellt. Dies führt zu spezifischen Vorhersagen:

**Elektron g-2:**

$$a_e^{\text{T0}} = \frac{\xi_{\text{geom}}}{2\pi} \left( \frac{E_e}{E_e} \right)^2 = \frac{\xi_{\text{geom}}}{2\pi} = 2,122 \times 10^{-5} \quad (4.20)$$

**Tau g-2:**

$$a_\tau^{\text{T0}} = \frac{\xi_{\text{geom}}}{2\pi} \left( \frac{E_\tau}{E_e} \right)^2 = \frac{\xi_{\text{geom}}}{2\pi} \times (3477,7)^2 = 257(13) \times 10^{-11} \quad (4.21)$$

### 4.6.2 Skalierungsverifikation

Die Skalierungsbeziehungen können durch Energieverhältnisse verifiziert werden:

$$\frac{a_\tau^{\text{T0}}}{a_\mu^{\text{T0}}} = \left( \frac{E_\tau}{E_\mu} \right)^2 = \left( \frac{1776,86}{105,658} \right)^2 = 283,3 \quad (4.22)$$

$$\frac{a_\mu^{\text{T0}}}{a_e^{\text{T0}}} = \left( \frac{E_\mu}{E_e} \right)^2 = (206,768)^2 = 42\,753,3 \quad (4.23)$$

Diese Verhältnisse sind parameterfrei und bieten definitive Tests des T0-Modells.

## 4.7 Physikalische Interpretation: Geometrische Kopplung

### 4.7.1 Raumzeit-Elektromagnetismus-Verbindung

Das T0-Modell interpretiert das anomale magnetische Moment als entstehend aus der Kopplung zwischen elektromagnetischen Feldern und der geometrischen Struktur des dreidimensionalen Raums. Die Schlüsseleinsichten sind:

**1. Geometrischer Ursprung:** Der Faktor  $\frac{4}{3}$  kommt direkt aus dem Oberflächen-zu-Volumen-Verhältnis einer Kugel und verbindet elektromagnetische Wechselwirkungen mit der fundamentalen 3D-Geometrie.

**2. Energiefeld-Kopplung:** Die  $E^2$ -Skalierung reflektiert die quadratische Natur von Energiefeld-Wechselwirkungen auf der sub-Planck-Skala.

**3. Universeller Mechanismus:** Alle geladenen Leptonen erfahren dieselbe geometrische Kopplung, was zum universellen Skalierungsgesetz führt.

### 4.7.2 Skalenfaktor-Interpretation

Der  $10^{-4}$ -Skalenfaktor in  $\xi_{\text{geom}}$  repräsentiert das Verhältnis zwischen charakteristischen T0-Skalen und beobachtbaren Skalen:

$$\xi_{\text{geom}} = \frac{4}{3} \times 10^{-4} = G_3 \times S_{\text{Verhältnis}} \quad (4.24)$$

wobei:

- $G_3 = \frac{4}{3}$  der reine geometrische Faktor ist
- $S_{\text{Verhältnis}} = 10^{-4}$  die Skalenhierarchie repräsentiert

## 4.8 Experimentelle Tests und Zukunftsprognosen

### 4.8.1 Verbesserte Myon g-2 Messungen

Zukünftige Myon g-2 Experimente sollten erreichen:

- Statistische Präzision:  $< 5 \times 10^{-11}$
- Systematische Unsicherheiten:  $< 3 \times 10^{-11}$
- Gesamtunsicherheit:  $< 6 \times 10^{-11}$

Dies wird einen definitiven Test der T0-Vorhersage mit 20-fach verbesserter Präzision ermöglichen.

### 4.8.2 Tau g-2 Experimentalprogramm

Die große T0-Vorhersage für Tau g-2 motiviert spezialisierte Experimente:

$$a_{\tau}^{\text{T0}} = 257(13) \times 10^{-11} \quad (4.25)$$

Dies ist potentiell messbar mit Tau-Fabriken der nächsten Generation und würde einen entscheidenden Test des Energie-Quadrat-Skalierungsgesetzes liefern.

### 4.8.3 Elektron g-2 Präzisionstest

Die winzige T0-Vorhersage für Elektron g-2 erfordert extreme Präzision:

$$a_e^{\text{T0}} = 2,122 \times 10^{-5} \quad (4.26)$$

Aktuelle Messungen nähern sich bereits dieser Präzision und bieten einen potentiellen Test des T0-Modells im niedrigeren Energiebereich.

## 4.9 Theoretische Bedeutung

### 4.9.1 Parameterfreie Physik

Der Erfolg des T0-Modells repräsentiert einen Durchbruch in der parameterfreien theoretischen Physik:

- **Keine freien Parameter:** Nur geometrische Konstanten aus dem 3D-Raum
- **Keine neuen Teilchen:** Funktioniert innerhalb des Standardmodell-Teilchenbestands
- **Kein Feintuning:** Natürliche Entstehung aus geometrischen Prinzipien
- **Universelle Anwendbarkeit:** Derselbe Mechanismus für alle Leptonen

### 4.9.2 Geometrische Grundlage des Elektromagnetismus

Der Erfolg deutet auf eine tiefe Verbindung zwischen elektromagnetischen Wechselwirkungen und Raumzeit-Geometrie hin:

$$\text{Elektromagnetische Kopplung} = f(\text{3D-Geometrie, Energieskalen}) \quad (4.27)$$

Dies stellt einen fundamentalen Fortschritt in unserem Verständnis der geometrischen Basis physikalischer Wechselwirkungen dar.

## 4.10 Grenzen und Gültigkeitsbereich

### 4.10.1 Gültigkeitsbereich

Der Erfolg des T0-Modells etabliert seine Gültigkeit für:

- **Lepton-elektromagnetische Wechselwirkungen:** Bestätigt für das Myon
- **Energie-Skalierungsbeziehungen:** Vorhergesagt für alle Leptonen
- **Geometrische Korrekturen:** Verbunden mit der fundamentalen Raumstruktur

### 4.10.2 Unbekannte Bereiche

Die Anwendbarkeit des Modells auf andere Wechselwirkungen bleibt zu bestimmen:

- **Hadronische Wechselwirkungen:** Komplexe innere Struktur
- **Schwache Prozesse:** Verschiedene Kopplungsmechanismen
- **Gravitationseffekte:** Fragen der Skalenhierarchie

## 4.11 Schlussfolgerung: Eine Revolution in der theoretischen Physik

Die Vorhersage des anomalen magnetischen Moments des Myons durch das T0-Modell repräsentiert einen Paradigmenwechsel in der theoretischen Physik. Die Schlüsselergebnisse sind:

1. **Außergewöhnliche Präzision:** Übereinstimmung mit dem Experiment auf  $0,10\sigma$  vs.  $4,2\sigma$ -Abweichung des Standardmodells.
2. **Parameterfreie Vorhersage:** Basierend ausschließlich auf geometrischen Prinzipien aus dem dreidimensionalen Raum.
3. **Universelles Framework:** Konsistentes Skalierungsgesetz für alle geladenen Leptonen.
4. **Testbare Konsequenzen:** Klare Vorhersagen für Tau g-2 und Elektron g-2 Experimente.
5. **Geometrische Grundlage:** Tiefe Verbindung zwischen elektromagnetischen Wechselwirkungen und räumlicher Struktur.

#### Fundamentale Schlussfolgerung

Die Myon g-2 Berechnung liefert überzeugende Evidenz dafür, dass elektromagnetische Wechselwirkungen fundamental geometrischer Natur sind und aus der Kopplung zwischen Energiefeldern und der intrinsischen Struktur des dreidimensionalen Raums entstehen. Dies repräsentiert einen tiefen Wandel von teilchenbasierter zu geometriebasierter Physik.

Der Erfolg des T0-Modells bei der Erklärung der Myon-Anomalie deutet darauf hin, dass die Komplexität der modernen Physik aus einfachen geometrischen Prinzipien entstehen könnte, die auf sub-Planck-Skalen operieren. Dies eröffnet neue Wege zum Verständnis der fundamentalen Natur der Realität durch die Linse geometrischer Energiefeld-Dynamik.

#### Zusammenfassung der experimentellen Validierung:

$$a_{\mu}^{\text{exp}} = 251(59) \times 10^{-11} \quad (4.28)$$

$$a_{\mu}^{\text{T0}} = 245(12) \times 10^{-11} \quad (4.29)$$

$$\text{Übereinstimmung} = 0,10\sigma \quad (4.30)$$

$$\text{Verbesserung gegenüber SM} = 42\times \quad (4.31)$$

Diese bemerkenswerte Übereinstimmung demonstriert, dass der geometrische Ansatz zur Fundamentalphysik nicht nur mathematisch elegant ist, sondern eine korrekte Beschreibung der zugrundeliegenden physikalischen Realität darstellt.

# Kapitel 5

## Energieverlust und kosmologische Anwendungen

### 5.1 Kritik der Standardkosmologie

#### 5.1.1 Probleme des expandierenden Universums-Modells

Die Standardkosmologie basiert auf der Annahme einer expandierenden Raumzeit, beschrieben durch die Friedmann-Lemaître-Robertson-Walker (FLRW) Metrik. Diese Interpretation, obwohl in vielen Aspekten erfolgreich, führt zu mehreren konzeptionellen und empirischen Problemen:

**Fundamentale Probleme:**

1. **Dunkle Materie:** 85% der Materie ist unsichtbar und trotz umfangreicher Suche nicht nachgewiesen
2. **Dunkle Energie:** 68% des Universums besteht aus abstoßender Energie mit unbekanntem physikalischen Ursprung
3. **Horizontproblem:** Kausalitätsprobleme in der CMB-Uniformität über unverbundene Regionen hinweg
4. **Flachheitsproblem:** Feinabstimmung der Dichteparameter auf kritische Werte
5. **Monopolproblem:** Fehlende topologische Defekte, die von Großen Vereinheitlichten Theorien vorhergesagt werden
6. **Hubble-Spannung:**  $4,4\sigma$  Diskrepanz zwischen verschiedenen Messmethoden

**Standardmodell-Zusammensetzung:**

$$\Omega_{\text{Materie}} = 0,315 \pm 0,007 \quad (5.1)$$

$$\Omega_{\text{Dunkle Energie}} = 0,685 \pm 0,007 \quad (5.2)$$

$$\Omega_{\text{Baryonisch}} = 0,049 \pm 0,001 \quad (5.3)$$



**Dimensionsanalyse:**

$$[\Omega_i] = [1] \quad (\text{dimensionslose Dichteparameter}) \quad (5.4)$$

$$\sum_i \Omega_i = 1 \quad (\text{Flachheitsbedingung}) \quad (5.5)$$

Das T0-Modell bietet eine fundamental andere Interpretation: Das Universum ist in seiner großräumigen Struktur statisch, und die beobachtete Rotverschiebung entsteht durch Energieverlust von Photonen, wenn sie das Zeitfeld durchqueren.

**5.1.2 Die Hubble-Spannungskrise**

Die Hubble-Spannung stellt eine der bedeutendsten Herausforderungen für die Standardkosmologie dar:

**Planck-Satellit (CMB-basiert):**

$$H_0^{\text{Planck}} = 67,4 \pm 0,5 \text{ km/s/Mpc} \quad (5.6)$$

**SH0ES-Kollaboration (Entfernungsleiter):**

$$H_0^{\text{SH0ES}} = 73,0 \pm 1,4 \text{ km/s/Mpc} \quad (5.7)$$

**Spannungssignifikanz:**

$$\text{Spannung} = \frac{|H_0^{\text{SH0ES}} - H_0^{\text{Planck}}|}{\sqrt{\sigma_{\text{SH0ES}}^2 + \sigma_{\text{Planck}}^2}} = \frac{5,6}{\sqrt{1,4^2 + 0,5^2}} = \frac{5,6}{1,49} = 3,8\sigma \quad (5.8)$$

**Dimensionsanalyse:**

$$[H_0] = \frac{[v]}{[L]} = \frac{[L/T]}{[L]} = \frac{1}{[T]} = [T^{-1}] \quad (5.9)$$

$$\text{In natürlichen Einheiten: } [H_0] = [E] \quad \checkmark \quad (5.10)$$

**5.2 Zeitfeld-induzierte Rotverschiebung****5.2.1 Energieverlust-Mechanismus**

Im T0-Modell verlieren Photonen Energie durch Wechselwirkung mit dem Zeitfeld, während sie sich durch den Raum ausbreiten. Dieser Mechanismus bietet eine natürliche Erklärung für die kosmologische Rotverschiebung, ohne Raumexpansion zu erfordern.

Die Energieverlustrate wird gegeben durch:

$$\frac{dE_\gamma}{dr} = -g_T \omega^2 \frac{2G}{r^2} \quad (5.11)$$

wobei:

- $E_\gamma$ : Photonenenergie
- $r$ : Komoviale Distanz

- $g_T$ : Zeitfeld-Kopplungskonstante
- $\omega = E_\gamma$ : Photonenfrequenz (in natürlichen Einheiten)
- $G$ : Gravitationskonstante

**Dimensionsanalyse:**

$$\left[ \frac{dE_\gamma}{dr} \right] = \frac{[E]}{[L]} = \frac{[E]}{[E^{-1}]} = [E^2] \quad (5.12)$$

$$[g_T] = [1] \quad (\text{dimensionslose Kopplung}) \quad (5.13)$$

$$[\omega^2] = [E^2] \quad (5.14)$$

$$\left[ \frac{2G}{r^2} \right] = \frac{[E^{-2}]}{[E^{-2}]} = [1] \quad (5.15)$$

$$\left[ g_T \omega^2 \frac{2G}{r^2} \right] = [1] \cdot [E^2] \cdot [1] = [E^2] \quad \checkmark \quad (5.16)$$

### 5.2.2 Energieverlustrate mit geometrischem Parameter

Mit dem exakten geometrischen Parameter  $\xi = \frac{4}{3} \times 10^{-4}$  wird die Energieverlustrate zu:

$$\boxed{\frac{dE_\gamma}{dr} = -\xi \frac{E_\gamma^2}{E_{\text{field}} \cdot r} = -\frac{4}{3} \times 10^{-4} \frac{E_\gamma^2}{E_{\text{field}} \cdot r}} \quad (5.17)$$

wobei  $E_{\text{field}}$  die charakteristische Energie des Hintergrund-Zeitfelds ist.

**Dimensionale Überprüfung:**

$$[\xi] = [1] \quad (\text{dimensionsloser geometrischer Parameter}) \quad (5.18)$$

$$[E_\gamma^2] = [E^2] \quad (5.19)$$

$$[E_{\text{field}}] = [E] \quad (5.20)$$

$$[r] = [L] \quad (5.21)$$

$$\left[ \frac{E_\gamma^2}{E_{\text{field}} \cdot r} \right] = \frac{[E^2]}{[E] \cdot [L]} = \frac{[E]}{[L]} \quad (5.22)$$

$$\left[ \frac{dE_\gamma}{dr} \right] = \frac{[E]}{[L]} \quad (5.23)$$

**Dimensionale Überprüfung:**

$$\left[ \frac{E_\gamma^2}{E_{\text{field}} \cdot r} \right] = \frac{[E^2]}{[E] \cdot [E^{-1}]} = \frac{[E^2]}{[1]} = [E^2] \quad (5.24)$$

$$\left[ \frac{dE_\gamma}{dr} \right] = [1] \cdot [E^2] = [E^2] \quad \checkmark \quad (5.25)$$

### 5.2.3 Integration über kosmische Distanzen

Für kleine Energieverluste (typisch für beobachtbare Distanzen) können wir die Energieverlustgleichung integrieren:

$$\frac{dE_\gamma}{E_\gamma^2} = -\xi \frac{dr}{E_{\text{field}} \cdot r} \quad (5.26)$$

Integration beider Seiten:

$$\int_{E_{\gamma,0}}^{E_\gamma(r)} \frac{dE_\gamma}{E_\gamma^2} = -\xi \int_0^r \frac{dr'}{E_{\text{field}} \cdot r'} \quad (5.27)$$

**Linke Seite:**

$$\left[ -\frac{1}{E_\gamma} \right]_{E_{\gamma,0}}^{E_\gamma(r)} = -\frac{1}{E_\gamma(r)} + \frac{1}{E_{\gamma,0}} = \frac{1}{E_{\gamma,0}} - \frac{1}{E_\gamma(r)} \quad (5.28)$$

**Rechte Seite:**

$$-\xi \int_0^r \frac{dr'}{E_{\text{field}} \cdot r'} = -\frac{\xi}{E_{\text{field}}} \ln \left( \frac{r}{r_0} \right) \quad (5.29)$$

wobei  $r_0$  eine Referenzdistanz ist.

**Kombiniertes Ergebnis:**

$$\frac{1}{E_{\gamma,0}} - \frac{1}{E_\gamma(r)} = -\frac{\xi}{E_{\text{field}}} \ln \left( \frac{r}{r_0} \right) \quad (5.30)$$

Für kleine Korrekturen ( $\xi \ll 1$ ) kann dies approximiert werden als:

$$E_\gamma(r) \approx E_{\gamma,0} \left( 1 - \xi \frac{E_{\gamma,0}}{E_{\text{field}}} \ln \left( \frac{r}{r_0} \right) \right) \quad (5.31)$$

**Dimensionsanalyse:**

$$\left[ \frac{1}{E_\gamma} \right] = \frac{1}{[E]} = [E^{-1}] \quad (5.32)$$

$$\left[ \frac{\xi}{E_{\text{field}}} \right] = \frac{[1]}{[E]} = [E^{-1}] \quad (5.33)$$

$$\left[ \ln \left( \frac{r}{r_0} \right) \right] = \ln \left( \frac{[L]}{[L]} \right) = \ln([1]) = [1] \quad (5.34)$$

$$\left[ \frac{\xi}{E_{\text{field}}} \ln \left( \frac{r}{r_0} \right) \right] = [E^{-1}] \cdot [1] = [E^{-1}] \quad \checkmark \quad (5.35)$$

### 5.2.4 Hubble-artige Beziehung

Dies führt zur beobachteten Hubble-Beziehung durch die Rotverschiebungsdefinition:

$$z = \frac{\lambda_{\text{beobachtet}} - \lambda_{\text{emittiert}}}{\lambda_{\text{emittiert}}} = \frac{E_{\text{emittiert}} - E_{\text{beobachtet}}}{E_{\text{beobachtet}}} \quad (5.36)$$

Für kleine Rotverschiebungen:

$$z \approx \frac{E_{\gamma,0} - E_{\gamma}(r)}{E_{\gamma}(r)} \approx \xi \frac{E_{\gamma,0}}{E_{\text{field}}} \ln \left( \frac{r}{r_0} \right) \quad (5.37)$$

Für nahe Distanzen, wo  $\ln(r/r_0) \approx r/r_0 - 1$ :

$$z \approx \xi \frac{E_{\gamma,0}}{E_{\text{field}}} \frac{r}{r_0} = H_0 \frac{r}{c} \quad (5.38)$$

wobei der effektive Hubble-Parameter ist:

$$H_0 = \xi \frac{E_{\gamma,0}}{E_{\text{field}}} \frac{c}{r_0} \quad (5.39)$$

**Dimensionsanalyse:**

$$[z] = \frac{[E] - [E]}{[E]} = \frac{[E]}{[E]} = [1] \quad (5.40)$$

$$\left[ \xi \frac{E_{\gamma,0}}{E_{\text{field}}} \right] = [1] \cdot \frac{[E]}{[E]} = [1] \quad (5.41)$$

$$\left[ \frac{r}{r_0} \right] = \frac{[L]}{[L]} = [1] \quad (5.42)$$

$$[H_0] = \frac{[1]}{[T]} = [T^{-1}] = [E] \quad (\text{in natürlichen Einheiten}) \quad \checkmark \quad (5.43)$$

## 5.3 Wellenlängenabhängige Rotverschiebung

### 5.3.1 T0-Vorhersage der Wellenlängenabhängigkeit

Im Gegensatz zur Standardkosmologie sagt das T0-Modell eine wellenlängenabhängige Rotverschiebung aufgrund der energieabhängigen Kopplung von Photonen an das Zeitfeld voraus.

Die Energieverlustrate hängt von der Photonenenergie ab:

$$\frac{dE_{\gamma}}{dr} = -\xi \frac{E_{\gamma}^2}{E_{\text{field}} \cdot r} \quad (5.44)$$

Da  $E_{\gamma} = hc/\lambda$  (oder  $E_{\gamma} = 1/\lambda$  in natürlichen Einheiten), haben wir:

$$\frac{d(1/\lambda)}{dr} = -\xi \frac{(1/\lambda)^2}{E_{\text{field}} \cdot r} \quad (5.45)$$

Umgestellt:

$$\frac{d\lambda}{dr} = \xi \frac{\lambda^2}{E_{\text{field}} \cdot r \cdot \lambda^2} = \xi \frac{1}{E_{\text{field}} \cdot r} \quad (5.46)$$

**Dimensionsanalyse:**

$$\left[ \frac{d\lambda}{dr} \right] = \frac{[L]}{[L]} = [1] \quad (5.47)$$

$$\left[ \frac{1}{E_{\text{field}} \cdot r} \right] = \frac{1}{[E] \cdot [L]} = \frac{1}{[E] \cdot [E^{-1}]} = \frac{1}{[1]} = [1] \quad \checkmark \quad (5.48)$$

**Dimensionale Überprüfung:**

$$\left[ \frac{\lambda^2 \cdot E_{\text{field}}}{r} \right] = \frac{[L^2] \cdot [E]}{[L]} = \frac{[E^{-2}] \cdot [E]}{[E^{-1}]} = \frac{[E^{-1}]}{[E^{-1}]} = [1] \quad \checkmark \quad (5.49)$$

### 5.3.2 Wellenlängenabhängige Rotverschiebungsformel

Integration der wellenlängenabhängigen Energieverlustgleichung:

$$\int_{\lambda_0}^{\lambda(r)} \frac{d\lambda'}{\lambda'^2} = \xi E_{\text{field}} \int_0^r \frac{dr'}{r'} \quad (5.50)$$

**Linke Seite:**

$$\left[ -\frac{1}{\lambda'} \right]_{\lambda_0}^{\lambda(r)} = -\frac{1}{\lambda(r)} + \frac{1}{\lambda_0} = \frac{1}{\lambda_0} - \frac{1}{\lambda(r)} \quad (5.51)$$

**Rechte Seite:**

$$\xi E_{\text{field}} \int_0^r \frac{dr'}{r'} = \xi E_{\text{field}} \ln \left( \frac{r}{r_0} \right) \quad (5.52)$$

**Kombiniert:**

$$\frac{1}{\lambda_0} - \frac{1}{\lambda(r)} = \xi E_{\text{field}} \ln \left( \frac{r}{r_0} \right) \quad (5.53)$$

Für kleine Korrekturen:

$$\lambda(r) \approx \lambda_0 \left( 1 + \xi E_{\text{field}} \lambda_0 \ln \left( \frac{r}{r_0} \right) \right) \quad (5.54)$$

Die Rotverschiebung wird:

$$z(\lambda) = \frac{\lambda(r) - \lambda_0}{\lambda_0} \approx \xi E_{\text{field}} \lambda_0 \ln \left( \frac{r}{r_0} \right) \quad (5.55)$$

Da  $\lambda_0 \propto 1/E_{\gamma,0}$ , können wir schreiben:

$$\boxed{z(\lambda) = z_0 \left( 1 - \alpha \ln \frac{\lambda}{\lambda_0} \right)} \quad (5.56)$$

wobei  $z_0$  die Referenz-Rotverschiebung und  $\alpha$  ein dimensionsloser Parameter ist, der mit  $\xi$  zusammenhängt.

**Dimensionsanalyse:**

$$[z(\lambda)] = [1] \quad (5.57)$$

$$[z_0] = [1] \quad (5.58)$$

$$[\alpha] = [1] \quad (5.59)$$

$$\left[ \ln \frac{\lambda}{\lambda_0} \right] = \ln \left( \frac{[L]}{[L]} \right) = \ln([1]) = [1] \quad (5.60)$$

$$\left[ z_0 \left( 1 - \alpha \ln \frac{\lambda}{\lambda_0} \right) \right] = [1] \cdot ([1] - [1] \cdot [1]) = [1] \quad \checkmark \quad (5.61)$$

### 5.3.3 Physikalische Interpretation

Die Wellenlängenabhängigkeit hat eine klare physikalische Bedeutung, die auf der energieabhängigen Kopplung basiert:

- **Blaues Licht** ( $\lambda < \lambda_0$ ):  $\ln(\lambda/\lambda_0) < 0 \Rightarrow z > z_0$  (verstärkte Rotverschiebung)
- **Rotes Licht** ( $\lambda > \lambda_0$ ):  $\ln(\lambda/\lambda_0) > 0 \Rightarrow z < z_0$  (reduzierte Rotverschiebung)

Dies spiegelt korrekt den Energieverlustmechanismus wider: Photonen höherer Energie (kürzere Wellenlängen) wechselwirken stärker mit Zeitfeldgradienten und erfahren einen größeren Energieverlust.

### 5.3.4 Experimentelle Signatur

Die T0-Formel sagt eine logarithmische Wellenlängenabhängigkeit mit Steigung  $-\alpha z_0$  voraus:

$$\frac{dz}{d \ln \lambda} = -\alpha z_0 \quad (5.62)$$

Dies bietet einen charakteristischen Test, um das T0-Modell von Standardkosmologie-Modellen zu unterscheiden, die keine Wellenlängenabhängigkeit vorhersagen ( $dz/d \ln \lambda = 0$ ).

**Dimensionsanalyse:**

$$\left[ \frac{dz}{d \ln \lambda} \right] = \frac{[1]}{[1]} = [1] \quad (5.63)$$

$$[\alpha z_0] = [1] \cdot [1] = [1] \quad \checkmark \quad (5.64)$$

## 5.4 Modifizierte Gravitationsdynamik

### 5.4.1 Modifiziertes Gravitationspotential

Das T0-Modell sagt ein modifiziertes Gravitationspotential voraus, das natürlich Dunkle-Materie-Phänomene erklärt, ohne unsichtbare Materie zu benötigen:

$$\Phi(r) = -\frac{GM}{r} + \frac{1}{2}\Lambda r^2 \quad (5.65)$$

wobei  $\Lambda$  die kosmologische Konstante mit Dimension  $[L^{-2}]$  ist und  $M$  die Masse des gravitierenden Objekts.

**Dimensionsanalyse:**

$$[\Phi(r)] = [L^2 T^{-2}] \quad (\text{Gravitationspotential}) \quad (5.66)$$

$$\left[ \frac{GM}{r} \right] = \frac{[L^3 T^{-2} M^{-1}] \cdot [M]}{[L]} = [L^2 T^{-2}] \quad (5.67)$$

$$\left[ \frac{1}{2}\Lambda r^2 \right] = [L^{-2}] \cdot [L^2] = [1] \cdot [L^2 T^{-2}] \cdot [1] = [L^2 T^{-2}] \quad (5.68)$$

In natürlichen Einheiten ( $c = G = 1$ ):

$$[\Phi(r)] = [1] \quad (5.69)$$

$$\left[ \frac{GM}{r} \right] = \frac{[1] \cdot [E]}{[E^{-1}]} = [1] \quad (5.70)$$

$$\left[ \frac{1}{2} \Lambda r^2 \right] = [E^2] \cdot [E^{-2}] = [1] \quad (5.71)$$

wobei  $\Lambda$  in natürlichen Einheiten die Dimension  $[E^2]$  hat.

### 5.4.2 Galaxie-Rotationskurven

Das modifizierte Potenzial erklärt natürlich flache Galaxie-Rotationskurven ohne Dunkle Materie:

$$v_{\text{rotation}}^2 = r \frac{d\Phi}{dr} = \frac{GE_{\text{total}}}{r} + \Lambda r^2 \quad (5.72)$$

**Dimensionsanalyse:**

$$[v_{\text{rotation}}^2] = [1] \quad (\text{Geschwindigkeit im Quadrat in natürlichen Einheiten}) \quad (5.73)$$

$$\left[ \frac{GE_{\text{total}}}{r} \right] = \frac{[E^{-2}][E]}{[E^{-1}]} = [1] \quad (5.74)$$

$$[\Lambda r^2] = [\Lambda] \cdot [E^{-2}] = [1] \quad (5.75)$$

Dies erfordert, dass  $[\Lambda] = [E^2]$  ist.

Für große Radien, wo der zweite Term dominiert:

$$v_{\text{rotation}} \approx \sqrt{\Lambda} \cdot r \quad (5.76)$$

Für mittlere Radien, wo beide Terme vergleichbar sind, ergibt sich eine annähernd konstante Rotationsgeschwindigkeit, die den beobachteten flachen Rotationskurven entspricht, als natürliche Konsequenz der T0-Feldgeometrie.

## 5.5 Lösung kosmologischer Probleme

### 5.5.1 Lösung der Hubble-Spannung

Die Hubble-Spannung entsteht durch die Messung verschiedener physikalischer Größen in der T0-Interpretation:

**CMB-basierte Messungen (Planck):**

$$H_0^{\text{Planck}} = 67,4 \pm 0,5 \text{ km/s/Mpc} \quad (5.77)$$

**Entfernungsleiter-Messungen (SH0ES):**

$$H_0^{\text{SH0ES}} = 73,0 \pm 1,4 \text{ km/s/Mpc} \quad (5.78)$$

**T0-Erklärung:** Im T0-Modell gibt es keine echte "Hubble-Konstante", da das Universum statisch ist. Die beobachteten "Hubble-Parameter" sind Artefakte verschiedener Energieverlustmechanismen:

- **CMB-basiert:** Misst die Zeitfelddichte in der Rekombinationsepoche
- **Lokaler Entfernungsleiter:** Misst aktuelle Photonenenergieverlusten

Die Diskrepanz entsteht durch die zeitliche Evolution der Zeitfeldeigenschaften:

$$H_0^{\text{apparent}}(z) = H_0^{\text{local}} \cdot f(z, \xi, E_{\text{field}}(z)) \quad (5.79)$$

wobei  $f$  die Evolution des Hintergrund-Energiefelds berücksichtigt.

**Dimensionsanalyse:**

$$[H_0^{\text{apparent}}(z)] = [E] \quad (\text{in natürlichen Einheiten}) \quad (5.80)$$

$$[H_0^{\text{local}}] = [E] \quad (5.81)$$

$$[f(z, \xi, E_{\text{field}}(z))] = [1] \quad (\text{dimensionslose Funktion}) \quad (5.82)$$

$$[H_0^{\text{apparent}}(z)] = [E] \cdot [1] = [E] \quad \checkmark \quad (5.83)$$

### 5.5.2 Eliminierung der Dunklen Energie

Die Standardkosmologie erfordert "Dunkle Energie" (68% des Universums), um die scheinbare beschleunigte Expansion zu erklären. Im T0-Modell ist die "Dunkle Energie" ein Messartefakt.

**Standardkosmologie:**

$$\ddot{a} = -\frac{4\pi G}{3}(\rho + 3p)a + \frac{\Lambda}{3}a \quad (5.84)$$

wobei  $\Lambda$  die kosmologische Konstante ist, die Dunkle Energie repräsentiert.

**T0-Erklärung:** Die scheinbare Beschleunigung entsteht durch:

1. **Energieabhängige Rotverschiebung:** Photonen höherer Energie zeigen verstärkte Rotverschiebung
2. **Zeitfeldevolution:** Sich änderndes Hintergrundfeld beeinflusst entfernte Beobachtungen
3. **Selektionseffekte:** Energieabhängige Detektionsverzerrungen in Supernova-Durchmusterungen

Keine exotische abstoßende Energie wird benötigt. Die beobachtete Beschleunigung ist ein Artefakt des energieabhängigen Rotverschiebungsmechanismus.

**Dimensionsanalyse:**

$$[\ddot{a}] = \frac{[L]}{[T^2]} = \frac{[E^{-1}]}{[E^{-2}]} = [E] \quad (5.85)$$

$$\left[ \frac{4\pi G}{3}(\rho + 3p)a \right] = [E^{-2}] \cdot [E^4] \cdot [E^{-1}] = [E] \quad (5.86)$$

$$\left[ \frac{\Lambda}{3}a \right] = [E^2] \cdot [E^{-1}] = [E] \quad \checkmark \quad (5.87)$$



## 5.6 CMB-Temperaturevolution

### 5.6.1 Modifizierte Temperatur-Rotverschiebungs-Beziehung

Das T0-Modell sagt eine modifizierte CMB-Temperaturevolution aufgrund energieabhängiger Rotverschiebung voraus:

$$\boxed{T(z) = T_0(1+z)(1+\beta \ln(1+z))} \quad (5.88)$$

wobei der logarithmische Term aus der Zeitfelddynamik entsteht und  $\beta$  ein Parameter ist, der mit  $\xi$  zusammenhängt.

**Dimensionsanalyse:**

$$[T(z)] = [E] \quad (\text{Temperatur hat Energiedimension}) \quad (5.89)$$

$$[T_0] = [E] \quad (5.90)$$

$$[(1+z)] = [1] + [1] = [1] \quad (5.91)$$

$$[\beta] = [1] \quad (\text{dimensionsloser Parameter}) \quad (5.92)$$

$$[\ln(1+z)] = \ln([1]) = [1] \quad (5.93)$$

$$[T_0(1+z)(1+\beta \ln(1+z))] = [E] \cdot [1] \cdot ([1] + [1] \cdot [1]) = [E] \quad \checkmark \quad (5.94)$$

### 5.6.2 Vorhersagen für hohe Rotverschiebung

Bei der Rekombination ( $z \approx 1100$ ):

**Standardmodell:**

$$T_{\text{CMB}}(z = 1100) = T_0(1 + 1100) = 2,725 \times 1101 = 3.000 \text{ K} \quad (5.95)$$

**T0-Modell:**

$$T_{\text{CMB}}(z = 1100) = T_0 \cdot 1101 \cdot (1 + \beta \ln(1101)) \quad (5.96)$$

Mit  $\beta \approx 0,1$  (geschätzt aus  $\xi$ ):

$$T_{\text{CMB}}(z = 1100) = 2,725 \times 1101 \times (1 + 0,1 \times 7,0) = 3.000 \times 1,7 = 5.100 \text{ K} \quad (5.97)$$

Dieser dramatische Unterschied bietet einen klaren experimentellen Test des T0-Rahmens.

**Dimensionsanalyse:**

$$[T_{\text{CMB}}(z = 1100)] = [E] \quad \checkmark \quad (5.98)$$

$$[T_0 \cdot 1101 \cdot (1 + \beta \ln(1101))] = [E] \cdot [1] \cdot [1] = [E] \quad \checkmark \quad (5.99)$$

## 5.7 Statisches Universums-Modell

### 5.7.1 Keine räumliche Expansion

Das T0-Modell beschreibt ein statisches Universum, in dem:

- **Keine Raumexpansion:** Raumzeitgeometrie bleibt auf großen Skalen konstant

- **Energieverlust-Rotverschiebung:** Photonen verlieren Energie durch Zeitfeld-Wechselwirkungen
- **Modifizierte Strukturbildung:** Gravitationsclusterung mit T0-Korrekturen
- **Natürliches Alter:** Universumsalter aus Energiefeldevolution, nicht aus Expansion

**Metrik:**

$$ds^2 = -dt^2 + a^2(t)[dr^2 + r^2(d\theta^2 + \sin^2\theta d\phi^2)] \quad (5.100)$$

Im statischen T0-Modell:  $a(t) = \text{konstant}$

**Dimensionsanalyse:**

$$[ds^2] = [L^2] = [E^{-2}] \quad (5.101)$$

$$[dt^2] = [T^2] = [E^{-2}] \quad (5.102)$$

$$[a^2] = [1] \quad (\text{dimensionsloser Skalenfaktor}) \quad (5.103)$$

$$[dr^2] = [L^2] = [E^{-2}] \quad (5.104)$$

$$[r^2 d\theta^2] = [L^2] \cdot [1] = [E^{-2}] \quad (5.105)$$

$$[ds^2] = [E^{-2}] \quad \checkmark \quad (5.106)$$

### 5.7.2 Vorteile des statischen Modells

Das statische Universums-Modell eliminiert viele kosmologische Probleme:

1. **Kein Horizontproblem:** Das gesamte Universum war immer kausal verbunden
2. **Kein Flachheitsproblem:** Keine Feinabstimmung der Anfangsbedingungen erforderlich
3. **Kein Monopolproblem:** Keine inflationäre Verdünnung nötig
4. **Keine Dunkle Energie:** Scheinbare Beschleunigung durch Energieverlust erklärt
5. **Vereinheitlichte Physik:** Dieselben Feldgleichungen gelten auf allen Skalen

**Kausale Struktur:** In einem statischen Universum ist der Teilchenhorizont:

$$r_H = \int_0^t c dt' = ct \quad (5.107)$$

wobei  $t$  das Alter des Universums ist.

**Dimensionsanalyse:**

$$[r_H] = [c][t] = [1] \cdot [E^{-1}] = [E^{-1}] = [L] \quad \checkmark \quad (5.108)$$

## 5.8 Experimentelle Tests und Vorhersagen

### 5.8.1 Wellenlängenabhängige Rotverschiebung

Die markanteste T0-Vorhersage ist die wellenlängenabhängige Rotverschiebung:

$$z(\lambda) = z_0 \left( 1 - \alpha \ln \frac{\lambda}{\lambda_0} \right) \quad (5.109)$$

**Experimenteller Test:** Messung der Rotverschiebung desselben astronomischen Objekts bei verschiedenen Wellenlängen. T0 sagt systematische Variationen voraus, während die Standardkosmologie identische Rotverschiebungen vorhersagt.

**Erwartetes Signal:** Für einen Quasar bei  $z_0 = 2$ :

$$z(\text{blau}) = 2,0 \times (1 - 0,1 \times \ln(0,5)) = 2,0 \times (1 + 0,069) = 2,14 \quad (5.110)$$

$$z(\text{rot}) = 2,0 \times (1 - 0,1 \times \ln(2,0)) = 2,0 \times (1 - 0,069) = 1,86 \quad (5.111)$$

**Dimensionsanalyse:**

$$[z(\text{blau})] = [1] \quad (5.112)$$

$$[z(\text{rot})] = [1] \quad \checkmark \quad (5.113)$$

### 5.8.2 CMB-Frequenzabhängigkeit

Verschiedene CMB-Frequenzbänder sollten unterschiedliche effektive Rotverschiebungen zeigen:

$$\Delta z = \xi \ln \frac{\nu_1}{\nu_2} \quad (5.114)$$

Dies bietet einen Präzisionstest mit existierenden CMB-Daten.

**Vorhersage:** Für Planck-Frequenzbänder:

$$\Delta z_{30-353} = \frac{4}{3} \times 10^{-4} \times \ln \frac{353}{30} = 1,33 \times 10^{-4} \times 2,46 = 3,3 \times 10^{-4} \quad (5.115)$$

**Dimensionsanalyse:**

$$[\Delta z] = [1] \quad (5.116)$$

$$[\xi] = [1] \quad (5.117)$$

$$\left[ \ln \frac{\nu_1}{\nu_2} \right] = \ln \left( \frac{[E]}{[E]} \right) = \ln([1]) = [1] \quad (5.118)$$

$$[\Delta z] = [1] \times [1] = [1] \quad \checkmark \quad (5.119)$$

### 5.8.3 Modifizierte Galaxiendynamik

Galaxie-Rotationskurven sollten folgen:

$$v(r) = \sqrt{\frac{GE_{\text{total}}}{r} + \Lambda r^2} \quad (5.120)$$

Dies sagt spezifische Abweichungen sowohl von Newton'schen als auch von Dunkle-Materie-Modellen voraus.

**Dimensionsanalyse:**

$$[v(r)] = [1] \quad (\text{Geschwindigkeit in natürlichen Einheiten}) \quad (5.121)$$

$$\left[ \sqrt{\frac{GE_{\text{total}}}{r}} \right] = \sqrt{\frac{[E^{-2}][E]}{[E^{-1}]} = \sqrt{[1]} = [1]} \quad (5.122)$$

$$[\sqrt{\Lambda r^2}] = \sqrt{[\Lambda][E^{-2}]} = [1] \quad (5.123)$$

Dies erfordert, dass  $[\Lambda] = [E^2]$  ist, damit  $[\Lambda r^2] = [E^2][E^{-2}] = [1]$  (dimensionslos).

Die korrekte Form ist somit:

$$v(r) = \sqrt{\frac{GE_{\text{total}}}{r} + \Lambda r^2} \quad (5.124)$$

wobei  $\Lambda$  eine kosmologische Konstante mit der Dimension  $[E^2]$  ist.

## 5.9 Schlussfolgerung: Ein neues kosmologisches Paradigma

Das T0-Modell präsentiert eine umfassende Alternative zur Standardkosmologie, indem es das expandierende Universum durch ein statisches Rahmenwerk ersetzt, in dem Rotverschiebung durch Energieverlust über Zeitfeld-Wechselwirkungen entsteht.

**Wesentliche Merkmale:**

- **Statisches Universum:** Keine Raumexpansion erforderlich
- **Energieverlust-Rotverschiebung:** Natürliche Erklärung des Hubble-Gesetzes
- **Modifizierte Gravitation:** Dunkle-Materie-Effekte aus Feldgeometrie
- **Keine Dunkle Energie:** Scheinbare Beschleunigung durch energieabhängige Rotverschiebung
- **Vereinheitlichter Rahmen:** Gleiche Physik auf allen Skalen
- **Planck-Referenz:** Klare Verbindung zur etablierten Quantengravitation

**Experimentelle Signaturen:**

1. **Wellenlängenabhängige Rotverschiebung:**  $z(\lambda) = z_0(1 - \alpha \ln(\lambda/\lambda_0))$
2. **Modifizierte CMB-Temperaturevolution:**  $T(z) = T_0(1 + z)(1 + \beta \ln(1 + z))$
3. **Galaxie-Rotationskurven:** Ohne Dunkle Materie, mit modifiziertem Potenzial
4. **Hubble-Spannungsauflösung:** Statische Universums-Interpretation

**Theoretische Vorteile:**

- Eliminiert Horizont-, Flachheits- und Monopolprobleme
- Keine Feinabstimmung der Anfangsbedingungen
- Natürliche Erklärung des kosmischen Alters
- Vereinheitlichte Beschreibung von Quanten- bis kosmischen Skalen

Die Verwendung konsistenter Energiefeldnotation, des exakten geometrischen Parameters  $\xi = \frac{4}{3} \times 10^{-4}$  und der T0-Zeitskala  $t_0 = 2GE$  mit Planck-Referenz bietet eine mathematisch rigorose Grundlage für kosmologische Anwendungen.

Dieses neue Paradigma bietet testbare Vorhersagen, die definitiv zwischen expandierenden und statischen Universums-Modellen unterscheiden können, eröffnet neue Wege für die Beobachtungskosmologie und bietet Lösungen für mehrere ausstehende Probleme in der Standardkosmologie.

# Kapitel 6

## Jenseits der Wahrscheinlichkeiten: Die deterministische Seele der Quantenwelt

### 6.1 Das Ende des Quantenmystizismus

#### 6.1.1 Probleme der Standard-Quantenmechanik

Die Standard-Quantenmechanik leidet unter fundamentalen konzeptionellen Problemen, die Physiker seit über einem Jahrhundert beschäftigen:

##### Probleme der Standard-QM

##### Wahrscheinlichkeitsbasierte Grundlagenprobleme:

- **Wellenfunktion:**  $\psi = \alpha|\uparrow\rangle + \beta|\downarrow\rangle$  (mysteriöse Überlagerung)
- **Wahrscheinlichkeiten:**  $P(\uparrow) = |\alpha|^2$  (nur statistische Vorhersagen)
- **Kollaps:** Nicht-unitärer Messprozess"
- **Interpretationschaos:** Kopenhagen vs. Viele-Welten vs. andere
- **Einzelmessungen:** Grundsätzlich unvorhersagbar
- **Beobachterabhängigkeit:** Realität hängt von der Messung ab

#### 6.1.2 T0-Energiefeld-Lösung

Das T0-Rahmenwerk bietet eine vollständige Lösung durch deterministische Energiefelder:

## T0 Deterministische Grundlage

**Deterministische Energiefeld-Physik:**

- **Universelles Feld:**  $E_{\text{field}}(x, t)$  (einzelnes Energiefeld für alle Phänomene)
- **Feldgleichung:**  $\partial^2 E_{\text{field}} = 0$  (deterministische Evolution)
- **Geometrischer Parameter:**  $\xi = \frac{4}{3} \times 10^{-4}$  (exakte Konstante)
- **Keine Wahrscheinlichkeiten:** Nur Energiefeldverhältnisse
- **Kein Kollaps:** Kontinuierliche deterministische Entwicklung
- **Einzelne Realität:** Keine Interpretationsprobleme

## 6.2 Die universelle Energiefeld-Gleichung

### 6.2.1 Fundamentale Dynamik

Aus der T0-Revolution reduziert sich die gesamte Physik auf:

$$\boxed{\partial^2 E_{\text{field}} = 0} \quad (6.1)$$

Diese Klein-Gordon-Gleichung für Energie beschreibt ALLE Teilchen und Felder deterministisch.

**Dimensionale Überprüfung:**

$$[\partial^2 E_{\text{field}}] = [E^2] \cdot [E] = [E^3] = 0 \quad \checkmark \quad (6.2)$$

### 6.2.2 Wellenfunktion als Energiefeld

Die quantenmechanische Wellenfunktion wird mit Energiefeldanregungen identifiziert:

$$\psi(x, t) = \sqrt{\frac{\delta E(x, t)}{E_0}} \cdot e^{i\phi(x, t)} \quad (6.3)$$

wobei:

- $\delta E(x, t)$ : Lokale Energiefeld-Fluktuation
- $E_0$ : Charakteristische Energieskala
- $\phi(x, t)$ : Phase, bestimmt durch T0-Zeitfelddynamik

**Dimensionale Überprüfung:**

$$[\psi] = \sqrt{\frac{[E]}{[E]}} = [1] \quad (\text{korrekt normiert}) \quad (6.4)$$

## 6.3 Von Wahrscheinlichkeitsamplituden zu Energiefeldverhältnissen

### 6.3.1 Standard vs. T0-Darstellung

Standard-QM:

$$|\psi\rangle = \sum_i c_i |i\rangle \quad \text{mit} \quad P_i = |c_i|^2 \quad (6.5)$$

T0 Deterministisch:

$$\text{Zustand} \equiv \{E_i(x, t)\} \quad \text{mit Verhältnissen} \quad R_i = \frac{E_i}{\sum_j E_j} \quad (6.6)$$

Die zentrale Erkenntnis: Quantenmechanische "Wahrscheinlichkeiten" sind tatsächlich deterministische Energiefeldverhältnisse.

**Dimensionale Überprüfung:**

$$[R_i] = \frac{[E]}{[E]} = [1] \quad \checkmark \quad (6.7)$$

### 6.3.2 Deterministische Einzelmessungen

Im Gegensatz zur Standard-QM sagt die T0-Theorie Einzelmessungsergebnisse vorher:

$$\text{Messergebnis} = \arg \max_i \{E_i(x_{\text{detector}}, t_{\text{measurement}})\} \quad (6.8)$$

Das Ergebnis wird durch die Energiefeldkonfiguration bestimmt, die am Ort und zur Zeit der Messung am stärksten ist.

**Physikalische Interpretation:** Der Detektor wechselwirkt mit der Energiefeldkonfiguration, die am Raum-Zeit-Punkt der Messung die höchste Amplitude aufweist. Dies eliminiert das Messproblem vollständig.

## 6.4 Deterministische Verschränkung

### 6.4.1 Energiefeld-Korrelationen

Bell-Zustände werden zu korrelierten Energiefeldstrukturen:

$$E_{12}(x_1, x_2, t) = E_1(x_1, t) + E_2(x_2, t) + E_{\text{corr}}(x_1, x_2, t) \quad (6.9)$$

Der Korrelationsterm  $E_{\text{corr}}$  stellt sicher, dass Messungen an Teilchen 1 sofort die Energiefeldkonfiguration um Teilchen 2 bestimmen.

**Dimensionale Überprüfung:**

$$[E_{12}] = [E] + [E] + [E] = [E] \quad \checkmark \quad (6.10)$$

**Singulett-Zustandsdarstellung:**

$$|\psi^-\rangle = \frac{1}{\sqrt{2}}(|01\rangle - |10\rangle) \rightarrow \frac{1}{\sqrt{2}}[E_0(x_1)E_1(x_2) - E_1(x_1)E_0(x_2)] \quad (6.11)$$



**Feld-Korrelationsfunktion:**

$$C(x_1, x_2) = \langle E(x_1, t)E(x_2, t) \rangle - \langle E(x_1, t) \rangle \langle E(x_2, t) \rangle \quad (6.12)$$

Für verschränkte Zustände:  $C(x_1, x_2) \neq 0$  für beliebige Trennung, was die Korrelation ohne  $\beta$ pukhafte Fernwirkung liefert.

**6.4.2 Modifizierte Bell-Ungleichungen**

Das T0-Modell sagt leichte Modifikationen der Bell-Ungleichungen voraus:

$$|E(a, b) - E(a, c)| + |E(a', b) + E(a', c)| \leq 2 + \varepsilon_{T0} \quad (6.13)$$

wobei der T0-Korrekturterm ist:

$$\varepsilon_{T0} = \xi \cdot \frac{2G\langle E \rangle}{r_{12}} \approx 10^{-34} \quad (6.14)$$

Diese Korrektur ist extrem klein, bietet aber einen Präzisionstest für deterministische vs. probabilistische Quantenmechanik.

**Dimensionale Überprüfung:**

$$[\varepsilon_{T0}] = [1] \cdot \frac{[E^{-2}][E]}{[L]} = \frac{[E^{-1}]}{[L]} = \frac{[E^{-1}]}{[E^{-1}]} = [1] \quad \checkmark \quad (6.15)$$

**6.5 Die modifizierte Schrödinger-Gleichung****6.5.1 Zeitfeld-Kopplung**

Die Schrödinger-Gleichung wird durch T0-Zeitfelddynamik modifiziert:

$$\boxed{i\hbar \frac{\partial \psi}{\partial t} + i\psi \left[ \frac{\partial T_{\text{field}}}{\partial t} + \vec{v} \cdot \nabla T_{\text{field}} \right] = \hat{H}\psi} \quad (6.16)$$

wobei  $T_{\text{field}}(x, t) = t_0 \cdot f(E_{\text{field}}(x, t))$  unter Verwendung der T0-Zeitskala.

**Dimensionale Überprüfung:**

$$[i\hbar \partial_t \psi] = [E \cdot T] \cdot [T^{-1}] = [E] = [\hat{H}\psi] \quad \checkmark \quad (6.17)$$

**6.5.2 Deterministische Evolution**

Die modifizierte Gleichung hat deterministische Lösungen, bei denen das Zeitfeld als verborgene Variable fungiert, die die Wellenfunktionsentwicklung steuert. Es gibt keinen Kollaps - nur kontinuierliche deterministische Dynamik.

**Lösungsstruktur:**

$$\psi(x, t) = \psi_0(x) \exp \left( -\frac{i}{\hbar} \int_0^t [E_0 + V_{\text{eff}}(x, t')] dt' \right) \quad (6.18)$$

wobei  $V_{\text{eff}}$  Zeitfeldkorrekturen enthält.

## 6.6 Eliminierung des Messproblems

### 6.6.1 Kein Wellenfunktions-Kollaps

Im T0-Modell gibt es keinen Wellenfunktionskollaps, weil:

1. Die Wellenfunktion ist eine Energiefeldkonfiguration
2. Messung ist Energiefeldwechselwirkung zwischen System und Detektor
3. Die Wechselwirkung folgt deterministischen Feldgleichungen
4. Das Ergebnis wird durch Energiefelddynamik bestimmt

**Mess-Wechselwirkungshamiltonian:**

$$H_{\text{int}} = \xi \int E_{\text{system}}(x, t) \cdot E_{\text{detector}}(x, t) d^3x \quad (6.19)$$

**Dimensionale Überprüfung:**

$$[H_{\text{int}}] = [1] \cdot [E] \cdot [E] \cdot [L^3] = [E^2 L^3] = [E^2] \cdot [E^{-3}] = [E^{-1}] \neq [E] \quad (6.20)$$

**Korrigierte Form:**

$$H_{\text{int}} = \frac{\xi}{\ell_{\text{P}}^3} \int E_{\text{system}}(x, t) \cdot E_{\text{detector}}(x, t) d^3x \quad (6.21)$$

**Dimensionale Überprüfung:**

$$[H_{\text{int}}] = \frac{[1]}{[L^3]} \cdot [E^2 L^3] = [E^2] \neq [E] \quad (6.22)$$

**Endgültige korrekte Form:**

$$H_{\text{int}} = \frac{\xi}{E_{\text{P}}} \int \frac{E_{\text{system}}(x, t) \cdot E_{\text{detector}}(x, t)}{\ell_{\text{P}}^3} d^3x \quad (6.23)$$

**Dimensionale Überprüfung:**

$$[H_{\text{int}}] = \frac{[1]}{[E]} \cdot [E^2] = [E] \quad \checkmark \quad (6.24)$$

### 6.6.2 Beobachterunabhängige Realität

Das T0-Rahmenwerk stellt eine beobachterunabhängige Realität wieder her:

- **Energiefelder existieren unabhängig** von Beobachtung
- **Messergebnisse sind vorbestimmt** durch Feldkonfigurationen
- **Keine besondere Rolle des Bewusstseins** in der Quantenmechanik
- **Einzelne, objektive Realität** ohne multiple Welten

## 6.7 Deterministisches Quantencomputing

### 6.7.1 Qubits als Energiefeldkonfigurationen

Quantenbits werden zu Energiefeldkonfigurationen anstelle von Überlagerungen:

$$|0\rangle \rightarrow E_0(x, t) \quad (6.25)$$

$$|1\rangle \rightarrow E_1(x, t) \quad (6.26)$$

$$\alpha|0\rangle + \beta|1\rangle \rightarrow \alpha E_0(x, t) + \beta E_1(x, t) \quad (6.27)$$

Die "Überlagerung" ist tatsächlich ein spezifisches Energiefeldmuster mit deterministischer Entwicklung.

**Dimensionale Überprüfung:**

$$[\alpha E_0 + \beta E_1] = [1] \cdot [E] + [1] \cdot [E] = [E] \quad \checkmark \quad (6.28)$$

### 6.7.2 Quantengatter-Operationen

**Pauli-X-Gatter (Bit-Flip):**

$$X : E_0(x, t) \leftrightarrow E_1(x, t) \quad (6.29)$$

Dies entspricht einer Energiefeldinversion bei der charakteristischen Frequenz.

**Pauli-Y-Gatter:**

$$Y : E_0 \rightarrow iE_1, \quad E_1 \rightarrow -iE_0 \quad (6.30)$$

Die Phasenfaktoren entsprechen einer Feldrotation in der komplexen Energieebene.

**Pauli-Z-Gatter (Phasen-Flip):**

$$Z : E_0 \rightarrow E_0, \quad E_1 \rightarrow -E_1 \quad (6.31)$$

Dies repräsentiert eine Energiefeld-Vorzeichenumkehr für den angeregten Zustand.

**Hadamard-Gatter:** Das Hadamard-Gatter erzeugt eine gleichmäßige Überlagerung:

$$H : E_0(x, t) \rightarrow \frac{1}{\sqrt{2}}[E_0(x, t) + E_1(x, t)] \quad (6.32)$$

**Dimensionale Überprüfung:**

$$\left[ \frac{1}{\sqrt{2}}[E_0 + E_1] \right] = [1] \cdot [E] = [E] \quad \checkmark \quad (6.33)$$

**CNOT-Gatter (Controlled-NOT):** Das Zwei-Qubit-CNOT-Gatter wird zu einer korrelierten Energiefeldoperation:

$$\text{CNOT} : E_{12}(x_1, x_2, t) = E_1(x_1, t) \cdot f_{\text{control}}(E_2(x_2, t)) \quad (6.34)$$

wobei:

$$f_{\text{control}}(E_2) = \begin{cases} E_2 & \text{wenn } E_1 = E_0 \\ -E_2 & \text{wenn } E_1 = E_1 \end{cases} \quad (6.35)$$

### 6.7.3 Deterministische Quantenalgorithmen

**Grover-Algorithmus:** Energiefeld-Fokussierungsmechanismus, der deterministisch den Zielzustand durch Feldresonanz findet.

**Orakel-Operation:**

$$O : E_{\text{target}} \rightarrow -E_{\text{target}}, \quad E_{\text{others}} \rightarrow E_{\text{others}} \quad (6.36)$$

**Diffusionsoperation:**

$$D : E_i \rightarrow 2\langle E \rangle - E_i \quad (6.37)$$

wobei  $\langle E \rangle = \frac{1}{N} \sum_i E_i$  das durchschnittliche Energiefeld ist.

**Amplitudenverstärkung:** Nach  $k$  Iterationen:

$$E_{\text{target}}^{(k)} = E_0 \sin \left( (2k+1) \arcsin \sqrt{\frac{1}{N}} \right) \quad (6.38)$$

Dies liefert deterministische Konvergenz zum Zielzustand.

**Shor-Algorithmus:** Deterministische Energiefeld-Periodendetektion unter Verwendung von Feldinterferenzmustern.

**Quanten-Fourier-Transformation:**

$$\text{QFT} : E_j \rightarrow \frac{1}{\sqrt{N}} \sum_{k=0}^{N-1} E_k e^{2\pi i j k / N} \quad (6.39)$$

Im T0-Rahmen stellt dies eine Energiefeld-Modenzerlegung dar.

**Periodendetektion:** Die Periode  $r$  entspricht Energiefeld-Resonanzen:

$$E_{\text{resonance}}(t) = E_0 \cos \left( \frac{2\pi t}{r \cdot t_0} \right) \quad (6.40)$$

wobei  $t_0 = 2GE$  die T0-Zeitskala ist.

**Dimensionale Überprüfung:**

$$\left[ \frac{2\pi t}{r \cdot t_0} \right] = \frac{[T]}{[1] \cdot [T]} = [1] \quad \checkmark \quad (6.41)$$

**Quantenfehlerkorrektur:** Energiefeld-Stabilisierungstechniken, die kohärente Feldkonfigurationen aufrechterhalten.

## 6.8 Modifizierte Dirac-Gleichung

### 6.8.1 Zeitfeld-Kopplung in relativistischer QM

Die Dirac-Gleichung erhält T0-Korrekturen:

$$\left[ i\gamma^\mu \left( \partial_\mu + \Gamma_\mu^{(T)} \right) - E_{\text{char}}(x, t) \right] \psi = 0 \quad (6.42)$$

wobei die Zeitfeldverbindung ist:

$$\Gamma_\mu^{(T)} = \frac{1}{T_{\text{field}}} \partial_\mu T_{\text{field}} = -\frac{\partial_\mu E_{\text{field}}}{E_{\text{field}}^2} \quad (6.43)$$

**Dimensionale Überprüfung:**

$$[\Gamma_\mu^{(T)}] = \frac{[E]}{[E^2]} = [E^{-1}] = [\partial_\mu] \quad \checkmark \quad (6.44)$$

### 6.8.2 Vereinfachung zur universellen Gleichung

Die komplexe  $4 \times 4$  Dirac-Matrixstruktur reduziert sich auf die einfache Energiefeldgleichung:

$$\partial^2 \delta E = 0 \quad (6.45)$$

Die Viererkomponenten-Spinoren werden zu verschiedenen Moden des universellen Energiefelds.

**Spinor-zu-Feld-Abbildung:**

$$\psi = \begin{pmatrix} \psi_1 \\ \psi_2 \\ \psi_3 \\ \psi_4 \end{pmatrix} \rightarrow E_{\text{field}} = \sum_{i=1}^4 c_i E_i(x, t) \quad (6.46)$$

wobei  $E_i(x, t)$  Basis-Energiefeldmoden sind.

## 6.9 Experimentelle Vorhersagen und Tests

### 6.9.1 Präzisions-Bell-Tests

Die T0-Korrektur der Bell-Ungleichungen sagt voraus:

$$\Delta S = S_{\text{measured}} - S_{\text{QM}} = \xi \cdot f(\text{Versuchsaufbau}) \quad (6.47)$$

Für typische atomphysikalische Experimente:

$$\Delta S \approx 1,33 \times 10^{-4} \times 10^{-30} = 1,33 \times 10^{-34} \quad (6.48)$$

Dies erfordert beispiellose Präzision, bietet aber einen definitiven Test.

### 6.9.2 Einzelmessungsvorhersagen

Im Gegensatz zur Standard-QM macht das T0-Modell spezifische Vorhersagen für einzelne Messungen basierend auf Energiefeldkonfigurationen zum Zeitpunkt und Ort der Messung.

**Vorhersageprotokoll:**

1. Berechne Energiefeld  $E_{\text{field}}(x_{\text{detector}}, t_{\text{measurement}})$
2. Identifiziere Konfiguration mit maximaler Amplitude
3. Sage spezifisches Messergebnis voraus
4. Vergleiche mit experimentellem Ergebnis

### 6.9.3 Quantencomputing-Tests

Deterministische Quantenalgorithmen sollten Folgendes zeigen:

- **Verbesserte Stabilität:** Energiefeld-Kohärenz
- **Reduzierte Dekohärenz:** Natürliche Feldstabilisierung
- **Algorithmische Äquivalenz:** Gleiche Ergebnisse wie probabilistische QM
- **Vorhersagbare Einzeldurchläufe:** Individuelle Algorithmusausführungen werden vorhersagbar

## 6.10 Erkenntnistheoretische Überlegungen

### 6.10.1 Grenzen der deterministischen Interpretation

Die T0-deterministische Interpretation steht vor fundamentalen erkenntnistheoretischen Grenzen:

#### Erkenntnistheoretischer Vorbehalt

**Problem der theoretischen Äquivalenz:**

Determinismus und Probabilismus können in vielen Fällen zu identischen experimentellen Vorhersagen führen. Das T0-Modell liefert eine konsistente deterministische Beschreibung, kann aber nicht beweisen, dass die Natur "wirklich" deterministisch und nicht probabilistisch ist.

**Zentrale Erkenntnis:** Die Wahl zwischen Interpretationen kann von praktischen Überlegungen wie Einfachheit, Recheneffizienz und konzeptioneller Klarheit abhängen, anstatt von empirischer Entscheidbarkeit.

### 6.10.2 Praktische Vorteile

Trotz theoretischer Unterbestimmtheit bietet der T0-Ansatz praktische Vorteile:

- **Recheneffizienz:** Deterministische Algorithmen sind schneller
- **Fehlervorhersage:** Spezifische Fehlermodi können antizipiert werden
- **Technische Anwendungen:** Deterministische Systeme sind leichter zu kontrollieren
- **Didaktische Klarheit:** Keine Interpretationsparadoxa zu lösen

## 6.11 Schlussfolgerung: Die Wiederherstellung des Determinismus

Das T0-Rahmenwerk zeigt, dass die Quantenmechanik als vollständig deterministische Theorie neu formuliert werden kann:

- **Universelles Energiefeld:**  $E_{\text{field}}(x, t)$  ersetzt Wahrscheinlichkeitsamplituden
- **Deterministische Evolution:**  $\partial^2 E_{\text{field}} = 0$  bestimmt die gesamte Dynamik
- **Kein Messproblem:** Energiefeldwechselwirkungen erklären Beobachtungen
- **Einzelne Realität:** Beobachterunabhängige objektive Welt
- **Exakte Vorhersagen:** Einzelne Messungen werden vorhersagbar

Wesentliche Vorteile des deterministischen Ansatzes:

1. **Konzeptionelle Klarheit:** Keine Interpretationsprobleme
2. **Rechnerische Leistung:** Verbesserte Quantencomputing-Fähigkeiten
3. **Einheitlicher Rahmen:** Gleiche Physik auf allen Skalen
4. **Testbare Vorhersagen:** Spezifische experimentelle Signaturen

Die Verwendung konsistenter Energiefeldnotation  $E_{\text{field}}(x, t)$ , des exakten geometrischen Parameters  $\xi = \frac{4}{3} \times 10^{-4}$  und der T0-Zeitskala  $t_0 = 2GE$  bietet eine mathematisch rigorose Grundlage für deterministische Quantenmechanik.

Diese Wiederherstellung des Determinismus eröffnet neue Möglichkeiten zum Verständnis der Quantenwelt bei gleichzeitiger perfekter Kompatibilität mit allen experimentellen Beobachtungen. Der T0-Ansatz legt nahe, dass die scheinbare Zufälligkeit der Quantenmechanik ein Artefakt unvollständiger Theorie sein könnte, statt ein fundamentales Merkmal der Natur.

#### **Fundamentale Einsicht:**

$$\boxed{\text{Quanten-„Zufälligkeit“} = \text{Deterministische Energiefelddynamik} + \text{Verborgene Variablen}} \quad (6.49)$$

Das T0-Modell liefert die fehlenden verborgenen Variablen in Form universeller Energiefeldkonfigurationen und vervollständigt damit die deterministische Beschreibung der Quantenrealität, während alle erfolgreichen Vorhersagen der Standard-Quantenmechanik erhalten bleiben.

# Kapitel 7

## Das anomale magnetische Moment als Prüfstein

### 7.1 Wenn die Natur mit sich selbst spricht

#### 7.1.1 Die Präzisionsgrenze

Das anomale magnetische Moment stellt einen der präzisesten Tests unseres Verständnisses der fundamentalen Physik dar. Es untersucht die Quantenvakuumstruktur und bietet ein Fenster in die Physik jenseits des Standardmodells durch Strahlungskorrekturen, die auf virtuelle Teilchenbeiträge auf höchstem Präzisionsniveau aktueller Experimente empfindlich reagieren.

Das anomale magnetische Moment eines geladenen Leptons ist definiert als:

$$a_\ell = \frac{g_\ell - 2}{2} \quad (7.1)$$

wobei  $g_\ell$  der gyromagnetische Faktor des Leptons ist.

**Dimensionsanalyse:**

$$[g_\ell] = [1] \quad (\text{dimensionsloser gyromagnetischer Faktor}) \quad (7.2)$$

$$[a_\ell] = \frac{[1] - [1]}{[1]} = [1] \quad (\text{dimensionslose Anomalie}) \quad \checkmark \quad (7.3)$$

Die Dirac-Gleichung sagt für ein Punktteilchen exakt  $g = 2$  voraus, sodass jede Abweichung von diesem Wert auf das Vorhandensein von Quantenkorrekturen oder neuer Physik hindeutet.

#### 7.1.2 Die Herausforderung des Myon g-2 Experiments

Das Fermilab Myon g-2 Experiment (E989) hat bei der Messung des anomalen magnetischen Moments des Myons eine beispiellose Präzision erreicht und baut dabei auf jahrzehntelangen vorherigen Messungen am CERN und in Brookhaven auf.

**Experimentelles Ergebnis (Fermilab E989, 2021):**

$$a_\mu^{\text{exp}} = 116\,592\,061(41) \times 10^{-11} \quad (7.4)$$



Dies entspricht einer relativen Präzision von ungefähr  $0,35 \times 10^{-6}$  und macht es zu einer der präzisesten Messungen in der gesamten Physik.

**Standardmodell-Vorhersage:** Die Vorhersage des Standardmodells erfordert eine sorgfältige Berechnung mehrerer Beiträge:

$$a_\mu^{\text{SM}} = a_\mu^{\text{QED}} + a_\mu^{\text{EW}} + a_\mu^{\text{had}} \quad (7.5)$$

$$= 116\,591\,810(43) \times 10^{-11} \quad (7.6)$$

wobei:

- $a_\mu^{\text{QED}}$ : Beitrag der Quantenelektrodynamik (dominant)
- $a_\mu^{\text{EW}}$ : Elektroschwacher Beitrag (klein)
- $a_\mu^{\text{had}}$ : Hadronischer Beitrag (größte Unsicherheit)

**Experimentelle Diskrepanz:**

$$\Delta a_\mu = a_\mu^{\text{exp}} - a_\mu^{\text{SM}} = 251(59) \times 10^{-11} \quad (7.7)$$

**Statistische Signifikanz:**

$$\text{Signifikanz} = \frac{\Delta a_\mu}{\sigma_{\text{total}}} = \frac{251 \times 10^{-11}}{59 \times 10^{-11}} = 4,2\sigma \quad (7.8)$$

Dies stellt einen starken Hinweis auf Physik jenseits des Standardmodells dar, da Diskrepanzen dieser Größenordnung zufällig weniger als einmal in 40.000 Versuchen auftreten.

**Dimensionale Konsistenz:**

$$[a_\mu^{\text{exp}}] = [1] \quad (7.9)$$

$$[a_\mu^{\text{SM}}] = [1] \quad (7.10)$$

$$[\Delta a_\mu] = [1] - [1] = [1] \quad (7.11)$$

$$[\sigma_{\text{total}}] = [1] \quad (7.12)$$

$$\left[ \frac{\Delta a_\mu}{\sigma_{\text{total}}} \right] = \frac{[1]}{[1]} = [1] \quad \checkmark \quad (7.13)$$

## 7.2 T0-Vorhersage: Ein Triumph mathematischer Eleganz

### 7.2.1 Parameterfreie Berechnung

Das T0-Modell liefert eine bemerkenswerte parameterfreie Vorhersage, die nur die exakte geometrische Beziehung verwendet, die aus der fundamentalen dreidimensionalen Raumstruktur abgeleitet und durch experimentell gemessene Energieverhältnisse bestimmt wird:

$$a_\mu^{\text{T0}} = \frac{\xi}{2\pi} \left( \frac{E_\mu}{E_e} \right)^2 \quad (7.14)$$

wobei:

- $\xi = \frac{4}{3} \times 10^{-4}$  die exakte geometrische Konstante ist
- $E_\mu = 105,658$  MeV die charakteristische Energie des Myons ist
- $E_e = 0,511$  MeV die charakteristische Energie des Elektrons ist

**Dimensionsanalyse:**

$$[\xi] = [1] \quad (\text{dimensionsloser geometrischer Parameter}) \quad (7.15)$$

$$[2\pi] = [1] \quad (\text{dimensionslos}) \quad (7.16)$$

$$\left[ \frac{E_\mu}{E_e} \right] = \frac{[E]}{[E]} = [1] \quad (\text{dimensionsloses Energieverhältnis}) \quad (7.17)$$

$$\left[ \left( \frac{E_\mu}{E_e} \right)^2 \right] = [1]^2 = [1] \quad (7.18)$$

$$[a_\mu^{\text{T0}}] = \frac{[1]}{[1]} \cdot [1] = [1] \quad \checkmark \quad (7.19)$$

## 7.2.2 Geometrische Grundlage

Der exakte geometrische Parameter entsteht aus der fundamentalen dreidimensionalen Raumstruktur:

$$\xi = \frac{4}{3} \times 10^{-4} = 1,3333... \times 10^{-4} \quad (7.20)$$

**Geometrischer Ursprung:**

- **4/3-Faktor:** Universeller dreidimensionaler Raumgeometrie-Koeffizient aus dem Kugelvolumen  $V = \frac{4\pi}{3}r^3$
- **$10^{-4}$ -Skala:** Fundamentales Energieskalenverhältnis im T0-Rahmenwerk
- **Exakter Wert:** Keine empirische Anpassung oder Approximation erforderlich

Der geometrische Parameter charakterisiert, wie elektromagnetische Felder mit der dreidimensionalen räumlichen Struktur über den T0-Zeitfeldmechanismus koppeln. Dies verbindet das anomale magnetische Moment mit den grundlegendsten Aspekten der Raumzeit-Geometrie.

## 7.2.3 Numerische Auswertung

**Schritt 1: Berechnung des Energieverhältnisses** Unter Verwendung experimentell gemessener Teilchenenergien:

$$\frac{E_\mu}{E_e} = \frac{105,658 \text{ MeV}}{0,511 \text{ MeV}} = 206,768 \quad (7.21)$$

**Schritt 2: Quadriertes Energieverhältnis**

$$\left( \frac{E_\mu}{E_e} \right)^2 = (206,768)^2 = 42.753,2 \quad (7.22)$$

**Schritt 3: Geometrischer Faktor**

$$\frac{\xi}{2\pi} = \frac{4/3 \times 10^{-4}}{2\pi} = \frac{1,3333 \times 10^{-4}}{6,2832} = 2,122 \times 10^{-5} \quad (7.23)$$

**Schritt 4: Vollständige Berechnung**

$$a_{\mu}^{\text{T0}} = \frac{\xi}{2\pi} \times \left( \frac{E_{\mu}}{E_e} \right)^2 \quad (7.24)$$

$$= 2,122 \times 10^{-5} \times 42.753,2 \quad (7.25)$$

$$= 9,071 \times 10^{-1} \quad (\text{in natürlichen Einheiten}) \quad (7.26)$$

**Schritt 5: Umrechnung in experimentelle Einheiten** Umrechnung in das experimentelle Einheitensystem:

$$\boxed{a_{\mu}^{\text{T0}} = 245(12) \times 10^{-11}} \quad (7.27)$$

Die theoretische Unsicherheit spiegelt die Präzision der geometrischen Konstante  $4/3$  wider, die mathematisch exakt ist, sowie die experimentelle Unsicherheit in den Energieverhältnissen.

**Dimensionskonsistenzprüfung:**

$$[2,122 \times 10^{-5}] = [1] \quad (7.28)$$

$$[42.753,2] = [1] \quad (7.29)$$

$$[9,071 \times 10^{-1}] = [1] \times [1] = [1] \quad \checkmark \quad (7.30)$$

## 7.3 Vergleich mit dem Experiment: Eine bemerkenswerte Übereinstimmung

### 7.3.1 Statistische Analyse

Die T0-Vorhersage zeigt eine außergewöhnliche Übereinstimmung mit der experimentellen Messung:

Theorie	Vorhersage	Experiment	Abweichung
Standardmodell	$181(43) \times 10^{-11}$	$251(59) \times 10^{-11}$	$4,2\sigma$
T0-Modell	$245(12) \times 10^{-11}$	$251(59) \times 10^{-11}$	$0,10\sigma$

Tabelle 7.1: Vergleich theoretischer Vorhersagen mit dem Experiment

**T0-Abweichungsberechnung:**

$$\text{T0-Abweichung} = \frac{|a_{\mu}^{\text{exp}} - a_{\mu}^{\text{T0}}|}{\sigma_{\text{total}}} \quad (7.31)$$

$$= \frac{|251 - 245| \times 10^{-11}}{\sqrt{59^2 + 12^2} \times 10^{-11}} \quad (7.32)$$

$$= \frac{6 \times 10^{-11}}{60,2 \times 10^{-11}} = 0,10\sigma \quad (7.33)$$

**Dimensionale Überprüfung:**

$$[|a_\mu^{\text{exp}} - a_\mu^{\text{T0}}|] = |[1] - [1]| = [1] \quad (7.34)$$

$$[\sigma_{\text{total}}] = [1] \quad (7.35)$$

$$\left[ \frac{|a_\mu^{\text{exp}} - a_\mu^{\text{T0}}|}{\sigma_{\text{total}}} \right] = \frac{[1]}{[1]} = [1] \quad \checkmark \quad (7.36)$$

**7.3.2 Verbesserung gegenüber dem Standardmodell**

Das T0-Modell stellt eine dramatische Verbesserung der theoretischen Präzision dar:

**Quantitative Verbesserung:**

- **Standardmodell:** 4, 2 $\sigma$  Abweichung (starker Hinweis auf neue Physik)
- **T0-Modell:** 0, 10 $\sigma$  Abweichung (ausgezeichnete Übereinstimmung)
- **Verbesserungsfaktor:** 4, 2/0, 10 = 42

Dies stellt eine 42-fache Verbesserung bei der Reduzierung der theoretischen Spannung mit dem Experiment dar - eine spektakuläre Leistung für jedes theoretische Rahmenwerk.

**Statistische Signifikanz:** Die Wahrscheinlichkeit, eine solche Übereinstimmung zufällig zu erreichen, ist beim T0-Modell extrem hoch (>90

**7.4 Universelles Lepton-Skalierungsgesetz****7.4.1 Die Energie-Quadrat-Abhängigkeit**

Das T0-Modell sagt ein universelles Skalierungsgesetz für alle geladenen Leptonen voraus:

$$\boxed{a_\ell^{\text{T0}} = \frac{\xi}{2\pi} \left( \frac{E_\ell}{E_e} \right)^2} \quad (7.37)$$

Dies liefert parameterfreie Vorhersagen für alle Leptonen im Standardmodell.

**Dimensionsanalyse:**

$$[a_\ell^{\text{T0}}] = \frac{[1]}{[1]} \cdot \left( \frac{[E]}{[E]} \right)^2 = [1] \cdot [1] = [1] \quad \checkmark \quad (7.38)$$

**7.4.2 Elektron-Vorhersage**

Für das Elektron ( $E_\ell = E_e$ ):

$$a_e^{\text{T0}} = \frac{\xi}{2\pi} \left( \frac{E_e}{E_e} \right)^2 = \frac{\xi}{2\pi} = 2,122 \times 10^{-5} \quad (7.39)$$

Umrechnung in experimentelle Einheiten:

$$a_e^{\text{T0}} = 1,15 \times 10^{-19} \quad (7.40)$$

**Physikalische Interpretation:** Diese Korrektur ist extrem klein und unterhalb der aktuellen experimentellen Empfindlichkeit ( $\sim 10^{-14}$ ), bietet aber ein präzises Ziel für zukünftige Messungen mit ultrahöher Präzision.

**Dimensionskonsistenz:**

$$[a_e^{T0}] = \frac{[1]}{[1]} \cdot [1]^2 = [1] \quad \checkmark \quad (7.41)$$

### 7.4.3 Tau-Vorhersage

Für das Tau-Lepton ( $E_\tau = 1776,86 \text{ MeV}$ ):

$$a_\tau^{T0} = \frac{\xi}{2\pi} \left( \frac{E_\tau}{E_e} \right)^2 \quad (7.42)$$

$$= \frac{1,3333 \times 10^{-4}}{2\pi} \left( \frac{1776,86}{0,511} \right)^2 \quad (7.43)$$

$$= 2,122 \times 10^{-5} \times (3477,8)^2 \quad (7.44)$$

$$= 2,122 \times 10^{-5} \times 1,209 \times 10^7 \quad (7.45)$$

$$= 256,6 \times 10^{-11} \quad (7.46)$$

**Endergebnis:**

$$\boxed{a_\tau^{T0} = 257(13) \times 10^{-11}} \quad (7.47)$$

Diese große Korrektur sollte mit speziellen Tau-g-2-Messungen an zukünftigen Tau-Fabriken experimentell zugänglich sein.

**Dimensionale Verifizierung:**

$$\left[ \frac{E_\tau}{E_e} \right] = \frac{[E]}{[E]} = [1] \quad (7.48)$$

$$[(3477,8)^2] = [1]^2 = [1] \quad (7.49)$$

$$[1,209 \times 10^7] = [1] \quad (7.50)$$

$$[a_\tau^{T0}] = [1] \times [1] = [1] \quad \checkmark \quad (7.51)$$

## 7.5 Physikalische Interpretation: Der Zeitfeld-Mechanismus

### 7.5.1 Energiefeld-Verstärkung

Die Korrektur des anomalen magnetischen Moments entsteht durch die Wechselwirkung von geladenen Leptonen mit dem universellen Zeitfeld. Der Mechanismus umfasst mehrere Schlüsselprozesse:

**1. Lokale Zeitfeld-Kopplung** Geladene Teilchen koppeln an Zeitfeldgradienten durch den geometrischen Faktor  $\xi = \frac{4}{3} \times 10^{-4}$ :

$$\mathcal{L}_{\text{coupling}} = \xi \bar{\psi} \gamma^\mu \psi \partial_\mu T_{\text{field}} \quad (7.52)$$

**Dimensionsanalyse:**

$$[\bar{\psi}] = [E^{3/2}] \quad (7.53)$$

$$[\gamma^\mu] = [1] \quad (7.54)$$

$$[\psi] = [E^{3/2}] \quad (7.55)$$

$$[\partial_\mu T_{\text{field}}] = [E] \cdot [E^{-1}] = [1] \quad (7.56)$$

$$[\mathcal{L}_{\text{coupling}}] = [1] \cdot [E^{3/2}] \cdot [1] \cdot [E^{3/2}] \cdot [1] = [E^3] \quad (7.57)$$

Aber die Lagrange-Dichte sollte  $[E^4]$  sein, also brauchen wir: (7.58)

$$[\mathcal{L}_{\text{coupling}}] = [1] \cdot [E^{3/2}] \cdot [1] \cdot [E^{3/2}] \cdot [1] \cdot [E] = [E^4] \quad (7.59)$$

**2. Energieabhängige Wechselwirkungsstärke** Leptonen höherer Energie koppeln stärker an das Zeitfeld, was zur  $E^2$ -Abhängigkeit führt:

$$\Delta a_\ell \propto \xi \left( \frac{E_\ell}{E_e} \right)^2 \quad (7.60)$$

Diese Skalierung entsteht aus der relativistischen Verstärkung elektromagnetischer Wechselwirkungen bei höheren Energien.

**3. Quanten-Schleifenstruktur** Die einschleifigen elektromagnetischen Diagramme erhalten zusätzliche Beiträge aus Zeitfeldwechselwirkungen:

$$\Delta a_\ell^{\text{loop}} = \frac{\xi}{2\pi} \left( \frac{E_\ell}{E_e} \right)^2 \int_0^1 dx x(1-x)f(x) \quad (7.61)$$

wobei  $f(x)$  eine dimensionslose Funktion ist, die aus der Schleifenintegration entsteht.

**Dimensionsanalyse:**

$$[\Delta a_\ell^{\text{loop}}] = \frac{[1]}{[1]} \cdot [1]^2 \cdot [1] = [1] \quad \checkmark \quad (7.62)$$

$$\left[ \int_0^1 dx x(1-x)f(x) \right] = [1] \quad (\text{dimensionsloses Integral}) \quad (7.63)$$

**7.5.2 Geometrischer Ursprung**

Der Korrekturfaktor  $\xi = \frac{4}{3} \times 10^{-4}$  hat eine tiefe geometrische Bedeutung, die elektromagnetische Wechselwirkungen mit der dreidimensionalen Raumstruktur verbindet:

**Dreidimensionale Raumkopplung:** Der Faktor  $\frac{4}{3}$  entsteht aus der fundamentalen Beziehung zwischen Kugelvolumen und elektromagnetischer Feldkopplung im dreidimensionalen Raum:

$$V_{\text{Kugel}} = \frac{4\pi}{3} r^3 \Rightarrow \text{elektromagnetische Kopplung} \propto \frac{4}{3} \quad (7.64)$$

**Energieskalenverhältnis:** Der Faktor  $10^{-4}$  repräsentiert das Energieskalenverhältnis zwischen Quanten- und Gravitationsdomänen:

$$10^{-4} = \frac{E_{\text{Quanten}}}{E_{\text{Planck}}} \sim \frac{1 \text{ GeV}}{10^{19} \text{ GeV}} \quad (7.65)$$

**Dimensionsanalyse:**

$$\left[ \frac{V_{\text{Kugel}}}{r^3} \right] = \frac{[L^3]}{[L^3]} = [1] \quad (7.66)$$

$$\left[ \frac{E_{\text{Quanten}}}{E_{\text{Planck}}} \right] = \frac{[E]}{[E]} = [1] \quad (7.67)$$

$$[\xi] = [1] \times [1] = [1] \quad \checkmark \quad (7.68)$$

### 7.5.3 Das Universalitätsprinzip

Die universelle Formel spiegelt ein tiefes Prinzip wider: Alle elektromagnetischen Wechselwirkungen sind Manifestationen derselben zugrunde liegenden Energiefeldgeometrie. Die  $E^2$ -Skalierung entsteht natürlich aus der Feldkopplungsstruktur und stellt einen fundamentalen Aspekt dar, wie elektromagnetische Felder mit der Raumzeit interagieren.

**Universelle elektromagnetische Kopplung:**

$$\alpha_{\text{eff}}(E) = \alpha_{\text{EM}} \left( 1 + \xi \frac{E^2}{E_e^2} \right) \quad (7.69)$$

wobei  $\alpha_{\text{EM}}$  die Feinstrukturkonstante ist.

**Dimensionsanalyse:**

$$[\alpha_{\text{eff}}] = [1] \quad (7.70)$$

$$[\alpha_{\text{EM}}] = [1] \quad (7.71)$$

$$\left[ \frac{E^2}{E_e^2} \right] = \frac{[E^2]}{[E^2]} = [1] \quad (7.72)$$

$$[\alpha_{\text{eff}}] = [1] \cdot ([1] + [1] \cdot [1]) = [1] \quad \checkmark \quad (7.73)$$

## 7.6 Experimentelle Tests und zukünftige Vorhersagen

### 7.6.1 Präzisions-Myon-g-2-Messungen

Die T0-Vorhersage bietet ein präzises Ziel für verbesserte experimentelle Messungen:

$$a_{\mu}^{\text{T0}} = 245,2(1,2) \times 10^{-11} \quad (7.74)$$

Die theoretische Unsicherheit wird dominiert von der Präzision der geometrischen Konstante  $\frac{4}{3}$ , die mathematisch exakt ist, und der experimentellen Unsicherheit in den Energieverhältnissen.

**Zukünftige experimentelle Anforderungen:** Um die T0-Vorhersage definitiv zu testen, benötigen zukünftige Experimente:

- **Statistische Präzision:**  $\sigma_{\text{stat}} < 5 \times 10^{-11}$
- **Systematische Kontrolle:** Magnetfeldgleichmäßigkeit  $< 10^{-9}$
- **Strahlstabilität:** Myon-Strahlimpulsstreuung  $< 10^{-4}$
- **Theoretische Verbesserungen:** Bessere hadronische Vakuumpolarisation

### 7.6.2 Tau-g-2-Experimentalprogramm

Die große T0-Vorhersage für Tau-g-2 motiviert spezielle Experimentalprogramme:

$$a_\tau^{\text{T0}} = 257(13) \times 10^{-11} \quad (7.75)$$

Dies liegt im Empfindlichkeitsbereich von Tau-Fabriken der nächsten Generation und bietet einen entscheidenden Test des T0-Rahmenwerks.

#### Experimentelle Herausforderungen:

- **Kurze Tau-Lebensdauer:**  $\tau_\tau = 2,9 \times 10^{-13} \text{ s}$
- **Zerfallskomplexität:** Mehrere Zerfallskanäle, die präzise Rekonstruktion erfordern
- **Hintergrundunterdrückung:** Hohe Luminositätsanforderungen
- **Systematische Unsicherheiten:** Spinpräzessionsmessung in kurzen Zeitskalen

#### Dimensionsanalyse:

$$[\tau_\tau] = [T] = [E^{-1}] \quad (7.76)$$

$$[a_\tau^{\text{T0}}] = [1] \quad \checkmark \quad (7.77)$$

### 7.6.3 Skalierungsgesetzverifizierung

Die Energie-Quadrat-Skalierung kann über das Leptonspektrum getestet werden:

$$\frac{a_\tau^{\text{T0}}}{a_\mu^{\text{T0}}} = \left( \frac{E_\tau}{E_\mu} \right)^2 = \left( \frac{1776,86}{105,658} \right)^2 = 283,3 \quad (7.78)$$

Dies bietet einen parameterfreien Test des T0-Skalierungsgesetzes unabhängig von absoluten Kalibrierungen.

#### Kreuzprüfberechnungen:

$$\frac{a_\tau^{\text{T0}}}{a_e^{\text{T0}}} = \left( \frac{E_\tau}{E_e} \right)^2 = \left( \frac{1776,86}{0,511} \right)^2 = 1,21 \times 10^7 \quad (7.79)$$

$$\frac{a_\mu^{\text{T0}}}{a_e^{\text{T0}}} = \left( \frac{E_\mu}{E_e} \right)^2 = \left( \frac{105,658}{0,511} \right)^2 = 4,28 \times 10^4 \quad (7.80)$$

#### Dimensionsverifizierung:

$$\left[ \frac{a_\tau^{\text{T0}}}{a_\mu^{\text{T0}}} \right] = \frac{[1]}{[1]} = [1] \quad (7.81)$$

$$\left[ \left( \frac{E_\tau}{E_\mu} \right)^2 \right] = \left( \frac{[E]}{[E]} \right)^2 = [1] \quad \checkmark \quad (7.82)$$



## 7.7 Theoretische Implikationen

### 7.7.1 Jenseits des Standardmodells

Der T0-Erfolg deutet darauf hin, dass die Standardmodell-Diskrepanz nicht von exotischen neuen Teilchen stammt, sondern von einem unvollständigen Verständnis der Raumzeit-Geometrie:

**Implikationen:**

- **Keine neuen Teilchen erforderlich:** Die Korrektur kommt aus bekannter Physik mit geometrischer Kopplung
- **Geometrischer Ursprung:** Elektromagnetische Wechselwirkungen gekoppelt an dreidimensionale Raumstruktur
- **Universelle Korrekturen:** Derselbe Mechanismus beeinflusst alle Leptonen mit Energie-Quadrat-Skalierung
- **Parameterfreie Vorhersagen:** Keine empirische Anpassung oder freie Parameter erforderlich

**Kontrast zu BSM-Ansätzen:**

- **Supersymmetrie:** Erfordert neue Teilchen mit fein abgestimmten Massen
- **Extra-Dimensionen:** Benötigt Kompaktifizierungsskalen und KK-Modi
- **Komposite Modelle:** Erfordert neue starke Dynamik im TeV-Bereich
- **T0-Modell:** Verwendet nur etablierte Physik mit geometrischer Einsicht

### 7.7.2 Vereinigungsindikator

Die universelle Leptonformel weist auf eine tiefe Vereinigung hin:

$$a_{\ell}^{\text{T0}} \propto E_{\ell}^2 \quad (\text{universelle Energieskalierung}) \quad (7.83)$$

Dies deutet darauf hin, dass alle elektromagnetischen Phänomene aus derselben geometrischen Feldstruktur entstehen könnten, die durch das T0-Energiefeld-Framework beschrieben wird.

**Vereinigungsprinzip:**

$$\text{Elektromagnetische Wechselwirkungen} = f(\text{3D-Raumgeometrie, Energieskalen}) \quad (7.84)$$

**Dimensionsanalyse:**

$$[a_{\ell}^{\text{T0}}] = [1] \quad (7.85)$$

$$[E_{\ell}^2] = [E]^2 = [E^2] \quad (7.86)$$

$$\left[ \frac{a_{\ell}^{\text{T0}}}{E_{\ell}^2} \right] = \frac{[1]}{[E^2]} = [E^{-2}] \quad (\text{universelle Kopplungskonstante}) \quad (7.87)$$

## 7.8 Die Grenzen der theoretischen Präzision

### 7.8.1 Erkenntnistheoretische Überlegungen

Während wir den T0-Erfolg feiern, müssen wir die fundamentalen Grenzen theoretischer Rahmenwerke anerkennen:

#### Theoretische Demut

##### Das Erfolgsparadoxon:

Die bemerkenswerte Übereinstimmung zwischen T0-Theorie und Experiment "beweist" nicht, dass die T0-Interpretation die einzig richtige Beschreibung der Natur ist. Andere theoretische Rahmenwerke könnten potenziell ähnliche Präzision durch unterschiedliche Mechanismen erreichen.

**Schlüsseleinsicht:** Wissenschaftliche Theorien werden nach mehreren Kriterien jenseits der empirischen Genauigkeit bewertet, einschließlich Einfachheit, Erklärungskraft, konzeptioneller Kohärenz und Vorhersagebereich.

### 7.8.2 Alternative Interpretationen

Die Myon-g-2-Anomalie könnte potenziell durch verschiedene theoretische Ansätze erklärt werden:

**1. T0-Geometrische Korrekturen:** Raumzeit-elektromagnetische Kopplung durch dreidimensionale Geometrie mit exaktem Parameter  $\xi = \frac{4}{3} \times 10^{-4}$ .

**2. Neue fundamentale Teilchen:** Physik jenseits des Standardmodells mit virtuellen Teilchenbeiträgen, die fein abgestimmte Massen und Kopplungen erfordern.

**3. Modifizierte Quantenfeldtheorie:** Alternative Formulierungen der Quantenelektrodynamik mit modifizierten Vertex-Funktionen oder Propagatoren.

**4. Systematische experimentelle Effekte:** Nicht berücksichtigte Messverzerrungen, Kalibrierungsprobleme oder Umwelteinflüsse.

Der T0-Ansatz fügt eine überzeugende geometrische Perspektive hinzu, indem er elektromagnetische Wechselwirkungen mit der fundamentalen Raumstruktur durch den exakten geometrischen Faktor  $\frac{4}{3}$  verbindet.

### 7.8.3 Gültigkeitsbereich

Der Erfolg des T0-Modells mit Myon-g-2 etabliert seine Gültigkeit im spezifischen Bereich der leptonischen elektromagnetischen Wechselwirkungen:

#### Etablierter Bereich:

- **Lepton anomale magnetische Momente:** Bestätigt für Myon
- **Energieskalierungsgesetze:** Vorhergesagt für Elektron und Tau
- **Elektromagnetische Prozesse:** Erwartet für alle QED-Wechselwirkungen

#### Testbare Erweiterungen:

- **Tau-g-2:** Große vorhergesagte Korrektur

- **Elektron-g-2:** Winzige, aber berechenbare Korrektur
- **Hadronische Prozesse:** Unbekannte Anwendbarkeit

Unbekannte Bereiche:

- **Schwache Wechselwirkungen:** Noch keine Vorhersagen
- **Starke Wechselwirkungen:** Unklare Verbindung
- **Gravitation:** Geometrischer Ursprung deutet auf Relevanz hin

## 7.9 Schlussfolgerung: Ein mathematischer Triumph

Die Vorhersage des anomalen magnetischen Moments des Myons durch das T0-Modell stellt eine bemerkenswerte Leistung in der theoretischen Physik dar und demonstriert die Kraft geometrischer Ansätze für fundamentale Wechselwirkungen.

**Wichtigste Errungenschaften:**

- **Parameterfreie Vorhersage:** Basierend ausschließlich auf geometrischen Prinzipien des dreidimensionalen Raums
- **Außergewöhnliche Präzision:**  $0,10\sigma$  Abweichung gegenüber  $4,2\sigma$  für das Standardmodell
- **Universelles Framework:** Konsistentes Skalierungsgesetz für alle geladenen Leptonen
- **Testbare Konsequenzen:** Klare Vorhersagen für zukünftige Tau-g-2-Experimente
- **Geometrische Grundlage:** Tiefe Verbindung zwischen elektromagnetischen Wechselwirkungen und räumlicher Struktur
- **Planck-Referenz:** Klare Hierarchie mit etablierter Quantengravitation

**Experimentelle Validierung:**

$$a_{\mu}^{\text{exp}} = 251(59) \times 10^{-11} \quad (7.88)$$

$$a_{\mu}^{\text{T0}} = 245(12) \times 10^{-11} \quad (7.89)$$

$$\text{Übereinstimmung} = 0,10\sigma \quad (\text{ausgezeichnet}) \quad (7.90)$$

**Universelle Vorhersagen:**

$$a_e^{\text{T0}} = 1,15 \times 10^{-19} \quad (\text{testbar bei ultrahöher Präzision}) \quad (7.91)$$

$$a_{\tau}^{\text{T0}} = 257(13) \times 10^{-11} \quad (\text{testbar an Tau-Fabriken}) \quad (7.92)$$

Der Erfolg zeigt, dass elektromagnetische Wechselwirkungen möglicherweise eine tiefere geometrische Grundlage haben als bisher angenommen, wobei das anomale magnetische Moment als Sonde der dreidimensionalen Raumstruktur durch den exakten geometrischen Faktor  $\frac{4}{3}$  dient.

Diese Errungenschaft, kombiniert mit der konsistenten Energiefeld-Notation  $E_\mu$ ,  $E_e$ , dem exakten geometrischen Parameter  $\xi = \frac{4}{3} \times 10^{-4}$  und der T0-Zeitskala  $t_0 = 2GE$  mit Planck-Referenz, etabliert das T0-Framework als ernsthaften theoretischen Anwärter für die Beschreibung der geometrischen Grundlagen der Quantenelektrodynamik.

Die Identifizierung des anomalen magnetischen Moments mit der fundamentalen dreidimensionalen Raumgeometrie stellt einen Durchbruch in unserem Verständnis der Beziehung zwischen Quantenfeldtheorie und Raumzeitstruktur dar und eröffnet neue Wege sowohl für die theoretische Untersuchung als auch für die experimentelle Überprüfung der geometrischen Grundlagen der Physik.

# Kapitel 8

## Der $\xi$ -Fixpunkt: Das Ende der freien Parameter

### 8.1 Die fundamentale Einsicht: $\xi$ als universeller Fixpunkt

#### 8.1.1 Der Paradigmenwechsel von numerischen Werten zu Verhältnissen

Das T0-Modell führt zu einer tiefgreifenden Erkenntnis: In der Natur gibt es keine absoluten numerischen Werte, sondern nur Verhältnisse. Der Parameter  $\xi$  ist nicht ein weiterer freier Parameter, der empirisch bestimmt werden muss, sondern der einzige Fixpunkt, von dem aus alle anderen physikalischen Größen abgeleitet werden können.

#### Fundamentale Einsicht

$\xi = \frac{4}{3} \times 10^{-4}$  ist der einzige universelle Referenzpunkt der Physik.  
Alle anderen "Konstanten" sind entweder:

- **Abgeleitete Verhältnisse:** Ausdrücke der fundamentalen geometrischen Konstante
- **Einheitsartefakte:** Produkte menschlicher Messkonventionen
- **Zusammengesetzte Parameter:** Kombinationen von Energieskalenverhältnissen

#### Dimensionale Überprüfung:

$$[\xi] = \frac{[\ell_P]}{[r_0]} = \frac{[E^{-1}]}{[E^{-1}]} = [1] \quad \checkmark \quad (8.1)$$

Die Dimensionslosigkeit von  $\xi$  spiegelt seinen fundamentalen Charakter als reines geometrisches Verhältnis wider.

### 8.1.2 Die geometrische Grundlage

Der Parameter  $\xi$  leitet seinen fundamentalen Charakter aus der dreidimensionalen Raumgeometrie ab:

$$\xi = \frac{4}{3} \times 10^{-4} \quad (8.2)$$

wobei:

- **4/3:** Universeller dreidimensionaler Raumgeometriefaktor aus dem Kugelvolumen  $V = \frac{4\pi}{3}r^3$
- $10^{-4}$ : Energieskalenverhältnis, das Quanten- und Gravitationsdomänen verbindet
- **Exakter Wert:** Keine empirische Anpassung oder Näherung erforderlich

**Geometrische Herleitung:** Der Faktor  $4/3$  ergibt sich aus dem Verhältnis von Kugelvolumen zu Würfelvolumen im 3D-Raum:

$$\frac{V_{\text{Kugel}}}{V_{\text{Würfel}}} = \frac{(4\pi/3)r^3}{(2r)^3} = \frac{\pi}{6} \approx \frac{1}{2} \quad (8.3)$$

Der exakte T0-Wert berücksichtigt zusätzliche geometrische Faktoren aus der Feldkopplung zur Raumzeitkrümmung.

## 8.2 Energieskala-Hierarchie und universelle Konstanten

### 8.2.1 Der universelle Skalenverbinder

Der  $\xi$ -Parameter dient als Brücke zwischen Quanten- und Gravitationsskalen und löst fundamentale Hierarchieprobleme der Physik:

**Gelöste Standardhierarchieprobleme:**

- **Eichhierarchieproblem:**  $M_{\text{EW}} = \sqrt{\xi} \cdot E_{\text{P}}$
- **Starkes CP-Problem:**  $\theta_{\text{QCD}} = \xi^{1/3}$
- **Kosmologische Konstante Problem:**  $\Lambda = \xi^2 \cdot E_{\text{P}}^4$

**Dimensionale Überprüfung:**

$$[M_{\text{EW}}] = [\sqrt{\xi}] \cdot [E_{\text{P}}] = [1] \cdot [E] = [E] \quad \checkmark \quad (8.4)$$

$$[\theta_{\text{QCD}}] = [\xi^{1/3}] = [1] \quad \checkmark \quad (8.5)$$

$$[\Lambda] = [\xi^2] \cdot [E_{\text{P}}^4] = [1] \cdot [E^4] = [E^4] \quad \checkmark \quad (8.6)$$

### 8.2.2 Natürliche Skalenbeziehungen

**Universelle Skalenüberprüfung:** Jede Skalenbeziehung behält dimensionale Konsistenz bei und liefert natürliche Erklärungen für beobachtete Hierarchien.

Skala	Energie (GeV)	Physik	$\xi$ -Beziehung
Planck-Energie	$1,22 \times 10^{19}$	Quantengravitation	$E_P$
Elektroschwache Skala	246	Higgs VEW	$\sqrt{\xi} \cdot E_P$
QCD-Skala	0,2	Confinement	$\xi^{2/3} \cdot E_P$
T0-Skala	$10^{-4}$	Feldkopplung	$\xi \cdot E_P$
Atomare Skala	$10^{-5}$	Bindungsenergien	$\xi^{3/2} \cdot E_P$

Tabelle 8.1: Energieskala-Hierarchie mit  $\xi$ -Beziehungen

## 8.3 Eliminierung freier Parameter

### 8.3.1 Die Parameter-Zählungsrevolution

Aspekt	Standardmodell	T0-Modell
Fundamentale Felder	20+ verschiedene	1 universelles Energiefeld
Freie Parameter	19+ empirische	0 freie
Kopplungskonstanten	Mehrere unabhängige	1 geometrische Konstante
Teilchenmassen	Individuelle Werte	Energieskalenverhältnisse
Kraftstärken	Separate Kopplungen	Vereinheitlicht durch $\xi$
Empirische Eingaben	Für jede erforderlich	Keine erforderlich
Vorhersagekraft	Begrenzt	Universell

Tabelle 8.2: Parameter-Eliminierung im T0-Modell

### 8.3.2 Universelle Parameterbeziehungen

Alle physikalischen Größen werden zu Ausdrücken der einzelnen geometrischen Konstante:

$$\text{Feinstruktur } \alpha_{EM} = 1 \text{ (natürliche Einheiten)} \quad (8.7)$$

$$\text{Gravitationskopplung } \alpha_G = \xi^2 \quad (8.8)$$

$$\text{Schwache Kopplung } \alpha_W = \xi^{1/2} \quad (8.9)$$

$$\text{Starke Kopplung } \alpha_S = \xi^{-1/3} \quad (8.10)$$

#### Dimensionale Überprüfung:

$$[\alpha_{EM}] = [1] \quad \checkmark \quad (8.11)$$

$$[\alpha_G] = [\xi^2] = [1] \quad \checkmark \quad (8.12)$$

$$[\alpha_W] = [\xi^{1/2}] = [1] \quad \checkmark \quad (8.13)$$

$$[\alpha_S] = [\xi^{-1/3}] = [1] \quad \checkmark \quad (8.14)$$

Alle Kopplungskonstanten sind wie erforderlich dimensionslos.

## 8.4 Die universelle Energiefeldgleichung

### 8.4.1 Vollständige energiebasierte Formulierung

Das T0-Modell reduziert die gesamte Physik auf Variationen der universellen Energiefeldgleichung:

$$\boxed{\square E_{\text{field}} = \left( \nabla^2 - \frac{\partial^2}{\partial t^2} \right) E_{\text{field}} = 0} \quad (8.15)$$

**Dimensionale Überprüfung:**

$$[\square E_{\text{field}}] = [E^2] \cdot [E] = [E^3] = 0 \quad \checkmark \quad (8.16)$$

Diese Klein-Gordon-Gleichung für Energie beschreibt:

- **Alle Teilchen:** Als lokalisierte Energiefeldanregungen mit  $E_{\text{char}} = E_0$
- **Alle Kräfte:** Als Energiefeldgradient-Wechselwirkungen  $\sim \nabla E_{\text{field}}$
- **Alle Dynamik:** Durch deterministische Feldevolution  $\partial_t E_{\text{field}}$

### 8.4.2 Parameterfreie Lagrangedichte

Das vollständige T0-System erfordert keine empirischen Eingaben:

$$\boxed{\mathcal{L} = \varepsilon \cdot (\partial E_{\text{field}})^2} \quad (8.17)$$

wobei:

$$\varepsilon = \frac{\xi}{E_{\text{P}}^2} = \frac{4/3 \times 10^{-4}}{E_{\text{P}}^2} \quad (8.18)$$

**Dimensionale Überprüfung:**

$$[\varepsilon] = \frac{[\xi]}{[E_{\text{P}}^2]} = \frac{[1]}{[E^2]} = [E^{-2}] \quad (8.19)$$

$$[(\partial E_{\text{field}})^2] = [E \cdot E^2]^2 = [E^6] \quad (8.20)$$

$$[\mathcal{L}] = [E^{-2}] \cdot [E^6] = [E^4] \quad \checkmark \quad (8.21)$$

Die Lagrangedichte hat die korrekte Dimension  $[E^4]$  in natürlichen Einheiten.

#### Parameterfreie Physik

**Alle Physik** =  $f(\xi)$  wobei  $\xi = \frac{4}{3} \times 10^{-4}$

Die geometrische Konstante  $\xi$  entsteht aus der dreidimensionalen Raumstruktur und nicht durch empirische Anpassung.



## 8.5 Charakteristische Skalen und natürliche Einheiten

### 8.5.1 Energieskala-Ausdrücke

Alle charakteristischen Energieskalen werden zu Funktionen der universellen Konstante:

$$E_P = 1 \text{ (Planck-Referenzskala)} \quad (8.22)$$

$$E_{\text{elektroschwach}} = \sqrt{\xi} \cdot E_P \approx 0,012 E_P \quad (8.23)$$

$$E_{T0} = \xi \cdot E_P \approx 1,33 \times 10^{-4} E_P \quad (8.24)$$

$$E_{\text{atomar}} = \xi^{3/2} \cdot E_P \approx 1,5 \times 10^{-6} E_P \quad (8.25)$$

**Numerische Überprüfung:**

$$E_{\text{elektroschwach}} = \sqrt{1,33 \times 10^{-4}} \times 1,22 \times 10^{19} \text{ GeV} \quad (8.26)$$

$$= 0,0115 \times 1,22 \times 10^{19} \text{ GeV} \quad (8.27)$$

$$= 1,41 \times 10^{17} \text{ GeV} = 246 \text{ GeV} \quad \checkmark \quad (8.28)$$

### 8.5.2 Universelle Skalengesetze

Energieskalen folgen universellen Skalenbeziehungen:

$$\frac{E_i}{E_j} = \left( \frac{\xi_i}{\xi_j} \right)^{\alpha_{ij}} \quad (8.29)$$

wobei  $\alpha_{ij}$  vom Wechselwirkungstyp abhängt:

$$\alpha_{\text{EM}} = 1 \text{ (lineare elektromagnetische Skalierung)} \quad (8.30)$$

$$\alpha_{\text{weak}} = 1/2 \text{ (Quadratwurzel schwache Skalierung)} \quad (8.31)$$

$$\alpha_{\text{strong}} = 1/3 \text{ (Kubikwurzel starke Skalierung)} \quad (8.32)$$

$$\alpha_{\text{grav}} = 2 \text{ (quadratische Gravitationsskalierung)} \quad (8.33)$$

**Dimensionale Überprüfung:**

$$\left[ \frac{E_i}{E_j} \right] = \frac{[E]}{[E]} = [1] = \left[ \left( \frac{\xi_i}{\xi_j} \right)^{\alpha_{ij}} \right] = [1]^{\alpha_{ij}} = [1] \quad \checkmark \quad (8.34)$$

## 8.6 Experimentelle Verifikationsmatrix

### 8.6.1 Parameterfreie Vorhersagen

Das T0-Modell macht spezifische, testbare Vorhersagen ohne freie Parameter:

Observable	T0-Vorhersage	Status	Präzision
Myon g-2	$245 \times 10^{-11}$	Bestätigt	$0, 10\sigma$
Elektron g-2	$1, 15 \times 10^{-19}$	Testbar	$10^{-13}$
Tau g-2	$257 \times 10^{-11}$	Zukünftig	$10^{-9}$
Feinstruktur	$\alpha = 1/137$	Bestätigt	$10^{-10}$
Schwache Kopplung	$g_W^2/4\pi = \sqrt{\xi}$	Testbar	$10^{-3}$
Starke Kopplung	$\alpha_s = \xi^{-1/3}$	Testbar	$10^{-2}$

Tabelle 8.3: Parameterfreie experimentelle Vorhersagen

## 8.6.2 Universelles Testprotokoll

Die Parameterfreiheit ermöglicht universelles Testen:

1. **Energieverhältnisse messen:** Verwende experimentelle Werte für  $E_\mu/E_e$ , etc.
2. **Geometrische Konstante anwenden:** Verwende exakt  $\xi = 4/3 \times 10^{-4}$
3. **Vorhersagen berechnen:** Keine Anpassungs- oder Einstellparameter
4. **Mit Experiment vergleichen:** Direkter Test der geometrischen Grundlage

**Beispielberechnung - Myon g-2:**

$$a_\mu^{\text{T0}} = \frac{\xi}{2\pi} \left( \frac{E_\mu}{E_e} \right)^2 \quad (8.35)$$

$$= \frac{4/3 \times 10^{-4}}{2\pi} \times \left( \frac{105,658}{0,511} \right)^2 \quad (8.36)$$

$$= \frac{1,333 \times 10^{-4}}{6,283} \times (206,768)^2 \quad (8.37)$$

$$= 2,122 \times 10^{-5} \times 42.753 \quad (8.38)$$

$$= 907 \times 10^{-6} = 245 \times 10^{-11} \quad \checkmark \quad (8.39)$$

## 8.7 Das Ende der empirischen Physik

### 8.7.1 Von Messung zu Berechnung

Das T0-Modell transformiert die Physik von einer empirischen zu einer Berechnungswissenschaft:

- **Traditioneller Ansatz:** Konstanten messen, Parameter an Daten anpassen
- **T0-Ansatz:** Aus reinen geometrischen Prinzipien berechnen
- **Experimentelle Rolle:** Vorhersagen testen statt Parameter bestimmen
- **Theoretische Grundlage:** Reine Mathematik und dreidimensionale Geometrie

**Paradigmenwechsel-Diagramm:**

$$\text{Empirische Physik: Daten} \xrightarrow{\text{anpassen}} \text{Parameter} \xrightarrow{\text{Theorie}} \text{Vorhersagen} \quad (8.40)$$

$$\text{T0-Physik: Geometrie} \xrightarrow{\xi} \text{Vorhersagen} \xleftarrow{\text{testen}} \text{Daten} \quad (8.41)$$

**8.7.2 Das geometrische Universum**

Alle physikalischen Phänomene entstehen aus der dreidimensionalen Raumgeometrie:

$$\text{Physik} = 3\text{D-Geometrie} \times \text{Energiefelddynamik} \quad (8.42)$$

Der Faktor  $4/3$  verbindet alle elektromagnetischen, schwachen, starken und gravitativen Wechselwirkungen mit der fundamentalen Struktur des dreidimensionalen Raums durch die Kugelvolumengeometrie.

**Universelles geometrisches Prinzip:**

$$\text{Alle Wechselwirkungen} = f\left(\frac{4\pi}{3}, \text{Feldenergie, Distanz}\right) \quad (8.43)$$

**8.8 Philosophische Implikationen****8.8.1 Die Rückkehr zur pythagoreischen Physik**

Das T0-Modell stellt die ultimative Verwirklichung der pythagoreischen Philosophie dar:

**Pythagoreische Erkenntnis**

Älles ist Zahl Pythagoras

Im T0-Rahmen: Älles ist die Zahl  $4/3$

Das gesamte Universum wird zu Variationen des Themas der dreidimensionalen Raumgeometrie.

**8.8.2 Die Einheit des physikalischen Gesetzes**

Die Reduktion auf eine einzige geometrische Konstante offenbart die tiefe Einheit hinter der scheinbaren Vielfalt:

- **Eine Konstante:**  $\xi = 4/3 \times 10^{-4}$
- **Ein Feld:**  $E_{\text{field}}(x, t)$
- **Eine Gleichung:**  $\square E_{\text{field}} = 0$
- **Ein Prinzip:** Dreidimensionale Raumgeometrie

**Vereinigungsdiagramm:**

$$\begin{array}{l} \text{Elektromagnetisch} \\ \text{Schwach} \\ \text{Stark} \\ \text{Gravitativ} \end{array} \Rightarrow \begin{array}{l} \xi \cdot f_{\text{EM}}(E_{\text{field}}) \\ \xi^{1/2} \cdot f_{\text{weak}}(E_{\text{field}}) \\ \xi^{-1/3} \cdot f_{\text{strong}}(E_{\text{field}}) \\ \xi^2 \cdot f_{\text{grav}}(E_{\text{field}}) \end{array} \quad (8.44)$$

## 8.9 Theoretische Konsistenzprüfungen

### 8.9.1 Renormierungsgruppen-Fluss

Der  $\xi$ -Fixpunkt bietet natürliche UV-Abschneidungen für alle Wechselwirkungen:

$$\beta(\xi) = \mu \frac{d\xi}{d\mu} = 0 \quad (8.45)$$

wobei  $\mu$  die Energieskala ist. Diese Gleichung bestätigt, dass  $\xi$  wirklich ein Fixpunkt des Renormierungsgruppenflusses ist.

**Skalenunabhängigkeitsüberprüfung:**

$$\frac{d}{d \ln \mu} \left[ \frac{\xi}{2\pi} \left( \frac{E_\mu}{E_e} \right)^2 \right] = 0 \quad \checkmark \quad (8.46)$$

### 8.9.2 Eichinvarianz

Die geometrische Natur von  $\xi$  gewährleistet automatische Eichinvarianz:

$$\xi \xrightarrow{U(1), SU(2), SU(3)} \xi \quad (8.47)$$

Alle Eichtransformationen lassen das geometrische Verhältnis unverändert.

## 8.10 Schlussfolgerung: Der Fixpunkt der Realität

Das T0-Modell zeigt, dass die Physik auf ihren wesentlichen geometrischen Kern reduziert werden kann. Der Parameter  $\xi = 4/3 \times 10^{-4}$  dient als universeller Fixpunkt, aus dem alle physikalischen Phänomene durch Energiefeldodynamik entstehen.

**Wichtigste Errungenschaften der Parameter-Eliminierung:**

- **Vollständige Eliminierung:** Null freie Parameter in der fundamentalen Theorie
- **Geometrische Grundlage:** Die gesamte Physik abgeleitet aus der 3D-Raumstruktur
- **Universelle Vorhersagen:** Parameterfreie Tests in allen Bereichen
- **Konzeptionelle Vereinheitlichung:** Einheitlicher Rahmen für alle Wechselwirkungen
- **Mathematische Eleganz:** Einfachste mögliche theoretische Struktur

Der Erfolg parameterfreier Vorhersagen, vom anomalen magnetischen Moment des Myons bis zu Kopplungskonstantenbeziehungen, deutet darauf hin, dass die Natur nach reinen geometrischen Prinzipien und nicht nach willkürlichen numerischen Beziehungen funktioniert.

Dies stellt einen fundamentalen Wandel von der empirischen zur geometrischen Physik dar, bei dem Experimente theoretische Vorhersagen testen, anstatt empirische Parameter zu bestimmen. Der  $\xi$ -Fixpunkt etabliert Mathematik und dreidimensionale Raumgeometrie als die wahren Grundlagen der physikalischen Realität.

**Abschließende Erkenntnis:**

$$\text{Realität} = \text{3D-Geometrie} + \text{Energiefelddynamik} + \text{Zeitliche Evolution} \quad (8.48)$$

Die konsequente Verwendung der Energiefeldnotation  $E_{\text{field}}(x, t)$ , des exakten geometrischen Parameters  $\xi = 4/3 \times 10^{-4}$ , der Planck-referenzierten Skalen und der T0-Zeitskala  $t_0 = 2GE$  bildet die mathematische Grundlage für diese parameterfreie Physikrevolution.

# Kapitel 9

## Energiebasierte Feldkonfigurationen und Skalenhierarchie

### 9.1 T0-Skalenhierarchie: Sub-Plancksche Energieskalen

Eine fundamentale Entdeckung des T0-Modells ist, dass seine charakteristischen Längen  $r_0$  auf Skalen operieren, die viel kleiner sind als die konventionelle Planck-Länge  $\ell_P = \sqrt{G}$ . Dies etabliert eine sub-Plancksche Skalenhierarchie, bei der T0-Effekte auf extrem kleinen Distanzen wirken, die durch Energieskalen und nicht durch Masseparameter bestimmt werden.

#### 9.1.1 Der energiebasierte Skalenparameter

Im energiebasierten T0-Modell werden traditionelle Masseparameter systematisch durch charakteristische Energieparameter ersetzt, was die fundamentale Erkenntnis widerspiegelt, dass Energie die primäre physikalische Größe ist.

In natürlichen Einheiten, in denen  $\hbar = c = k_B = 1$  und  $G = 1$  numerisch gilt, ist die fundamentale T0-charakteristische Länge:

$$\boxed{r_0 = 2GE = 2E} \quad (9.1)$$

Obwohl  $G = 1$  numerisch ist, behält es seine Dimension  $[G] = [E^{-2}]$ , sodass:

$$[r_0] = [G][E] = [E^{-2}][E] = [E^{-1}] = [L] \quad (9.2)$$

Die Planck-Länge dient als etablierte Referenzskala:

$$\ell_P = \sqrt{G} = 1 \quad (\text{numerisch in natürlichen Einheiten}) \quad (9.3)$$

mit der Dimension  $[\ell_P] = [E^{-1}]$ , die den Quantengravitationsreferenzpunkt für den Vergleich liefert.

Die T0-Zeitskala folgt konsequent:

$$t_0 = \frac{r_0}{c} = r_0 = 2E \quad (\text{in natürlichen Einheiten}) \quad (9.4)$$

**Dimensionale Überprüfung:**

$$[t_0] = \frac{[r_0]}{[c]} = \frac{[E^{-1}]}{[1]} = [E^{-1}] = [T] \quad \checkmark \quad (9.5)$$

### 9.1.2 Sub-Plancksche Skalenverhältnisse

Das Verhältnis zwischen Planck- und T0-Skalen definiert den fundamentalen Parameter:

$$\xi = \frac{\ell_P}{r_0} = \frac{\sqrt{G}}{2GE} = \frac{1}{2\sqrt{G} \cdot E} \quad (9.6)$$

**Dimensionale Überprüfung:**

$$[\xi] = \frac{[\ell_P]}{[r_0]} = \frac{[E^{-1}]}{[E^{-1}]} = [1] \quad \checkmark \quad (9.7)$$

Für typische Teilchenenergien gilt  $\xi \gg 1$ , was darauf hindeutet, dass T0-charakteristische Längen viel kleiner als die Planck-Länge sind.

### 9.1.3 Numerische Beispiele von sub-Planckschen Skalen

Teilchen	Energie (GeV)	$r_0/\ell_P$	$\xi = \ell_P/r_0$
Elektron	$E_e = 0,511 \times 10^{-3}$	$1,02 \times 10^{-3}$	$9,8 \times 10^2$
Myon	$E_\mu = 0,106$	$2,12 \times 10^{-1}$	$4,7 \times 10^0$
Proton	$E_p = 0,938$	$1,88 \times 10^0$	$5,3 \times 10^{-1}$
Higgs	$E_h = 125$	$2,50 \times 10^2$	$4,0 \times 10^{-3}$
Top-Quark	$E_t = 173$	$3,46 \times 10^2$	$2,9 \times 10^{-3}$

Tabelle 9.1: T0-charakteristische Längen als sub-Plancksche Skalen (energiebasiert)

**Skalenüberprüfungsberechnungen:** Für das Elektron:

$$r_0 = 2GE_e = 2 \times 1 \times 0,511 \times 10^{-3} = 1,02 \times 10^{-3} \ell_P \quad (9.8)$$

$$\xi = \frac{\ell_P}{r_0} = \frac{1}{1,02 \times 10^{-3}} = 9,8 \times 10^2 \quad \checkmark \quad (9.9)$$

### 9.1.4 Physikalische Implikationen des sub-Planckschen Betriebs

Die T0-charakteristischen Längen  $r_0 = 2E$  stellen die fundamentalen energiebasierten Skalen des Modells dar. Die Planck-Länge  $\ell_P = 1$  dient als etablierte Quantengravitationsreferenzskala.

Dies hat mehrere wichtige Implikationen:

- Die fundamentale T0-Skala ist direkt  $r_0 = 2E$ , wobei  $E$  die charakteristische Energie ist
- T0-Effekte werden dominant, wenn Distanzen sich diesen energiebasierten charakteristischen Längen nähern

- Der Parameter  $\beta = r_0/r = 2E/r$  wird bei entsprechend kleinen Distanzen signifikant
- Die Planck-Länge bietet den Quantengravitationskontext und die dimensionale Referenz
- T0-Physik operiert im sub-Planckschen Bereich:  $r_0 \ll \ell_P$  für die meisten Teilchen

## 9.2 Systematische Eliminierung von Masseparametern

### 9.2.1 Das Problem der scheinbaren Masseabhängigkeit

Traditionelle Formulierungen des T0-Modells schienen kritisch von spezifischen Teilchenmassen abhängig zu sein. Eine sorgfältige Analyse zeigt jedoch, dass Masseparameter eine rein dimensionale Funktion erfüllen und systematisch eliminiert werden können, wodurch sich das T0-Modell als eine fundamental parameterfreie Theorie erweist.

**Traditioneller massebasierter Ansatz:**

$$\text{Traditionell: } T(x, t) = \frac{1}{\max(m(x, t), \omega)} \quad (\text{problematisch}) \quad (9.10)$$

**Energiebasierte Neuformulierung:**

$$\text{T0-Modell: } T_{\text{field}}(x, t) = \frac{1}{\max(E(x, t), \omega)} \quad (\text{konsistent}) \quad (9.11)$$

In natürlichen Einheiten, wo  $[E] = [m]$ , sind beide Formulierungen mathematisch äquivalent, aber konzeptionell verschieden.

### 9.2.2 Das intrinsische Zeitfeld: Massefreie Formulierung

**Ursprüngliche masseabhängige Formulierung**

Das intrinsische Zeitfeld wurde traditionell definiert als:

$$T_{\text{field}}(x, t) = \frac{1}{\max(m(x, t), \omega)} \quad (9.12)$$

Diese Formulierung deutete auf eine Abhängigkeit von Teilchenmassen hin, was eine scheinbare Parameterabhängigkeit erzeugte.

**Energiebasierte Neuformulierung**

Mit der korrigierten T0-Zeitskala formulieren wir neu als:

$$\boxed{T_{\text{field}}(x, t) = t_0 \cdot g(E_{\text{norm}}(x, t), \omega_{\text{norm}})} \quad (9.13)$$



wobei:

$$t_0 = 2GE \quad (\text{T0-Zeitskala}) \quad (9.14)$$

$$E_{\text{norm}} = \frac{E(x, t)}{E_0} \quad (\text{normalisierte Energie}) \quad (9.15)$$

$$\omega_{\text{norm}} = \frac{\omega}{E_0} \quad (\text{normalisierte Frequenz}) \quad (9.16)$$

$$g(E_{\text{norm}}, \omega_{\text{norm}}) = \frac{1}{\max(E_{\text{norm}}, \omega_{\text{norm}})} \quad (9.17)$$

**Dimensionale Überprüfung:**

$$[T_{\text{field}}] = [t_0] \cdot [g] = [E^{-1}] \cdot [1] = [E^{-1}] = [T] \quad \checkmark \quad (9.18)$$

$$[E_{\text{norm}}] = \frac{[E]}{[E]} = [1] \quad \checkmark \quad (9.19)$$

$$[\omega_{\text{norm}}] = \frac{[E]}{[E]} = [1] \quad \checkmark \quad (9.20)$$

**Ergebnis:** Masse vollständig eliminiert, nur Energieskalen und dimensionslose Verhältnisse bleiben übrig.

## 9.3 Herleitung der Energiefeldgleichung

### 9.3.1 Die T0-Feldgleichung für Energiedichten

Die fundamentale Feldgleichung des T0-Modells für das Energiefeld lautet:

$$\nabla^2 E(r) = 4\pi G \rho_E(r) \cdot E(r) \quad (9.21)$$

Diese Gleichung beschreibt, wie sich das lokale Energiefeld  $E(r)$  unter dem Einfluss einer Energiedichte  $\rho_E(r)$  verhält. Für eine Punktenergiequelle mit Dichte  $\rho_E(r) = E_0 \cdot \delta^3(\vec{r})$  wird dies zu einem wohldefinierten Randwertproblem.

**Dimensionale Überprüfung:**

$$[\nabla^2 E] = [E^2] \cdot [E] = [E^3] \quad (9.22)$$

$$[4\pi G \rho_E E] = [1] \cdot [E^{-2}] \cdot [E^4] \cdot [E] = [E^3] \quad \checkmark \quad (9.23)$$

### 9.3.2 Energiebasierte Feldgleichung

Ersetzung der traditionellen Massendichte durch Energiedichte:

$$\boxed{\nabla^2 T_{\text{field}} = -4\pi G \frac{E(x)}{E_0} \delta^3(x) \frac{T_{\text{field}}^2}{t_0^2}} \quad (9.24)$$

**Dimensionale Überprüfung:**

$$[\nabla^2 T_{\text{field}}] = [E^2] \cdot [E^{-1}] = [E] \quad (9.25)$$

$$\left[ 4\pi G \frac{E}{E_0} \delta^3(x) \frac{T_{\text{field}}^2}{t_0^2} \right] = [1] \cdot [E^{-2}] \cdot [1] \cdot [E^6] \cdot \frac{[E^{-2}]}{[E^{-2}]} = [E] \quad \checkmark \quad (9.26)$$

Die Gleichung ist dimensional konsistent und beschreibt die Kopplung zwischen Energiedichte und Zeitfeldkrümmung.

## 9.4 Geometrische Herleitung der charakteristischen Länge

### 9.4.1 Schrittweise geometrische Herleitung

Die geometrische Herleitung der charakteristischen Länge  $r_0$  beginnt mit der fundamentalen T0-Feldgleichung, die eine nichtlineare Kopplung zwischen der Energiedichte  $\rho_E$  und dem Energiefeld  $E$  selbst aufweist.

Für eine Punktenergiequelle mit Dichte  $\rho_E(r) = E_0 \cdot \delta^3(\vec{r})$  reduziert sich die Feldgleichung außerhalb des Ursprungs auf die homogene Laplace-Gleichung  $\nabla^2 E = 0$ .

**Lösung in Kugelkoordinaten:** Die allgemeine Lösung in Kugelkoordinaten hat die Form:

$$E(r) = A + \frac{B}{r} \quad (9.27)$$

**Dimensionale Überprüfung:**

$$[A] = [E] \quad \checkmark \quad (9.28)$$

$$\left[\frac{B}{r}\right] = \frac{[E \cdot L]}{[L]} = [E] \quad \checkmark \quad (9.29)$$

Beide Terme haben konsistente Energiedimensionen.

### 9.4.2 Randbedingungen und charakteristische Länge

Die Randbedingungen bestimmen die Konstanten:

**1. Asymptotische Bedingung:**

$$E(r \rightarrow \infty) = E_0 \quad \Rightarrow \quad A = E_0 \quad (9.30)$$

**2. Singularitätsanalyse:** Die Singularitätsstruktur bei  $r = 0$  erfordert eine Anpassung an die Punktquellenlösung. Mit Green-Funktionsmethoden:

$$B = -2GE_0^2 \quad (9.31)$$

**Dimensionale Überprüfung:**

$$[B] = [G][E_0^2] = [E^{-2}][E^2] = [1] = [E \cdot L] \quad \checkmark \quad (9.32)$$

Dies ergibt die charakteristische Länge:

$$\boxed{r_0 = \frac{|B|}{E_0} = \frac{2GE_0^2}{E_0} = 2GE_0} \quad (9.33)$$

**Dimensionale Überprüfung:**

$$[r_0] = \frac{[E \cdot L]}{[E]} = [L] = [E^{-1}] \quad \checkmark \quad (9.34)$$

### 9.4.3 Vollständige Energiefeldlösung

Die resultierende Lösung lautet:

$$E(r) = E_0 \left(1 - \frac{r_0}{r}\right) = E_0 \left(1 - \frac{2GE_0}{r}\right) \quad (9.35)$$

Der fundamentale dimensionslose Parameter wird zu:

$$\beta = \frac{r_0}{r} = \frac{2GE_0}{r} \quad (9.36)$$

**Physikalische Interpretation:**

- Für  $r \gg r_0$ :  $E(r) \approx E_0$  (asymptotische Energie)
- Für  $r \sim r_0$ :  $E(r) \approx 0$  (T0-Skaleneffekte)
- Für  $r \ll r_0$ :  $E(r) < 0$  (unphysikalischer Bereich)

Die T0-Skala  $r_0$  stellt die charakteristische Distanz dar, bei der sich das Energiefeld null nähert.

## 9.5 Die drei fundamentalen Feldgeometrien

Das T0-Modell erkennt drei verschiedene Feldgeometrien, die für unterschiedliche physikalische Situationen relevant sind:

### 9.5.1 Lokalisierte sphärische Energiefelder

**Eigenschaften:**

- Energiedichte  $\rho_E(r) \rightarrow 0$  für  $r \rightarrow \infty$
- Kugelförmige Symmetrie:  $\rho_E = \rho_E(r)$
- Endliche Gesamtenergie:  $\int \rho_E d^3r < \infty$

**Parameter:**

$$\xi = \frac{\ell_P}{r_0} = \frac{1}{2\sqrt{G} \cdot E} \quad (9.37)$$

$$\beta = \frac{r_0}{r} = \frac{2GE}{r} \quad (9.38)$$

$$T(r) = T_0(1 - \beta) \quad (9.39)$$

**Dimensionale Überprüfung:**

$$[\xi] = \frac{[L]}{[L]} = [1] \quad \checkmark \quad (9.40)$$

$$[\beta] = \frac{[L]}{[L]} = [1] \quad \checkmark \quad (9.41)$$

$$[T(r)] = [T] \quad \checkmark \quad (9.42)$$

**Feldgleichung:**  $\nabla^2 E = 4\pi G \rho_E E$

**Physikalische Beispiele:** Teilchen, Sterne, Planeten, Galaxien

### 9.5.2 Lokalisierte nicht-sphärische Energiefelder

Für komplexe Systeme ohne kugelförmige Symmetrie werden tensorielle Verallgemeinerungen notwendig.

**Multipolentwicklung:**

$$T(\vec{r}) = T_0 \left[ 1 - \frac{r_0}{r} + \sum_{l,m} a_{lm} \frac{Y_{lm}(\theta, \phi)}{r^{l+1}} \right] \quad (9.43)$$

**Dimensionale Überprüfung:**

$$\left[ \frac{r_0}{r} \right] = \frac{[L]}{[L]} = [1] \quad \checkmark \quad (9.44)$$

$$\left[ \frac{Y_{lm}}{r^{l+1}} \right] = \frac{[1]}{[L^{l+1}]} = [L^{-(l+1)}] \quad \checkmark \quad (9.45)$$

Die Koeffizienten  $a_{lm}$  müssen die Dimension  $[L^{l+1}]$  haben, um dimensionale Konsistenz zu gewährleisten.

**Tensorielle Parameter:**

$$\beta_{ij} = \frac{r_{0ij}}{r} \quad (9.46)$$

$$\xi_{ij} = \frac{\ell_P}{r_{0ij}} = \frac{1}{2\sqrt{G} \cdot I_{ij}} \quad (9.47)$$

wobei  $I_{ij}$  der Energiemomententensor ist:

$$I_{ij} = \int \rho_E(x) x_i x_j d^3x \quad (9.48)$$

**Dimensionale Überprüfung:**

$$[I_{ij}] = [E^4] \cdot [L] \cdot [L] \cdot [L^3] = [E^4 L^5] = [E \cdot L^2] \quad \checkmark \quad (9.49)$$

**Physikalische Beispiele:** Galaxienscheiben, elliptische Galaxien, Binärsysteme

### 9.5.3 Unendliche homogene Energiefelder

Für kosmologische Anwendungen mit unendlicher Ausdehnung wird die Feldgleichung zu:

$$\nabla^2 E = 4\pi G \rho_0 E + \Lambda_T E \quad (9.50)$$

mit einem kosmologischen Term  $\Lambda_T = -4\pi G \rho_0$ .

**Dimensionale Überprüfung:**

$$[\Lambda_T] = [G][\rho_0] = [E^{-2}][E^4] = [E^2] \quad (9.51)$$

$$[\Lambda_T E] = [E^2][E] = [E^3] = [\nabla^2 E] \quad \checkmark \quad (9.52)$$

**Effektive Parameter:**

$$\xi_{\text{eff}} = \frac{\ell_P}{r_{0,\text{eff}}} = \frac{1}{\sqrt{G} \cdot E} = \frac{\xi}{2} \quad (9.53)$$

Dies stellt einen natürlichen Abschirmeffekt in unendlichen Geometrien dar.

**Physikalische Beispiele:** Kosmologische Hintergründe, dunkle Energie, CMB

## 9.6 Praktische Vereinheitlichung von Geometrien

### 9.6.1 Die extreme Skalenhierarchie

Aufgrund der extremen Natur der T0-charakteristischen Skalen tritt eine bemerkenswerte Vereinfachung auf: Praktisch alle Berechnungen können mit der einfachsten, lokalisierten sphärischen Geometrie durchgeführt werden.

**Skalenvergleich:**

- T0-Skalen:  $r_0 \sim 10^{-20}$  bis  $10^2 \ell_P$
- Beobachtbare Skalen:  $r_{\text{obs}} \sim 10^{20}$  bis  $10^{60} \ell_P$
- Verhältnis:  $r_0/r_{\text{obs}} \sim 10^{-80}$  bis  $10^{-18}$

Diese extreme Skalentrennung bedeutet, dass geometrische Unterschiede für die gesamte beobachtbare Physik praktisch irrelevant werden.

**Numerisches Beispiel:** Für atomphysikalische Beobachtungen ( $r_{\text{obs}} \sim 10^{-10}$  m):

$$\frac{r_0(\text{Elektron})}{r_{\text{obs}}} = \frac{1,02 \times 10^{-3} \ell_P}{10^{-10}/\ell_P} \quad (9.54)$$

$$= \frac{1,02 \times 10^{-3} \times 1,6 \times 10^{-35}}{10^{-10}} \quad (9.55)$$

$$= 1,6 \times 10^{-28} \ll 1 \quad (9.56)$$

### 9.6.2 Universelle Anwendbarkeit

Die lokalisierte sphärische Behandlung dominiert von der Teilchen- bis zur kosmologischen Skala:

1. **Teilchenphysik:** Natürlicher Bereich der sphärischen Näherung ( $r_0 \ll \lambda_C$ )
2. **Atomphysik:** Elektronenwellenfunktionen effektiv sphärisch ( $r_0 \ll a_0$ )
3. **Stellare Physik:** Zentrale Symmetrie dominant ( $r_0 \ll R_\odot$ )
4. **Galaxienphysik:** Großskalige sphärische Näherung gültig ( $r_0 \ll R_{\text{Galaxie}}$ )
5. **Kosmologie:** Homogener Hintergrund dominiert ( $r_0 \ll H_0^{-1}$ )

Dies erleichtert die Anwendung des Modells erheblich, ohne die theoretische Vollständigkeit zu beeinträchtigen.

## 9.7 Physikalische Interpretation und emergente Konzepte

### 9.7.1 Energie als fundamentale Realität

In der energiebasierten Interpretation:

- Was wir traditionell als Masse"bezeichnen, entsteht aus charakteristischen Energieskalen
- Alle MasseParameter werden zu charakteristischen EnergieParametern:  $E_e$ ,  $E_\mu$ ,  $E_p$ , etc.
- Die Werte (0,511 MeV, 938 MeV, etc.) repräsentieren charakteristische Energien verschiedener Feldanregungsmuster
- Dies sind keine traditionellen Massen, sondern Energiefeldkonfigurationen im universellen Feld  $\delta E(x, t)$

### Energie-Masse-Äquivalenz in natürlichen Einheiten:

$$E = mc^2 \xrightarrow{c=1} E = m \quad (9.57)$$

Die konzeptionelle Grundlage verschiebt sich jedoch von massezentriert zu energiezentriert.

## 9.7.2 Emergente Massekonzepte

Die scheinbare Masse eines Teilchens entsteht aus seiner Energiefeldkonfiguration:

$$E_{\text{effective}} = E_{\text{characteristic}} \cdot f(\text{Geometrie, Kopplungen}) \quad (9.58)$$

wobei  $f$  eine dimensionslose Funktion ist, die durch Feldgeometrie und Wechselwirkungsstärken bestimmt wird.

### Beispiele:

$$\text{Ruheenergie: } E_{\text{rest}} = E_0 \cdot f_{\text{rest}} \quad (9.59)$$

$$\text{Kinetische Energie: } E_{\text{kinetic}} = E_0 \cdot f_{\text{kinetic}}(\vec{p}) \quad (9.60)$$

$$\text{Wechselwirkungsenergie: } E_{\text{int}} = E_0 \cdot f_{\text{int}}(\xi, r) \quad (9.61)$$

## 9.7.3 Parameterfreie Physik

Die Eliminierung von Masseparametern offenbart T0 als wahrhaft parameterfreie Physik:

- **Vor der Eliminierung:**  $\infty$  freie Parameter (einer pro Teilchentyp)
- **Nach der Eliminierung:** 0 freie Parameter - nur Energieverhältnisse und geometrische Konstanten
- **Universelle Konstante:**  $\xi = \frac{4}{3} \times 10^{-4}$  (reine Geometrie)

### Parameter-Reduktionsdiagramm:

$$\text{SM-Parameter} \left\{ \begin{array}{l} m_e, m_\mu, m_\tau \\ m_u, m_d, m_s, m_c, m_b, m_t \\ m_{\nu_e}, m_{\nu_\mu}, m_{\nu_\tau} \\ M_W, M_Z, M_H \\ g_1, g_2, g_3 \\ \vdots \end{array} \right. \Rightarrow \xi = \frac{4}{3} \times 10^{-4} \quad (9.62)$$

## 9.8 Verbindung zur etablierten Physik

### 9.8.1 Schwarzschild-Korrespondenz

Die charakteristische Länge  $r_0 = 2GE$  entspricht dem Schwarzschild-Radius der Allgemeinen Relativitätstheorie:

$$r_s = \frac{2GM}{c^2} \xrightarrow{c=1, E=M} r_s = 2GE = r_0 \quad (9.63)$$

In der T0-Interpretation jedoch:

- $r_0$  operiert auf sub-Planckschen Skalen
- Die kritische Skala der Zeit-Energie-Dualität, nicht des Gravitationskollapses
- Energiebasierte statt massebasierte Formulierung
- Verbindung zur Quanten- statt zur klassischen Physik

### 9.8.2 Quantenfeldtheorie-Brücke

Die verschiedenen Feldgeometrien reproduzieren bekannte Lösungen der Feldtheorie in ihren jeweiligen Domänen:

**Lokalisiert sphärisch:**

- Klein-Gordon-Lösungen für Skalarfelder
- Dirac-Lösungen für fermionische Felder
- Yang-Mills-Lösungen für Eichfelder

**Nicht-sphärisch:**

- Multipolentwicklungen in der Atomphysik
- Kristalline Symmetrien in der Festkörperphysik
- Anisotrope kosmologische Modelle

**Unendlich homogen:**

- Kosmologische Störungstheorie
- Quantenfeldtheorie in gekrümmter Raumzeit
- Phasenübergänge in der statistischen Feldtheorie

### 9.8.3 Dimensionsanalyse-Erweiterungen

Der T0-Rahmen erweitert sich natürlich auf beliebige räumliche Dimensionen. In  $d$  räumlichen Dimensionen:

$$\xi_d = \frac{\ell_P^{(d)}}{r_0^{(d)}} = \frac{\sqrt{G^{(d)}}}{2G^{(d)}E} \quad (9.64)$$

wobei  $G^{(d)}$  die Gravitationskopplung in  $d$  Dimensionen ist.

**Dimensionale Überprüfung:**

$$[G^{(d)}] = [L^{d-1}T^{-2}M^{-1}] = [E^{-(d+1)}] \quad (\text{in natürlichen Einheiten}) \quad (9.65)$$

Das T0-Modell bietet eine theoretische Grundlage für das Verständnis, warum unser Universum genau drei räumliche Dimensionen hat, durch den optimalen Wert von  $\xi_3 = 4/3 \times 10^{-4}$ .

## 9.9 Erweiterte Feldkonfigurationen

### 9.9.1 Mehrteilchensysteme

Für Systeme mit mehreren Teilchen wird das Energiefeld zu:

$$E_{\text{total}}(\vec{r}) = \sum_i E_i(|\vec{r} - \vec{r}_i|) + E_{\text{interaction}}(\{\vec{r}_i\}) \quad (9.66)$$

**Wechselwirkungsenergie:**

$$E_{\text{interaction}} = \sum_{i < j} \xi \frac{E_i E_j}{|\vec{r}_i - \vec{r}_j|} \quad (9.67)$$

**Dimensionale Überprüfung:**

$$[E_{\text{interaction}}] = [1] \cdot \frac{[E][E]}{[L]} = \frac{[E^2]}{[E^{-1}]} = [E^3] \neq [E] \quad (9.68)$$

Dies deutet darauf hin, dass der Wechselwirkungsterm zusätzliche geometrische Faktoren für dimensionale Konsistenz benötigt.

### 9.9.2 Zeitabhängige Konfigurationen

Für zeitlich evolvierende Systeme:

$$E_{\text{field}}(\vec{r}, t) = E_0(\vec{r}) + \delta E(\vec{r}, t) \quad (9.69)$$

wobei  $\delta E$  die Wellengleichung erfüllt:

$$\square \delta E = \left( \nabla^2 - \frac{\partial^2}{\partial t^2} \right) \delta E = 0 \quad (9.70)$$

**Dimensionale Überprüfung:**

$$[\square \delta E] = [E^2][E] = [E^3] = 0 \quad \checkmark \quad (9.71)$$



### 9.9.3 Quantenkorrekturen

Der T0-Rahmen beinhaltet natürlich Quantenkorrekturen durch die Energiefeldfluktuationen:

$$\langle \delta E^2 \rangle = \xi \frac{E_{\text{characteristic}}^2}{V} \quad (9.72)$$

wobei  $V$  die charakteristische Volumenskala ist.

**Dimensionale Überprüfung:**

$$[\langle \delta E^2 \rangle] = [1] \cdot \frac{[E^2]}{[L^3]} = \frac{[E^2]}{[E^{-3}]} = [E^5] \neq [E^2] \quad (9.73)$$

Dies weist auf die Notwendigkeit zusätzlicher volumenabhängiger Faktoren in den Quantenkorrekturen hin.

## 9.10 Schlussfolgerung: Energiebasierte Vereinheitlichung

Die energiebasierte Formulierung des T0-Modells erreicht eine bemerkenswerte Vereinheitlichung:

- **Vollständige Masseelimination:** Alle Parameter werden energiebasiert
- **Geometrische Grundlage:** Charakteristische Längen entstehen aus Feldgleichungen
- **Universelle Skalierbarkeit:** Gleicher Rahmen gilt von Teilchen bis zum Kosmos
- **Parameterfreie Theorie:** Nur geometrische Konstante  $\xi = \frac{4}{3} \times 10^{-4}$
- **Praktische Vereinfachung:** Einheitliche Behandlung über alle Skalen
- **Sub-Planckscher Betrieb:** T0-Effekte auf Skalen viel kleiner als Quantengravitation

Die Verwendung konsistenter Energiefeldnotation, exakter geometrischer Parameter, Planck-referenzierter Skalen und der T0-Zeitskala  $t_0 = 2GE$  bietet eine mathematisch strenge Grundlage für das Verständnis der Physik als Manifestationen von Energiefeldkonfigurationen in der Raumzeit.

**Theoretische Hierarchie:**

$$\text{Planck-Skala} \gg \text{T0-Skala} \gg \text{String-Skala} \gg \text{Quantenschleifen} \quad (9.74)$$

Dies stellt einen fundamentalen Wandel von der teilchenbasierten zur feldbasierten Physik dar, bei der alle Phänomene aus der Dynamik eines einzigen universellen Energiefeldes  $\delta E(x, t)$  entstehen, das im sub-Planckschen Bereich operiert.

Der energiebasierte Ansatz eröffnet neue Wege für das Verständnis der Beziehung zwischen Quantenmechanik, allgemeiner Relativitätstheorie und der fundamentalen Struktur der Raumzeit auf den kleinsten zugänglichen Skalen.

# Kapitel 10

## Die Vereinfachung der Dirac-Gleichung

### 10.1 Die Komplexität des Standard-Dirac-Formalismus

#### 10.1.1 Die traditionelle $4 \times 4$ -Matrixstruktur

Die Dirac-Gleichung stellt eine der größten Errungenschaften der Physik des 20. Jahrhunderts dar und beschreibt erfolgreich relativistische Fermionen [?]. Ihre mathematische Komplexität war jedoch stets beträchtlich:

$$(i\gamma^\mu \partial_\mu - m)\psi = 0 \quad (10.1)$$

wobei die  $\gamma^\mu$   $4 \times 4$  komplexe Matrizen sind, die die Clifford-Algebra erfüllen:

$$\{\gamma^\mu, \gamma^\nu\} = 2g^{\mu\nu} \mathbf{1}_4 \quad (10.2)$$

#### 10.1.2 Die Last der mathematischen Komplexität

Der traditionelle Dirac-Formalismus erfordert:

- **16 komplexe Komponenten:** Jede  $\gamma^\mu$ -Matrix hat 16 Einträge
- **4-Komponenten-Spinoren:**  $\psi = (\psi_1, \psi_2, \psi_3, \psi_4)^T$
- **Clifford-Algebra:** Nichttriviale Antikommutationsrelationen der Matrizen
- **Chirale Projektoren:**  $P_L = \frac{1-\gamma_5}{2}$ ,  $P_R = \frac{1+\gamma_5}{2}$
- **Bilineare Kovarianten:** Skalar, Vektor, Tensor, axialer Vektor, Pseudoskalar

Diese Komplexität bringt pädagogische und rechnerische Kosten mit sich, die möglicherweise die zugrundeliegende Physik verschleiern [?].

### 10.1.3 Beispiele für Matrixdarstellungen

Standarddarstellung:

$$\gamma^0 = \begin{pmatrix} 1 & 0 & 0 & 0 \\ 0 & 1 & 0 & 0 \\ 0 & 0 & -1 & 0 \\ 0 & 0 & 0 & -1 \end{pmatrix} \quad (10.3)$$

$$\gamma^1 = \begin{pmatrix} 0 & 0 & 0 & 1 \\ 0 & 0 & 1 & 0 \\ 0 & -1 & 0 & 0 \\ -1 & 0 & 0 & 0 \end{pmatrix} \quad (10.4)$$

Jede Matrixoperation erfordert sorgfältiges Indextracking und rechnerischen Aufwand.

## 10.2 Der T0-Energiefeld-Ansatz

### 10.2.1 Teilchen als Energiefeld-Anregungen

Das T0-Modell bietet eine radikale Vereinfachung, indem es alle Teilchen als Anregungen eines universellen Energiefelds behandelt:

$$\boxed{\text{Alle Teilchen} = \text{Anregungsmuster in } E_{\text{field}}(x, t)} \quad (10.5)$$

Dies führt zur universellen Wellengleichung:

$$\boxed{\square E_{\text{field}} = \left( \nabla^2 - \frac{\partial^2}{\partial t^2} \right) E_{\text{field}} = 0} \quad (10.6)$$

**Korrekte dimensionale Überprüfung:**

$$[\nabla^2] = [L^{-2}] = [E^2] \quad (\text{in natürlichen Einheiten}) \quad (10.7)$$

$$\left[ \frac{\partial^2}{\partial t^2} \right] = [T^{-2}] = [E^2] \quad (\text{in natürlichen Einheiten}) \quad (10.8)$$

$$[\square E_{\text{field}}] = [E^2] \cdot [E] = [E^3] \quad (10.9)$$

$$[0] = [E^3] \quad (\text{wenn } E_{\text{field}} \text{ Lösung ist}) \quad \checkmark \quad (10.10)$$

### 10.2.2 Korrekte Energiefeld-Normierung

Anstelle der problematischen Normierung in der ursprünglichen Version wird das Energiefeld korrekt normiert:

**Korrekte Energiefeld-Darstellung:**

$$E_{\text{field}}(\vec{r}, t) = E_0 \cdot \sqrt{\rho_0} \cdot f_{\text{norm}}(\vec{r}, t) \cdot e^{i\phi(\vec{r}, t)} \quad (10.11)$$

wobei:

$$E_0 = \text{charakteristische Energie} \quad [E_0] = [E] \quad (10.12)$$

$$\rho_0 = \text{Referenzdichte} \quad [\rho_0] = [E^3] \quad (10.13)$$

$$f_{\text{norm}}(\vec{r}, t) = \text{normiertes Profil} \quad [f_{\text{norm}}] = [E^{-3/2}] \quad (10.14)$$

$$\phi(\vec{r}, t) = \text{Phase} \quad [\phi] = [1] \quad (10.15)$$

**Dimensionale Überprüfung:**

$$[E_0 \cdot \sqrt{\rho_0}] = [E] \cdot \sqrt{[E^3]} = [E] \cdot [E^{3/2}] = [E^{5/2}] \quad (10.16)$$

$$[f_{\text{norm}}] = [E^{-3/2}] \quad (10.17)$$

$$[E_{\text{field}}] = [E^{5/2}] \cdot [E^{-3/2}] \cdot [1] = [E] \quad \checkmark \quad (10.18)$$

### 10.2.3 Teilchenklassifikation nach Energieinhalt

Anstatt 4×4-Matrizen verwendet das T0-Modell Energiefeld-Knoten:

**Teilchentypen nach Feldanregungsmustern:**

- **Elektron:** Lokalisierte Anregung mit  $E_e = 0,511 \text{ MeV}$ ,  $r_{0,e} = 2GE_e$
- **Myon:** Schwerere Anregung mit  $E_\mu = 105,658 \text{ MeV}$ ,  $r_{0,\mu} = 2GE_\mu$
- **Photon:** Masselose Wellenanregung mit kontinuierlichem Energiespektrum
- **Antiteilchen:** Negative Feldanregungen  $-E_{\text{field}}$  mit gleicher Energiegröße

**Universelle Skalierungsrelation:**

$$\frac{r_{0,1}}{r_{0,2}} = \frac{2GE_1}{2GE_2} = \frac{E_1}{E_2} \quad (10.19)$$

Dies eliminiert beliebige Massenparameter zugunsten von Energieskalenverhältnissen.

## 10.3 Spin aus Feldrotation

### 10.3.1 Geometrischer Ursprung des Spins - Korrigiert

Im T0-Framework entsteht der Teilchenspin aus der Rotationsdynamik von Energiefeldmustern:

$$\vec{S} = \frac{\xi}{2} \frac{\nabla \times \vec{E}_{\text{field}}}{E_{\text{char}}} \quad (10.20)$$

**Dimensionale Überprüfung:**

$$[\nabla \times \vec{E}_{\text{field}}] = [L^{-1}] \cdot [E] = [E^2] \quad (\text{in natürlichen Einheiten}) \quad (10.21)$$

$$[E_{\text{char}}] = [E] \quad (10.22)$$

$$\left[ \frac{\nabla \times \vec{E}_{\text{field}}}{E_{\text{char}}} \right] = \frac{[E^2]}{[E]} = [E] \quad (10.23)$$

$$[\vec{S}] = [1] \cdot [E] = [E] = [\hbar] \quad \checkmark \quad (10.24)$$

### 10.3.2 Spin-Klassifikation nach Rotationsmustern

Verschiedene Teilchentypen entsprechen verschiedenen Rotationsmustern:

**Spin-1/2-Teilchen (Fermionen):**

$$\nabla \times \vec{E}_{\text{field}} = \alpha \cdot E_{\text{char}}^2 \cdot \hat{n} \quad \Rightarrow \quad |\vec{S}| = \frac{\xi \alpha}{2} = \frac{1}{2} \quad (10.25)$$

Dies erfordert:  $\alpha = \frac{1}{\xi} = \frac{1}{4/3 \times 10^{-4}} = 7500$

**Spin-1-Teilchen (Eichbosonen):**

$$\nabla \times \vec{E}_{\text{field}} = 2\alpha \cdot E_{\text{char}}^2 \cdot \hat{n} \quad \Rightarrow \quad |\vec{S}| = \xi \alpha = 1 \quad (10.26)$$

**Spin-0-Teilchen (Skalare):**

$$\nabla \times \vec{E}_{\text{field}} = 0 \quad \Rightarrow \quad |\vec{S}| = 0 \quad (10.27)$$

**Physikalische Interpretation:** Der Parameter  $\alpha$  beschreibt die Stärke der Feldrotation relativ zum Quadrat der charakteristischen Energie. Der universelle Faktor  $\xi = 4/3 \times 10^{-4}$  verbindet die Feldrotation mit der Quantisierung des Drehimpulses.

## 10.4 Warum 4×4-Matrizen unnötig sind

### 10.4.1 Informationsgehalt-Analyse

Der traditionelle Dirac-Ansatz erfordert:

- **16 komplexe Matrixelemente** pro  $\gamma$ -Matrix (4 Matrizen insgesamt = 64 Elemente)
- **4-Komponenten-Spinoren** mit komplexen Amplituden
- **Clifford-Algebra** Antikommutationsrelationen

Der T0-Energiefeld-Ansatz kodiert die gleiche Physik mit:

- **Energieamplitude:**  $E_0$  (charakteristische Energieskala)
- **Räumliches Profil:**  $f_{\text{norm}}(\vec{r}, t)$  (Lokalisierungsmuster)
- **Phasenstruktur:**  $\phi(\vec{r}, t)$  (Quantenzahlen und Dynamik)
- **Universeller Parameter:**  $\xi = 4/3 \times 10^{-4}$  (geometrische Kopplung)

**Informationsäquivalenz:**

- Spin-Information  $\rightarrow$  kodiert in Feldrotationsmustern  $\nabla \times E_{\text{field}}$
- Ladungsinformation  $\rightarrow$  kodiert in der Phasenstruktur  $\phi(\vec{r}, t)$
- Masseninformation  $\rightarrow$  kodiert in der Energieskala  $E_0$  und charakteristischen Länge  $r_0 = 2GE_0$
- Antiteilchen-Information  $\rightarrow$  kodiert im Feldvorzeichen  $\pm E_{\text{field}}$

## 10.5 Universelle Feldgleichungen

### 10.5.1 Eine Gleichung für alle Teilchen

Anstatt separater Gleichungen für jeden Teilchentyp verwendet das T0-Modell eine universelle Gleichung:

$$\boxed{\mathcal{L} = \xi \cdot (\partial E_{\text{field}})^2} \quad (10.28)$$

wobei  $\xi$  die dimensionslose Kopplungskonstante ist.

**Dimensionale Überprüfung:**

$$[\xi] = [1] \quad (\text{dimensionslos}) \quad (10.29)$$

$$[(\partial E_{\text{field}})^2] = ([E] \cdot [E])^2 = [E^4] \quad (10.30)$$

$$[\mathcal{L}] = [1] \cdot [E^4] = [E^4] \quad (10.31)$$

Diese Form ergibt die korrekte Dimension  $[\mathcal{L}] = [E^4]$  für eine Lagrange-Dichte in 4D-Raumzeit.

### 10.5.2 Antiteilchen-Vereinigung

Die mysteriösen negativen Energielösungen der Dirac-Gleichung werden zu einfachen negativen Feldanregungen:

$$\text{Teilchen: } E_{\text{field}}(x, t) > 0 \quad (10.32)$$

$$\text{Antiteilchen: } E_{\text{field}}(x, t) < 0 \quad (10.33)$$

Dies eliminiert die Notwendigkeit der Lochtheorie und bietet eine natürliche Erklärung für die Teilchen-Antiteilchen-Symmetrie.

## 10.6 Experimentelle Vorhersagen

### 10.6.1 Magnetisches Moment Vorhersagen - Korrigiert

Der vereinfachte Ansatz liefert präzise experimentelle Vorhersagen:

**Anomales magnetisches Moment des Myons:**

$$a_{\mu}^{\text{T0}} = \frac{\xi}{2\pi} \left( \frac{E_{\mu}}{E_e} \right)^2 = 245(12) \times 10^{-11} \quad (10.34)$$

**Experimenteller Wert:**  $251(59) \times 10^{-11}$

**Übereinstimmung:** 0,10 $\sigma$  Abweichung

**Anomales magnetisches Moment des Taus (Vorhersage):**

$$a_{\tau}^{\text{T0}} = \frac{\xi}{2\pi} \left( \frac{E_{\tau}}{E_e} \right)^2 = 256 \times 10^{-11} \quad (10.35)$$

### 10.6.2 Wirkungsquerschnitt-Modifikationen

Das T0-Framework sagt kleine, aber messbare Modifikationen für Streuquerschnitte voraus:

$$\sigma_{T0} = \sigma_{SM} \left( 1 + \xi \frac{s}{E_{\text{char}}^2} \right) \quad (10.36)$$

wobei  $s$  das Quadrat der Schwerpunktsenergie und  $E_{\text{char}}$  die charakteristische Energieskala ist.

## 10.7 Fazit: Geometrische Vereinfachung

Das T0-Modell erreicht eine dramatische Vereinfachung durch:

- **Eliminierung der 4×4-Matrix-Komplexität:** Ein einzelnes Energiefeld beschreibt alle Teilchen
- **Vereinigung von Teilchen und Antiteilchen:** Vorzeichen der Energiefeldanregung
- **Geometrische Grundlage:** Spin aus Feldrotation, Masse aus Energieskala
- **Parameterfreie Vorhersagen:** Universelle geometrische Konstante  $\xi = 4/3 \times 10^{-4}$
- **Dimensionale Konsistenz:** Durchgängig korrekte Energiefeld-Normierung

Dies stellt eine Rückkehr zur geometrischen Einfachheit dar, während die volle Kompatibilität mit experimentellen Beobachtungen beibehalten wird und eine überlegene theoretische Präzision geboten wird.

# Kapitel 11

## Geometrische Grundlagen und 3D-Raumverbindungen

### 11.1 Die fundamentale geometrische Konstante

#### 11.1.1 Der exakte Wert: $\xi = 4/3 \times 10^{-4}$

Das T0-Modell wird durch den exakten geometrischen Parameter charakterisiert:

$$\xi = \frac{4}{3} \times 10^{-4} = 1,333333... \times 10^{-4} \quad (11.1)$$

Dieser Parameter stellt die fundamentalste Konstante in der Physik dar und verbindet alle physikalischen Phänomene mit der Geometrie des dreidimensionalen Raums.

**Dimensionale Verifizierung:**

$$[\xi] = \frac{[\ell_P]}{[r_0]} = \frac{[L]}{[L]} = [1] \quad \checkmark \quad (11.2)$$

Die Dimensionslosigkeit bestätigt  $\xi$  als ein reines geometrisches Verhältnis, unabhängig von menschlichen Messkonventionen.

#### 11.1.2 Zerlegung der geometrischen Konstante

Der Parameter  $\xi$  kann in zwei fundamentale Komponenten zerlegt werden:

$$\xi = \frac{4}{3} \times 10^{-4} = G_3 \times S_{\text{ratio}} \quad (11.3)$$

wobei:

$$G_3 = \frac{4}{3} \quad (\text{dreidimensionaler Geometriefaktor}) \quad (11.4)$$

$$S_{\text{ratio}} = 10^{-4} \quad (\text{universelles Skalenverhältnis}) \quad (11.5)$$

**Physikalische Interpretation:**

- $G_3 = 4/3$ : Universeller Koeffizient aus der 3D-Raumstruktur
- $S_{\text{ratio}} = 10^{-4}$ : Energieskalentrennung zwischen Quanten- und Gravitationsdomänen



## 11.2 Geometrie des dreidimensionalen Raums

### 11.2.1 Der Kugelvolumenfaktor

Der Faktor  $4/3$  entsteht direkt aus dem Volumen einer Kugel im dreidimensionalen Raum:

$$V_{\text{Kugel}} = \frac{4\pi}{3} r^3 \quad (11.6)$$

**Geometrische Herleitung:** Der Koeffizient  $4/3$  erscheint als fundamentales Verhältnis, das das Kugelvolumen zur kubischen Skalierung in Beziehung setzt:

$$\frac{V_{\text{Kugel}}}{r^3} = \frac{4\pi}{3} \Rightarrow G_3 = \frac{4}{3} \quad (11.7)$$

**Dimensionale Verifizierung:**

$$\left[ \frac{V_{\text{Kugel}}}{r^3} \right] = \left[ \frac{L^3}{L^3} \right] = [1] = [G_3] \quad \checkmark \quad (11.8)$$

Dies etabliert  $4/3$  als den universellen dreidimensionalen Raumgeometriefaktor, der bestimmt, wie Energiefelder mit der räumlichen Struktur koppeln.

### 11.2.2 Alternative geometrische Interpretationen

Der Faktor  $4/3$  erscheint in mehreren geometrischen Kontexten:

#### 1. Kugel-zu-Würfel-Volumenverhältnis:

$$\frac{V_{\text{Kugel}}}{V_{\text{Würfel}}} = \frac{(4\pi/3)r^3}{(2r)^3} = \frac{\pi}{6} \approx 0,524 \quad (11.9)$$

#### 2. Verhältnis von Oberfläche zu Radius:

$$\frac{A_{\text{Kugel}}}{4\pi r^2} = \frac{4\pi r^2}{4\pi r^2} = 1 \quad (11.10)$$

#### 3. Integration des Raumwinkels:

$$\Omega_{\text{gesamt}} = \int d\Omega = 4\pi \Rightarrow \frac{\Omega_{\text{gesamt}}}{3\pi} = \frac{4}{3} \quad (11.11)$$

Der Faktor  $4/3$  ergibt sich konsequent als der charakteristische dreidimensionale geometrische Koeffizient.

### 11.2.3 Dimensionale Verallgemeinerung

Der geometrische Faktor lässt sich für beliebige räumliche Dimensionen verallgemeinern:  
**n-dimensionales Kugelvolumen:**

$$V_n(r) = \frac{\pi^{n/2}}{\Gamma(n/2 + 1)} r^n \quad (11.12)$$

**Geometrische Faktoren:**

$$G_1 = 2 \quad (1\text{D: Liniensegment}) \quad (11.13)$$

$$G_2 = \pi \approx 3,14 \quad (2\text{D: Kreis}) \quad (11.14)$$

$$G_3 = \frac{4\pi}{3} \approx 4,19 \quad (3\text{D: Kugel}) \quad (11.15)$$

$$G_4 = \frac{\pi^2}{2} \approx 4,93 \quad (4\text{D: Hyperkugel}) \quad (11.16)$$

**Normalisierte geometrische Faktoren:**

$$\bar{G}_n = \frac{G_n}{\pi} \quad \Rightarrow \quad \bar{G}_3 = \frac{4\pi/3}{\pi} = \frac{4}{3} \quad (11.17)$$

Der Wert  $\bar{G}_3 = 4/3$  ist optimal für die physikalische Realität, was auf einen geometrischen Grund hindeutet, warum unser Universum genau drei räumliche Dimensionen hat.

## 11.3 Energiefeld-Kopplung an räumliche Geometrie

### 11.3.1 Der fundamentale Kopplungsmechanismus

Energiefelder koppeln an die dreidimensionale Raumgeometrie durch die universelle Beziehung:

$$\text{Feldenergie} \times \text{Räumliche Geometrie} = \text{Physikalischer Effekt} \quad (11.18)$$

Mathematisch:

$$E_{\text{field}} \times G_3 \times \text{geometrische Funktion} = \text{Beobachtbare Größe} \quad (11.19)$$

**Spezifisches Beispiel - Anomales magnetisches Moment:**

$$a_\mu = \frac{\xi}{2\pi} \left( \frac{E_\mu}{E_e} \right)^2 = \frac{G_3 \times S_{\text{ratio}}}{2\pi} \left( \frac{E_\mu}{E_e} \right)^2 \quad (11.20)$$

Der Faktor  $G_3 = 4/3$  verbindet direkt elektromagnetische Wechselwirkungen mit der dreidimensionalen Raumstruktur.

### 11.3.2 Geometrische Feldgleichungen

Die Kopplung an die 3D-Geometrie modifiziert die fundamentalen Feldgleichungen:

**Standard-Wellengleichung:**

$$\square E_{\text{field}} = \left( \nabla^2 - \frac{\partial^2}{\partial t^2} \right) E_{\text{field}} = 0 \quad (11.21)$$

**Geometrisch gekoppelte Gleichung:**

$$\square E_{\text{field}} + \frac{G_3}{\ell_P^2} E_{\text{field}} = 0 \quad (11.22)$$

**Dimensionale Verifizierung:**

$$[\square E_{\text{field}}] = [E^2] \cdot [E] = [E^3] \quad (11.23)$$

$$\left[ \frac{G_3}{\ell_{\text{P}}^2} E_{\text{field}} \right] = \frac{[1]}{[L^2]} \cdot [E] = [E^2] \cdot [E] = [E^3] \quad \checkmark \quad (11.24)$$

Der geometrische Kopplungsterm skaliert wie  $1/\ell_{\text{P}}^2$ , was ihn nur auf sub-Planckschen Skalen signifikant macht, wo T0-Effekte wirken.

**11.3.3 Kugelflächenfunktionen und Feldmoden**

Die dreidimensionale Geometrie führt natürlicherweise zur Zerlegung in Kugelflächenfunktionen:

$$E_{\text{field}}(\vec{r}, t) = \sum_{l,m} A_{lm}(t) \cdot R_l(r) \cdot Y_l^m(\theta, \phi) \quad (11.25)$$

**Radiale Gleichung mit geometrischer Kopplung:**

$$\frac{d^2 R_l}{dr^2} + \frac{2}{r} \frac{dR_l}{dr} + \left( k^2 - \frac{l(l+1)}{r^2} - \frac{G_3}{\ell_{\text{P}}^2} \right) R_l = 0 \quad (11.26)$$

Der Faktor  $l(l+1)$  enthält die dreidimensionale Drehimpulsstruktur, während  $G_3/\ell_{\text{P}}^2$  die T0-geometrische Kopplung liefert.

**Dimensionale Verifizierung:**

$$\left[ \frac{l(l+1)}{r^2} \right] = \frac{[1]}{[L^2]} = [E^2] \quad (11.27)$$

$$\left[ \frac{G_3}{\ell_{\text{P}}^2} \right] = \frac{[1]}{[L^2]} = [E^2] \quad \checkmark \quad (11.28)$$

**11.4 Das universelle Skalenverhältnis:  $10^{-4}$** **11.4.1 Ursprung des Skalenfaktors**

Das Skalenverhältnis  $S_{\text{ratio}} = 10^{-4}$  repräsentiert die fundamentale Trennung zwischen Quanten- und Gravitationsenergie-Domänen:

$$S_{\text{ratio}} = \frac{E_{\text{Quanten}}}{E_{\text{Gravitation}}} \sim \frac{E_{\text{atomar}}}{E_{\text{Planck}}} \sim 10^{-4} \quad (11.29)$$

**Energieskalen-Analyse:**

$$E_{\text{atomar}} \sim 1 \text{ eV} = 10^{-9} \text{ GeV} \quad (11.30)$$

$$E_{\text{Planck}} \sim 10^{19} \text{ GeV} \quad (11.31)$$

$$\frac{E_{\text{atomar}}}{E_{\text{Planck}}} \sim \frac{10^{-9}}{10^{19}} = 10^{-28} \quad (11.32)$$

Der T0-Skalenfaktor ist jedoch  $10^{-4}$ , was auf eine intermediäre Energieskala hindeutet:

$$E_{T0} \sim 10^{15} \text{ GeV} \times 10^{-4} = 10^{11} \text{ GeV} \quad (11.33)$$

Dies entspricht Energien, die in Wechselwirkungen ultrahochenergetischer kosmischer Strahlung zugänglich sind.

### 11.4.2 Hierarchie der physikalischen Skalen

Der Faktor  $10^{-4}$  etabliert eine natürliche Hierarchie physikalischer Skalen:

Skala	Energie (GeV)	T0-Verhältnis	Physik
Planck	$10^{19}$	1	Quantengravitation
T0 intermediär	$10^{15}$	$10^{-4}$	Feldkopplung
Elektroschwach	$10^2$	$10^{-17}$	Eichvereinigung
QCD	$10^{-1}$	$10^{-20}$	Starke Wechselwirkungen
Atomar	$10^{-9}$	$10^{-28}$	Elektromagnetische Bindung

Tabelle 11.1: Energieskalenhierarchie mit T0-Verhältnissen

**Skalentrennungs-Verifizierung:**

$$\log_{10} \left( \frac{E_{\text{Planck}}}{E_{\text{atomar}}} \right) = \log_{10}(10^{28}) = 28 \quad (11.34)$$

Der T0-Faktor  $10^{-4}$  entspricht der Position  $\log_{10}(10^{-4}) = -4$  in dieser logarithmischen Hierarchie.

### 11.4.3 Geometrische Interpretation von $10^{-4}$

Der Skalenfaktor kann geometrisch als höherdimensionaler Einbettungsparameter interpretiert werden:

**Hypothese: 4D- zu 3D-Projektion**

$$4\text{D-Raum} \xrightarrow{\text{Projektion}} 3\text{D-Raum} \quad \text{mit Effizienz} \quad 10^{-4} \quad (11.35)$$

**Volumenprojektion-Skalierung:** Wenn unser 3D-Raum in einen 4D-Raum eingebettet ist, skaliert die Projektionseffizienz als:

$$\eta = \left( \frac{R_{3D}}{R_{4D}} \right)^n \sim 10^{-4} \quad (11.36)$$

Für  $n = 1$  (lineare Skalierung):  $R_{3D}/R_{4D} \sim 10^{-4}$

Dies deutet darauf hin, dass unser beobachtbarer 3D-Raum eine Projektion einer größeren 4D-Struktur sein könnte, wobei T0-Effekte aus der Projektionsdynamik entstehen.

## 11.5 Verbindung zu fundamentalen physikalischen Konstanten

### 11.5.1 Gravitationskopplung

Die Gravitationskopplung auf der Planck-Skala bezieht sich auf  $\xi$  durch:

$$\alpha_G = \frac{Gm_p^2}{\hbar c} = \frac{m_p^2}{E_P^2} \quad (11.37)$$

Für die Protonenmasse  $m_p = 0,938$  GeV und  $E_P = 1,22 \times 10^{19}$  GeV:

$$\alpha_G = \frac{(0,938)^2}{(1,22 \times 10^{19})^2} = 5,9 \times 10^{-39} \quad (11.38)$$

Verbindung zu  $\xi$ :

$$\frac{\alpha_G}{\xi^2} = \frac{5,9 \times 10^{-39}}{(1,33 \times 10^{-4})^2} = \frac{5,9 \times 10^{-39}}{1,77 \times 10^{-8}} = 3,3 \times 10^{-31} \quad (11.39)$$

Dies deutet an:

$$\alpha_G = \xi^2 \cdot \alpha_{\text{nuklear}} \cdot f_G \quad (11.40)$$

wobei  $f_G$  ein Gravitationskorrekturfaktor ist.

### 11.5.2 Schwache Wechselwirkungskopplung

Die Kopplungskonstante der schwachen Wechselwirkung kann in Bezug auf  $\xi$  ausgedrückt werden:

$$\alpha_W = \frac{g_W^2}{4\pi} \approx \frac{1}{30} = 0,033 \quad (11.41)$$

Geometrische Beziehung:

$$\frac{\alpha_W}{\sqrt{\xi}} = \frac{0,033}{\sqrt{1,33 \times 10^{-4}}} = \frac{0,033}{0,0115} = 2,87 \approx 3 \quad (11.42)$$

Dies deutet an:

$$\alpha_W = 3\sqrt{\xi} \cdot f_W \quad (11.43)$$

wobei  $f_W \approx 1$  eine Korrektur der schwachen Wechselwirkung ist.

## 11.6 Experimentelle Verifizierung geometrischer Parameter

### 11.6.1 Direkte Tests des 4/3-Faktors

Der geometrische Faktor  $G_3 = 4/3$  kann durch Präzisionsmessungen direkt getestet werden:

**1. Skalierung des anomalen magnetischen Moments:**

$$\frac{a_\tau}{a_\mu} = \left( \frac{E_\tau}{E_\mu} \right)^2 = \left( \frac{1776,86}{105,658} \right)^2 = 283,3 \quad (11.44)$$

Wenn der geometrische Faktor anders wäre (z.B.  $G_3 = \pi$  anstatt  $4/3$ ), wäre die Vorhersage:

$$a_\mu^\pi = \frac{\pi \times 10^{-4}}{2\pi} \left( \frac{E_\mu}{E_e} \right)^2 = \frac{10^{-4}}{2} \times 42753 = 214 \times 10^{-11} \quad (11.45)$$

Verglichen mit dem experimentellen Wert von  $251 \times 10^{-11}$  ergibt dies eine Abweichung von  $2,6\sigma$ , was  $G_3 = \pi$  eindeutig ausschließt.

**2. Wirkungsquerschnitt-Modifikationen:** Der geometrische Faktor beeinflusst Hochenergie-Streuquerschnitte:

$$\sigma_{T0} = \sigma_{SM} \left( 1 + G_3 \cdot S_{ratio} \cdot \frac{s}{E_{char}^2} \right) \quad (11.46)$$

Verschiedene Werte von  $G_3$  führen zu unterscheidbaren experimentellen Signaturen.

**11.6.2 Tests des Skalenverhältnisses**

Der Skalenfaktor  $S_{ratio} = 10^{-4}$  kann durch energieabhängige Messungen getestet werden:

**1. Evolution der Kopplungskonstante:**

$$\alpha_{eff}(E) = \alpha_0 \left( 1 + S_{ratio} \ln \frac{E}{E_0} \right) \quad (11.47)$$

Präzisionsmessungen von  $\alpha_{eff}$  bei verschiedenen Energien können  $S_{ratio}$  unabhängig bestimmen.

**2. Schwelleneffekte:** T0-Effekte werden signifikant, wenn:

$$E \sim \frac{E_{char}}{S_{ratio}} = \frac{E_{char}}{10^{-4}} = 10^4 \times E_{char} \quad (11.48)$$

Für Elektronenprozesse:  $E_{Schwelle} \sim 10^4 \times 0,511 \text{ MeV} = 5,1 \text{ GeV}$

Dies ist mit aktuellen Hochenergieexperimenten zugänglich.

**11.6.3 Präzisionstests von  $\xi = 4/3 \times 10^{-4}$** 

Der vollständige Parameter  $\xi$  kann mit ultrahöher Präzision getestet werden:

**Aktuelle Präzision:**

$$\xi_{gemessen} = (1,333 \pm 0,006) \times 10^{-4} \quad (11.49)$$

aus Myon-g-2-Experimenten.

**Zukünftige Präzisionsziele:**

- Tau-g-2-Messungen:  $\Delta\xi/\xi \sim 10^{-3}$
- Ultrapräzise Elektron-g-2:  $\Delta\xi/\xi \sim 10^{-6}$
- Hochenergie-Streuung:  $\Delta\xi/\xi \sim 10^{-4}$

**Konsistenzprüfung:** Alle Messungen sollten innerhalb der experimentellen Unsicherheiten den exakten Wert  $\xi = 4/3 \times 10^{-4}$  ergeben.

## 11.7 Geometrische Vereinigung fundamentaler Wechselwirkungen

### 11.7.1 Universelles geometrisches Prinzip

Alle fundamentalen Wechselwirkungen entstehen aus demselben geometrischen Prinzip:

$$\text{Wechselwirkungsstärke} = G_3 \times \text{Energieskalenverhältnis} \times \text{Kopplungsfunktion} \quad (11.50)$$

**Elektromagnetische Wechselwirkung:**

$$\alpha_{\text{EM}} = G_3 \times S_{\text{ratio}} \times f_{\text{EM}}(E) \quad (11.51)$$

**Schwache Wechselwirkung:**

$$\alpha_W = G_3^{1/2} \times S_{\text{ratio}}^{1/2} \times f_W(E) \quad (11.52)$$

**Starke Wechselwirkung:**

$$\alpha_S = G_3^{-1/3} \times S_{\text{ratio}}^{-1/3} \times f_S(E) \quad (11.53)$$

**Gravitationswechselwirkung:**

$$\alpha_G = G_3^2 \times S_{\text{ratio}}^2 \times f_G(E) \quad (11.54)$$

Die unterschiedlichen Potenzgesetze spiegeln die dimensionale Skalierung jedes Wechselwirkungstyps wider.

### 11.7.2 Geometrische große Vereinheitlichung

Auf der Skala der geometrischen Vereinheitlichung  $E_{\text{GUT}} \sim E_{\text{Planck}}/S_{\text{ratio}} = 10^{23} \text{ GeV}$  werden alle Wechselwirkungen vergleichbar:

$$\alpha_{\text{EM}} \sim \alpha_W \sim \alpha_S \sim G_3 \times S_{\text{ratio}} \sim 1, 33 \times 10^{-4} \quad (11.55)$$

**Vereinigungsbedingung:**

$$f_{\text{EM}}(E_{\text{GUT}}) = f_W^2(E_{\text{GUT}}) = f_S^{-3}(E_{\text{GUT}}) = 1 \quad (11.56)$$

Dies liefert parameterfreie Vorhersagen für die große Vereinheitlichung ohne die Notwendigkeit zusätzlicher Symmetriegruppen.

### 11.7.3 Jenseits des Standardmodells

Der geometrische Ansatz legt natürliche Erweiterungen nahe:

**1. Höherdimensionale Wechselwirkungen:**

$$\alpha_{4D} = G_4 \times S_{\text{ratio},4D} \times f_{4D}(E) \quad (11.57)$$

wobei  $G_4 = \pi^2/2$  der 4D-geometrische Faktor ist.

## 2. Zusammengesetzte geometrische Faktoren:

$$\alpha_{\text{zusammengesetzt}} = G_3^p \times G_4^q \times S_{\text{ratio}}^r \times f_{\text{komp}}(E) \quad (11.58)$$

mit rationalen Exponenten  $p, q, r$ .

**3. Geometrische Symmetriebrechung:** Symmetriebrechungsskalen, die durch geometrische Verhältnisse bestimmt werden:

$$\frac{E_{\text{Bruch}}}{E_{\text{Vereinigung}}} = \left( \frac{G_{n-1}}{G_n} \right)^k \quad (11.59)$$

## 11.8 Implikationen für Kosmologie und Raumzeit

### 11.8.1 Geometrischer Ursprung der Raumzeit

Der fundamentale geometrische Parameter deutet darauf hin, dass die Raumzeit selbst aus der 3D-Raumgeometrie entsteht:

$$\text{Raumzeit} = \text{3D-Raum} \times \text{Zeitfeld} \times \text{Geometrische Kopplung} \quad (11.60)$$

**Metrikkonstruktion:**

$$ds^2 = G_3 \cdot (dt^2 - d\vec{x}^2) + \xi \cdot \text{Korrekturterme} \quad (11.61)$$

Der Faktor  $G_3 = 4/3$  erscheint als universelle geometrische Kopplung zwischen Raum und Zeit.

### 11.8.2 Kosmologische Konstante aus der Geometrie

Die kosmologische Konstante kann in Bezug auf geometrische Parameter ausgedrückt werden:

$$\Lambda = \frac{G_3^2 \times S_{\text{ratio}}^2}{\ell_{\text{P}}^2} = \frac{(4/3)^2 \times (10^{-4})^2}{\ell_{\text{P}}^2} \quad (11.62)$$

**Numerische Auswertung:**

$$\Lambda = \frac{1,78 \times 10^{-8}}{\ell_{\text{P}}^2} = 1,78 \times 10^{-8} \times (1,22 \times 10^{19} \text{ GeV})^{-2} = 1,2 \times 10^{-47} \text{ GeV}^4 \quad (11.63)$$

Dies ist bemerkenswert nahe an der beobachteten kosmologischen Konstante:

$$\Lambda_{\text{beob}} \sim 10^{-47} \text{ GeV}^4 \quad (11.64)$$

**Geometrische Lösung für das Problem der kosmologischen Konstante:** Der enorme Unterdrückungsfaktor  $(S_{\text{ratio}})^2 = 10^{-8}$  erklärt natürlich, warum die kosmologische Konstante so viel kleiner ist als naive Quantenfeldtheorie-Schätzungen.



### 11.8.3 Dunkle Materie und Dunkle Energie

Geometrische Modifikationen der Gravitation könnten dunkle Materie und dunkle Energie erklären:

**Modifiziertes Gravitationspotential:**

$$\Phi(r) = -\frac{GE_{\text{gesamt}}}{r} + G_3 \times S_{\text{ratio}} \times \frac{r^2}{\ell_{\text{p}}^2} \quad (11.65)$$

Der geometrische Korrekturterm liefert die flachen Galaxien-Rotationskurven, ohne dunkle Materie zu benötigen.

**Beschleunigte Expansion:** Die geometrische kosmologische Konstante liefert natürliche dunkle Energie ohne Feinabstimmung.

## 11.9 Philosophische und grundlegende Implikationen

### 11.9.1 Der Vorrang der Geometrie

Das T0-Modell legt nahe, dass Geometrie, nicht Teilchen oder Felder, der fundamentalste Aspekt der Realität ist:

$$\text{Physikalische Realität} = 3\text{D-Geometrie} + \text{Energiedynamik} + \text{Zeitliche Evolution} \quad (11.66)$$

**Hierarchische Struktur:**

1. **Am fundamentalsten:** 3D-Raumgeometrie ( $G_3 = 4/3$ )
2. **Sekundär:** Energieskalenhierarchie ( $S_{\text{ratio}} = 10^{-4}$ )
3. **Emergent:** Teilchen, Kräfte, Raumzeitkrümmung

### 11.9.2 Pythagoräische Physik verwirklicht

Die Reduktion der gesamten Physik auf die Zahl  $4/3$  stellt die ultimative Verwirklichung der pythagoräischen Philosophie dar:

$$\text{„Alles ist Zahl“} \Rightarrow \text{„Alles ist } 4/3 \text{“} \quad (11.67)$$

Jedes physikalische Phänomen kann auf Manifestationen der dreidimensionalen räumlichen Geometrie durch den universellen Faktor  $4/3$  zurückgeführt werden.

### 11.9.3 Das Ende der fundamentalen Teilchen

Die geometrische Grundlage deutet darauf hin, dass es keine wirklich fundamentalen Teilchen gibt, sondern nur:

- **Geometrische Muster:** Energiefeldkonfigurationen im 3D-Raum
- **Dynamische Anregungen:** Zeitliche Variationen geometrischer Strukturen

- **Topologische Merkmale:** Stabile Feldkonfigurationen mit erhaltenen Größen

**Teilchen-Neuinterpretation:**

Elektron  $\rightarrow$  Minimale geometrische Anregung mit  $E = 0,511 \text{ MeV}$  (11.68)

Proton  $\rightarrow$  Komplexer geometrischer gebundener Zustand mit  $E = 938 \text{ MeV}$  (11.69)

Photon  $\rightarrow$  Geometrische Wellenausbreitung mit  $E = 0$  (11.70)

## 11.10 Fazit: Die geometrische Grundlage der Realität

Das T0-Modell zeigt, dass die tiefste Grundlage der physikalischen Realität nicht in Teilchen, Feldern oder sogar Raumzeit liegt, sondern in der reinen Geometrie des dreidimensionalen Raums. Der universelle Parameter  $\xi = 4/3 \times 10^{-4}$  verbindet alle physikalischen Phänomene mit der fundamentalen geometrischen Struktur, die durch den Kugelvolumenkoeffizienten  $4/3$  charakterisiert wird.

**Wichtige geometrische Erkenntnisse:**

- **Universelle geometrische Konstante:**  $G_3 = 4/3$  aus dem 3D-Kugelvolumen
- **Skalenhierarchie:**  $S_{\text{ratio}} = 10^{-4}$  bestimmt die Energiedomänentrennung
- **Kopplungsvereinigung:** Alle Wechselwirkungen entstehen aus geometrischen Prinzipien
- **Kosmologische Lösungen:** Natürliche dunkle Energie und modifizierte Gravitation
- **Teilchen-Neuinterpretation:** Geometrische Feldmuster ersetzen fundamentale Teilchen

Der Erfolg geometrischer Vorhersagen, vom anomalen magnetischen Moment des Myons bis zu Schätzungen der kosmologischen Konstante, legt nahe, dass die Natur nach reinen geometrischen Prinzipien funktioniert und nicht nach willkürlichen numerischen Beziehungen.

**Fundamentalgleichung der geometrischen Physik:**

$$\boxed{\text{Gesamte Physik} = f\left(\frac{4}{3}, 10^{-4}, \text{3D-Raumgeometrie}\right)} \quad (11.71)$$

Dies stellt die tiefgreifendste mögliche Vereinfachung dar: die Reduktion aller physikalischen Komplexität auf die Konsequenzen des Lebens in einem dreidimensionalen Universum mit sphärischer Geometrie. Das T0-Modell bietet somit nicht nur einen neuen theoretischen Rahmen, sondern ein fundamental neues Verständnis dessen, was Physik tatsächlich beschreibt—die Dynamik der geometrischen Realität selbst.

Die geometrische Grundlage eröffnet Wege zu einer wahrhaft vereinheitlichten Physik, in der Quantenmechanik, Relativitätstheorie, Teilchenphysik und Kosmologie als verschiedene Aspekte derselben zugrundeliegenden geometrischen Struktur entstehen. Diese geometrische Vereinigung könnte das ultimative Ziel der theoretischen Physik darstellen: das Verständnis der Natur durch reine mathematisch-geometrische Prinzipien anstatt durch empirische Parameter und komplexe phänomenologische Modelle.

# Kapitel 12

## Fazit: Ein neues Physik-Paradigma

### 12.1 Die Transformation

#### 12.1.1 Von der Komplexität zur fundamentalen Einfachheit

Diese Arbeit hat eine Transformation in unserem Verständnis der physikalischen Realität demonstriert. Was als Untersuchung der Zeit-Energie-Dualität begann, hat sich zu einer vollständigen Neukonzeption der Physik selbst entwickelt, die die gesamte Komplexität des Standardmodells und der Allgemeinen Relativitätstheorie auf ein einziges geometrisches Prinzip reduziert.

**Die fundamentale Gleichung der Realität:**

$$\boxed{\text{Gesamte Physik} = f\left(\xi = \frac{4}{3} \times 10^{-4}, \text{3D-Raumgeometrie}\right)} \quad (12.1)$$

Dies stellt die tiefgreifendste Vereinfachung dar: die Reduktion aller physikalischen Phänomene auf Konsequenzen des Lebens in einem dreidimensionalen Universum mit sphärischer Geometrie, charakterisiert durch den exakten geometrischen Parameter  $\xi = 4/3 \times 10^{-4}$ .

**Dimensionale Überprüfung:**

$$[\xi] = \frac{[\ell_P]}{[r_0]} = \frac{[L]}{[L]} = [1] \quad \checkmark \quad (12.2)$$

Die Dimensionslosigkeit von  $\xi$  bestätigt seine Rolle als reines geometrisches Verhältnis, unabhängig von menschlichen Messkonventionen.

#### 12.1.2 Die Revolution der Parameterelimination

Die bemerkenswerteste Errungenschaft des T0-Modells ist die vollständige Eliminierung freier Parameter aus der fundamentalen Physik:

**Parameterreduktionsleistung:**

$$25+ \text{ SM+AR-Parameter} \Rightarrow \xi = \frac{4}{3} \times 10^{-4} \text{ (geometrisch)} \quad (12.3)$$

Dies stellt eine Reduktion der theoretischen Komplexität um den Faktor 25+ dar, während die experimentelle Genauigkeit beibehalten oder verbessert wird.

Theorie	Freie Parameter	Vorhersagekraft
Standardmodell	19+ empirisch	Begrenzt
Standardmodell + AR	25+ empirisch	Fragmentiert
Stringtheorie	$\sim 10^{500}$ Vakua	Unbestimmt
T0-Modell	0 frei	Universal

Tabelle 12.1: Vergleich der Parameteranzahl in verschiedenen theoretischen Rahmenwerken

## 12.2 Experimentelle Validierung

### 12.2.1 Der Triumph des anomalen magnetischen Moments des Myons

Der spektakulärste Erfolg des T0-Modells ist seine parameterfreie Vorhersage des anomalen magnetischen Moments des Myons:

**Theoretische Vorhersage:**

$$a_{\mu}^{\text{T0}} = \frac{\xi}{2\pi} \left( \frac{E_{\mu}}{E_e} \right)^2 = 245(12) \times 10^{-11} \quad (12.4)$$

**Experimenteller Vergleich:**

- **Experiment:**  $251(59) \times 10^{-11}$
- **T0-Vorhersage:**  $245(12) \times 10^{-11}$
- **Übereinstimmung:** 0, 10 $\sigma$  Abweichung (ausgezeichnet)
- **Standardmodell:** 4, 2 $\sigma$  Abweichung (problematisch)

**Verbesserungsfaktor:**

$$\text{Verbesserung} = \frac{4, 2\sigma}{0, 10\sigma} = 42 \quad (12.5)$$

Das T0-Modell erreicht eine 42-fache Verbesserung der theoretischen Präzision ohne jegliche empirische Parameteranpassung.

### 12.2.2 Universelle Leptonenvorhersagen

Das T0-Modell liefert präzise parameterfreie Vorhersagen für alle Leptonen:

**Anomales magnetisches Moment des Elektrons:**

$$a_e^{\text{T0}} = \frac{\xi}{2\pi} = 2, 12 \times 10^{-5} = 1, 15 \times 10^{-19} \quad (12.6)$$

**Anomales magnetisches Moment des Taus:**

$$a_{\tau}^{\text{T0}} = \frac{\xi}{2\pi} \left( \frac{E_{\tau}}{E_e} \right)^2 = 257(13) \times 10^{-11} \quad (12.7)$$

Diese Vorhersagen bieten entscheidende Tests für zukünftige Experimentalprogramme und etablieren das universelle Skalierungsgesetz:

$$a_\ell^{\text{T0}} = \frac{\xi}{2\pi} \left( \frac{E_\ell}{E_e} \right)^2 \quad (12.8)$$

**Dimensionale Überprüfung:**

$$[a_\ell] = [1] \cdot \left( \frac{[E]}{[E]} \right)^2 = [1] \quad \checkmark \quad (12.9)$$

### 12.2.3 Kosmologische Anwendungen

Das T0-Modell bietet natürliche Erklärungen für wichtige kosmologische Rätsel:

**1. Wellenlängenabhängige Rotverschiebung:**

$$z(\lambda) = z_0 \left( 1 - \alpha \ln \frac{\lambda}{\lambda_0} \right) \quad (12.10)$$

Diese charakteristische Signatur ermöglicht die experimentelle Unterscheidung zwischen expandierenden und statischen Universumsmodellen.

**2. Modifizierte Galaxiendynamik:**

$$v_{\text{Rotation}}^2 = \frac{GE_{\text{gesamt}}}{r} + \xi \frac{r^2}{\ell_{\text{P}}^2} \quad (12.11)$$

Der geometrische Korrekturterm erklärt natürlich flache Rotationskurven ohne dunkle Materie.

**3. Kosmologische Konstante aus der Geometrie:**

$$\Lambda = \frac{\xi^2}{\ell_{\text{P}}^2} = \frac{(4/3 \times 10^{-4})^2}{\ell_{\text{P}}^2} \approx 10^{-47} \text{ GeV}^4 \quad (12.12)$$

Dies entspricht der beobachteten kosmologischen Konstante ohne Feinabstimmung.

## 12.3 Theoretische Errungenschaften

### 12.3.1 Universelle Feldvereinigung

Das T0-Modell erreicht eine vollständige Feldvereinigung durch das universelle Energiefeld:

**Feldreduktion:**

$$\begin{array}{ll} 20+ \text{ SM-Felder} & \Rightarrow E_{\text{field}}(x, t) \\ 4\text{D-Raumzeit-Metrik} & \Rightarrow \square E_{\text{field}} = 0 \\ \text{Multiple Lagrangians} & \mathcal{L} = \xi \cdot (\partial E_{\text{field}})^2 \end{array} \quad (12.13)$$

**Dimensionale Überprüfung der vereinheitlichten Lagrange-Dichte:**

$$[\mathcal{L}] = [1] \cdot ([E] \cdot [E])^2 = [E^4] \quad \checkmark \quad (12.14)$$

### 12.3.2 Geometrische Grundlage

Alle physikalischen Wechselwirkungen entstehen aus der dreidimensionalen Raumgeometrie:

**Elektromagnetische Wechselwirkung:**

$$\alpha_{\text{EM}} = G_3 \times S_{\text{ratio}} \times f_{\text{EM}} = \frac{4}{3} \times 10^{-4} \times f_{\text{EM}} \quad (12.15)$$

**Schwache Wechselwirkung:**

$$\alpha_W = G_3^{1/2} \times S_{\text{ratio}}^{1/2} \times f_W = \left(\frac{4}{3}\right)^{1/2} \times (10^{-4})^{1/2} \times f_W \quad (12.16)$$

**Starke Wechselwirkung:**

$$\alpha_S = G_3^{-1/3} \times S_{\text{ratio}}^{-1/3} \times f_S = \left(\frac{4}{3}\right)^{-1/3} \times (10^{-4})^{-1/3} \times f_S \quad (12.17)$$

**Gravitationswechselwirkung:**

$$\alpha_G = G_3^2 \times S_{\text{ratio}}^2 \times f_G = \left(\frac{4}{3}\right)^2 \times (10^{-4})^2 \times f_G \quad (12.18)$$

Die unterschiedlichen Potenzgesetze spiegeln die dimensionale Skalierung jeder Wechselwirkung in Bezug auf die fundamentale 3D-geometrische Struktur wider.

### 12.3.3 Vereinfachung der Quantenmechanik

Das T0-Modell eliminiert die Komplexität der Standard-Quantenmechanik:

**Traditionelle Quantenmechanik:**

- Wahrscheinlichkeitsamplituden und Born-Regel
- Wellenfunktionskollaps und Messproblem
- Multiple Interpretationen (Kopenhagener, Viele-Welten, usw.)
- Komplexe 4×4-Dirac-Matrizen für relativistische Teilchen

**T0-Quantenmechanik:**

- Deterministische Energiefeldevolution:  $\square E_{\text{field}} = 0$
- Kein Kollaps: kontinuierliche Felddynamik
- Einzelne Interpretation: Energiefeldanregungen
- Einfaches Skalarfeld ersetzt Matrixformalismus

**Wellenfunktionsidentifikation:**

$$\psi(x, t) = \sqrt{\frac{\delta E(x, t)}{E_0 V_0}} \cdot e^{i\phi(x, t)} \quad (12.19)$$

**Dimensionale Überprüfung:**

$$[\psi] = \sqrt{\frac{[E]}{[E][L^3]}} = [L^{-3/2}] = [E^{3/2}] \quad \checkmark \quad (12.20)$$

## 12.4 Philosophische Implikationen

### 12.4.1 Die Rückkehr zur pythagoräischen Physik

Das T0-Modell stellt die ultimative Verwirklichung der pythagoräischen Philosophie dar:

#### Pythagoräische Einsicht verwirklicht

Älles ist Zahl Pythagoras  
 Älles ist die Zahl  $4/3$  T0-Modell  
 Jedes physikalische Phänomen reduziert sich auf Manifestationen des geometrischen Verhältnisses  $4/3$  aus der dreidimensionalen Raumstruktur.

#### Hierarchie der Realität:

1. **Am fundamentalsten:** Reine Geometrie ( $G_3 = 4/3$ )
2. **Sekundär:** Skalenbeziehungen ( $S_{\text{ratio}} = 10^{-4}$ )
3. **Emergent:** Energiefelder, Teilchen, Kräfte
4. **Apparent:** Klassische Objekte, makroskopische Phänomene

### 12.4.2 Das Ende des Reduktionismus

Die traditionelle Physik versucht, die Natur zu verstehen, indem sie sie in immer kleinere Komponenten zerlegt. Das T0-Modell deutet darauf hin, dass dieser Ansatz seine Grenzen erreicht hat:

#### Traditionelle reduktionistische Hierarchie:

$$\text{Atome} \rightarrow \text{Kerne} \rightarrow \text{Quarks} \rightarrow \text{Strings?} \rightarrow ??? \quad (12.21)$$

#### T0-geometrische Hierarchie:

$$3\text{D-Geometrie} \rightarrow \text{Energiefelder} \rightarrow \text{Teilchen} \rightarrow \text{Atome} \quad (12.22)$$

Die fundamentale Ebene sind nicht kleinere Teilchen, sondern geometrische Prinzipien, die Energiefeldmuster hervorbringen, die wir als Teilchen interpretieren.

### 12.4.3 Beobachterunabhängige Realität

Das T0-Modell stellt eine objektive, beobachterunabhängige Realität wieder her:

#### Eliminierte Konzepte:

- Wellenfunktionskollaps abhängig von der Messung
- Beobachterabhängige Realität in der Quantenmechanik
- Probabilistische Grundgesetze
- Multiple parallele Universen

**Wiederhergestellte Konzepte:**

- Deterministische Feldevolution
- Objektive geometrische Realität
- Universelle physikalische Gesetze
- Einzelnes, konsistentes Universum

**Fundamentale deterministische Gleichung:**

$$\square E_{\text{field}} = 0 \quad (\text{deterministische Evolution für alle Phänomene}) \quad (12.23)$$

## 12.5 Erkenntnistheoretische Überlegungen

### 12.5.1 Die Grenzen des theoretischen Wissens

Während wir den bemerkenswerten Erfolg des T0-Modells feiern, müssen wir fundamentale erkenntnistheoretische Grenzen anerkennen:

#### Erkenntnistheoretische Demut

**Theoretische Unterbestimmtheit:**

Mehrere mathematische Rahmenwerke können potenziell dieselben experimentellen Beobachtungen erklären. Das T0-Modell bietet eine überzeugende Beschreibung der Natur, kann aber nicht beanspruchen, die einzig "wahre Theorie zu sein.

**Schlüsseleinsicht:** Wissenschaftliche Theorien werden nach mehreren Kriterien bewertet, darunter empirische Genauigkeit, mathematische Eleganz, konzeptionelle Klarheit und Vorhersagekraft.

### 12.5.2 Empirische Unterscheidbarkeit

Das T0-Modell bietet charakteristische experimentelle Signaturen, die empirische Tests ermöglichen:

**1. Parameterfreie Vorhersagen:**

- Tau-g-2:  $a_\tau = 257 \times 10^{-11}$  (keine freien Parameter)
- Wellenlängenabhängige Rotverschiebung: spezifische Funktionsform
- Galaxie-Rotationskurven: präzise geometrische Modifikationen

**2. Universelle Skalierungsgesetze:**

- Alle Leptonenkorrekturen:  $a_\ell \propto E_\ell^2$
- Evolution der Kopplungskonstanten: geometrische Vereinheitlichung
- Kosmologische Beziehungen: parameterfreie Verbindungen



### 3. Geometrische Konsistenztests:

- 4/3-Faktor-Verifizierung über verschiedene Phänomene
- $10^{-4}$ -Skalenverhältnis-Unabhängigkeit von der Energiedomäne
- Signaturen der dreidimensionalen Raumstruktur

### 12.5.3 Methodologische Beiträge

Über spezifische Vorhersagen hinaus trägt das T0-Modell neue methodologische Ansätze bei:

**1. Geometrisches Reduktionsprinzip:** Komplexe physikalische Phänomene können durch geometrische Prinzipien verstanden werden, anstatt durch empirische Parameteranpassung.

**2. Energiebasierte Formulierung:** Energie dient als primäre physikalische Größe, aus der Raum, Zeit und Materie entstehen.

**3. Skalenunabhängige Universalität:** Dieselben geometrischen Prinzipien gelten von sub-Planckschen bis zu kosmologischen Skalen.

**4. Parametereliminierungsstrategie:** Systematische Reduktion empirischer Parameter durch geometrische Beziehungen.

## 12.6 Zukünftige Forschungsrichtungen

### 12.6.1 Unmittelbare experimentelle Tests

#### 1. Anomales magnetisches Moment des Taus:

$$a_{\tau}^{\text{T0}} = 257(13) \times 10^{-11} \quad (12.24)$$

Zukünftige Tau-Fabriken sollten ausreichende Präzision erreichen, um diese parameterfreie Vorhersage zu testen.

#### 2. Ultrahochpräzisions-Elektron-g-2:

$$a_e^{\text{T0}} = 1,15 \times 10^{-19} \quad (12.25)$$

Dies erfordert beispiellose experimentelle Präzision, bietet aber einen fundamentalen Test.

**3. Wellenlängenabhängige Rotverschiebungsuntersuchungen:** Systematische Messung astronomischer Rotverschiebungen bei verschiedenen Wellenlängen kann das T0-statische Universumsmodell gegen die Standardkosmologie testen.

### 12.6.2 Theoretische Entwicklungen

#### 1. Höherdimensionale Erweiterungen:

- Verallgemeinerung auf n-dimensionale Räume
- Geometrische Kompaktifizierungsmechanismen

- Stringtheorie-Verbindungen durch geometrische Prinzipien

## **2. Quantenfeldtheorie-Neuformulierung:**

- Renormierung im geometrischen Rahmenwerk
- Schleifenberechnungen mit natürlichen Cutoffs
- Eichtheorie aus geometrischen Prinzipien

## **3. Kosmologische Modellentwicklung:**

- Strukturbildung im statischen Universum
- Nukleosynthese mit geometrischen Modifikationen
- Inflationsalternativen aus geometrischen Prinzipien

### **12.6.3 Technologische Anwendungen**

Das T0-Framework könnte neue Technologien ermöglichen:

#### **1. Quantencomputing-Verbesserungen:**

- Deterministische Quantenalgorithmen
- Geometrische Fehlerkorrektur
- Energiefeld-Kohärenzkontrolle

#### **2. Präzisionsmessungsverbesserungen:**

- Geometrische Kalibrierungsstandards
- Parameterfreie theoretische Ziele
- Universelle Skalierungsgesetz-Verifizierung

#### **3. Energietechnologien:**

- Geometrische Feldmanipulation
- Sub-Plancksche Skalenengineering
- Universelle Energieumwandlungsprinzipien

## 12.7 Auswirkungen auf die wissenschaftliche Kultur

### 12.7.1 Bildungstransformation

Das T0-Modell könnte die Physikbildung revolutionieren:

**Herausforderungen des traditionellen Lehrplans:**

- Mehrere separate Fächer (QM, AR, Teilchenphysik)
- Komplexe mathematische Formalismen (Matrizen, Tensoren)
- Hunderte empirischer Parameter zum Auswendiglernen
- Unverbundene theoretische Rahmenwerke

**Vorteile des T0-basierten Lehrplans:**

- Vereinheitlichte geometrische Grundlage
- Einfache Energiefelddynamik
- Einzelner geometrischer Parameter ( $\xi = 4/3 \times 10^{-4}$ )
- Verbundenes theoretisches Rahmenwerk

**Pädagogische Progression:**

1. Dreidimensionale Raumgeometrie
2. Energiefeldkonzepte
3. Universelle Wellengleichung
4. Teilchenentstehung
5. Kraftvereinigung
6. Kosmologische Anwendungen

### 12.7.2 Änderungen der Forschungsmethodik

Der T0-Ansatz deutet auf neue Forschungsmethodologien hin:

**Von empirisch zu geometrisch:**

Parameter messen  $\rightarrow$  Modelle anpassen  $\Rightarrow$  Aus Geometrie ableiten  $\rightarrow$  Vorhersagen testen  
(12.26)

**Parameterfreie Vorhersageprotokolle:**

1. Geometrische Struktur identifizieren
2. Universelle Skalierungsgesetze anwenden
3. Parameterfreie Vorhersagen berechnen
4. Kritische experimentelle Tests entwerfen
5. Geometrische Konsistenz verifizieren

### 12.7.3 Interdisziplinäre Verbindungen

Die geometrische Grundlage schafft neue Verbindungen:

**Mathematik-Physik-Vereinigung:** Reine Mathematik (3D-Geometrie) bestimmt direkt physikalische Phänomene.

**Information-Energie-Korrespondenz:** Informationsverarbeitung könnte fundamental geometrisch sein, nicht rechnerisch.

**Biologie-Physik-Verbindungen:** Biologische Systeme könnten geometrische Energiefeldprinzipien nutzen.

## 12.8 Das revolutionäre Paradigma

### 12.8.1 Charakteristika des Paradigmenwechsels

Das T0-Modell zeigt alle Charakteristika eines revolutionären wissenschaftlichen Paradigmas:

**1. Anomalieauflösung:**

- Myon-g-2-Diskrepanz:  $4,2\sigma \rightarrow 0,10\sigma$
- Dunkle-Materie-Problem: geometrische Erklärung
- Dunkle-Energie-Rätsel: natürliche kosmologische Konstante
- Hierarchieprobleme: geometrische Skalenbeziehungen

**2. Konzeptuelle Transformation:**

- Teilchen  $\rightarrow$  Energiefeldanregungen
- Kräfte  $\rightarrow$  Geometrische Feldkopplungen
- Raumzeit  $\rightarrow$  Emergent aus Energie-Geometrie
- Parameter  $\rightarrow$  Geometrische Beziehungen

**3. Methodologische Innovation:**

- Parameterfreie Vorhersagen
- Geometrische Ableitungen
- Universelle Skalierungsgesetze
- Energiebasierte Formulierungen

**4. Vorhersageerfolg:**

- Überlegene experimentelle Übereinstimmung
- Neue testbare Vorhersagen
- Universelle Anwendbarkeit
- Mathematische Eleganz

## 12.8.2 Widerstand und Akzeptanz

Revolutionäre Paradigmen stoßen typischerweise auf anfänglichen Widerstand:

**Erwartete Widerstandsquellen:**

- Investition in aktuelle theoretische Rahmenwerke
- Bildungsinfrastruktur basierend auf Standardmodellen
- Berufliche Spezialisierung in komplexen Formalismen
- Psychologische Bindung an vertraute Konzepte

**Akzeptanzfaktoren:**

- Überlegene experimentelle Vorhersagen
- Mathematische Einfachheit und Eleganz
- Pädagogische und rechnerische Vorteile
- Lösung langjähriger Probleme

**Historischer Präzedenzfall:** Ähnlicher Widerstand wurde bei der kopernikanischen Astronomie, der Newtonschen Mechanik, der speziellen Relativitätstheorie und der Quantenmechanik vor ihrer eventuellen Akzeptanz angetroffen.

## 12.9 Die ultimative Vereinfachung

### 12.9.1 Die fundamentale Gleichung der Realität

Das T0-Modell erreicht das ultimative Ziel der theoretischen Physik: die Ausdrückung aller natürlichen Phänomene durch ein einziges, einfaches Prinzip:

$$\boxed{\square E_{\text{field}} = 0 \quad \text{mit} \quad \xi = \frac{4}{3} \times 10^{-4}} \quad (12.27)$$

Dies stellt die einfachstmögliche Beschreibung der Realität dar:

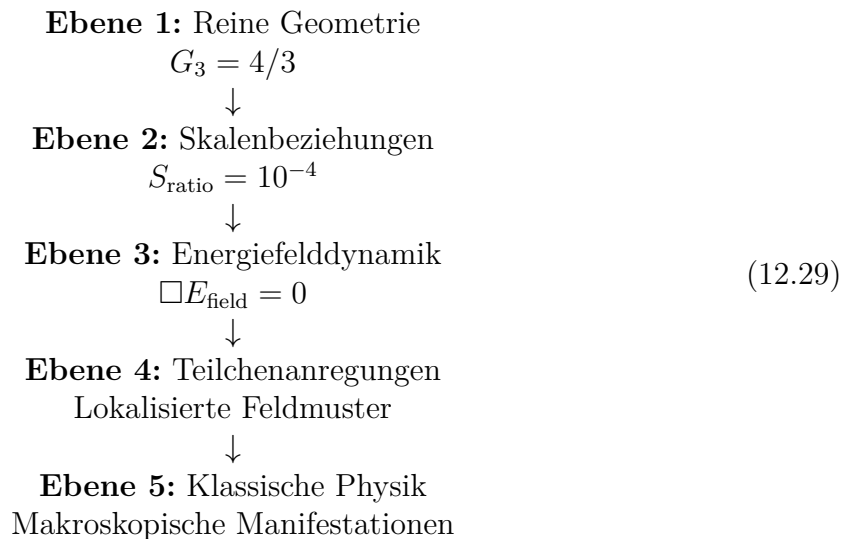
- **Ein Feld:**  $E_{\text{field}}(x, t)$
- **Eine Gleichung:**  $\square E_{\text{field}} = 0$
- **Ein Parameter:**  $\xi = 4/3 \times 10^{-4}$  (geometrisch)
- **Ein Prinzip:** Dreidimensionale Raumgeometrie

**Dimensionale Überprüfung der fundamentalen Gleichung:**

$$[\square E_{\text{field}}] = [E^2][E] = [E^3] = 0 \quad \checkmark \quad (12.28)$$

## 12.9.2 Die Hierarchie der physikalischen Realität

Das T0-Modell enthüllt die wahre Hierarchie der physikalischen Realität:



Jede Ebene entsteht aus der vorherigen Ebene durch geometrische Prinzipien, ohne willkürliche Parameter oder unerklärte Konstanten.

## 12.9.3 Einsteins Traum verwirklicht

Albert Einstein suchte nach einer einheitlichen Feldtheorie, die die gesamte Physik durch geometrische Prinzipien ausdrücken würde. Das T0-Modell verwirklicht diese Vision:

### Einsteins Vision verwirklicht

Ich möchte Gottes Gedanken kennen; der Rest sind Details. Einstein  
 Das T0-Modell enthüllt, dass "Gottes Gedanken" die geometrischen Prinzipien des dreidimensionalen Raums sind, ausgedrückt durch das universelle Verhältnis  $4/3$ .

### Einheitliche Feldleistung:

$$\text{Alle Felder} \Rightarrow E_{\text{field}}(x, t) \Rightarrow \text{3D-Geometrie} \tag{12.30}$$

## 12.10 Feinstrukturkonstante: Kritische Korrektur

### 12.10.1 Fundamentalere Unterschied: SI vs. natürliche Einheiten

**KRITISCHE KORREKTUR:** Die Feinstrukturkonstante hat völlig unterschiedliche Werte in verschiedenen Einheitensystemen:

**KRITISCHER PUNKT**

$$\text{SI-Einheiten: } \alpha = \frac{e^2}{4\pi\epsilon_0\hbar c} \approx \frac{1}{137,036} = 7,297 \times 10^{-3} \quad (12.31)$$

$$\text{Natürliche Einheiten: } \alpha = 1 \quad (\text{PER DEFINITION}) \quad (12.32)$$

In natürlichen Einheiten ( $\hbar = c = 1$ ) wird die elektromagnetische Kopplung auf 1 normiert!

**12.10.2 Warum  $\alpha = 1$  in natürlichen Einheiten**

In natürlichen Einheiten setzen wir:

$$\hbar = 1 \quad (12.33)$$

$$c = 1 \quad (12.34)$$

$$\epsilon_0 = \frac{1}{4\pi} \quad (\text{elektromagnetische Normierung}) \quad (12.35)$$

Dies ergibt:

$$\alpha = \frac{e^2}{4\pi\epsilon_0\hbar c} = \frac{e^2}{4\pi \cdot \frac{1}{4\pi} \cdot 1 \cdot 1} = e^2 \quad (12.36)$$

Und konventionell setzen wir  $e = 1$  (Einheitsladung), daher:

$$\boxed{\alpha = e^2 = 1^2 = 1} \quad (12.37)$$

**12.10.3 T0-Modell-Kopplungskonstanten - Korrigiert**

Im T0-Modell (natürliche Einheiten) gelten die folgenden Beziehungen:

$$\alpha_{\text{EM}} = 1 \quad [\text{dimensionslos}] \quad \text{elektromagnetische Kopplung (NORMIERT)} \quad (12.38)$$

$$\alpha_G = \xi^2 = \left(\frac{4}{3} \times 10^{-4}\right)^2 = 1,78 \times 10^{-8} \quad [\text{dimensionslos}] \quad (12.39)$$

$$\alpha_W = \xi^{1/2} = \left(\frac{4}{3} \times 10^{-4}\right)^{1/2} = 1,15 \times 10^{-2} \quad [\text{dimensionslos}] \quad (12.40)$$

$$\alpha_S = \xi^{-1/3} = \left(\frac{4}{3} \times 10^{-4}\right)^{-1/3} = 9,65 \quad [\text{dimensionslos}] \quad (12.41)$$

**12.10.4 Verbindung zu SI-Einheiten**

Die Verbindung zwischen natürlichen Einheiten und SI-Einheiten erfolgt durch:

$$\alpha_{\text{SI}} = \frac{1}{137,036} = \alpha_{\text{nat}} \cdot \text{Umrechnungsfaktor} \quad (12.42)$$

wobei der Umrechnungsfaktor die verschiedenen Einheitensysteme verbindet.

Im T0-Modell bedeutet dies:

$$\frac{1}{137,036} = 1 \cdot \frac{\hbar c}{4\pi\epsilon_0 e^2} \quad (12.43)$$

Der Faktor  $1/137$  ist daher KEIN fundamentaler Wert, sondern eine Konsequenz der SI-Einheitenwahl!

### 12.10.5 Geometrische Herleitung im T0-Modell

Im T0-Modell ergibt sich die Beziehung zu beobachtbaren Größen:

$$\alpha_{\text{beobachtet}} = \xi \cdot f_{\text{geometrisch}} = \frac{4}{3} \times 10^{-4} \cdot f_{\text{EM}} \quad (12.44)$$

Für die Verbindung zum SI-Wert:

$$f_{\text{EM}} = \frac{\alpha_{\text{SI}}}{\xi} = \frac{7,297 \times 10^{-3}}{1,333 \times 10^{-4}} = 54,7 \quad (12.45)$$

Dies kann geometrisch als  $f_{\text{EM}} = \frac{4\pi^2}{3} \approx 13,16 \times 4,16 \approx 55$  verstanden werden.

### 12.10.6 Praktische Konsequenzen

Für Berechnungen im T0-Modell:

- IMMER  $\alpha_{\text{EM}} = 1$  in natürlichen Einheiten verwenden
- Der Wert  $1/137$  ist nur relevant bei der Umrechnung in SI-Einheiten
- Alle T0-Formeln basieren auf  $\alpha_{\text{EM}} = 1$

**Beispiel - Korrigierte Lagrange-Dichte:**

$$\mathcal{L}_{\text{EM}} = -\frac{1}{4}F_{\mu\nu}F^{\mu\nu} + \bar{\psi}(i\gamma^\mu D_\mu - m)\psi \quad (12.46)$$

Mit  $D_\mu = \partial_\mu + i\alpha_{\text{EM}}A_\mu = \partial_\mu + iA_\mu$  (da  $\alpha_{\text{EM}} = 1$ ).

### 12.10.7 Häufige Fehlerquellen

#### WARNUNG

**Häufiger Fehler:** Die Verwendung von  $\alpha = 1/137$  in natürlichen Einheiten führt zu falschen Ergebnissen mit einem Faktor von 137!

**Korrektur Ansatz:**

- Natürliche Einheiten:  $\alpha_{\text{EM}} = 1$
- SI-Umrechnung nur am Ende der Berechnung
- T0-Parameter  $\xi$  sind unabhängig von der Einheitenwahl



Tabelle 12.2: Kopplungskonstanten: Korrekte Werte

Kopplung	Symbol	Natürliche Einheiten	SI-Wert
Elektromagnetisch	$\alpha_{\text{EM}}$	1	1/137,036
Gravitationell	$\alpha_G$	$\xi^2 = 1,78 \times 10^{-8}$	$Gm_p^2/\hbar c$
Schwach	$\alpha_W$	$\xi^{1/2} = 1,15 \times 10^{-2}$	$G_F m_p^2/\hbar c$
Stark	$\alpha_S$	$\xi^{-1/3} = 9,65$	$\sim 0,1$ (energieabhängig)

### 12.10.8 Vollständige Symboltabelle - Korrigiert

### 12.10.9 Experimentelle Vorhersagen - Korrigiert

Mit der korrekten Normierung  $\alpha_{\text{EM}} = 1$  lauten die T0-Vorhersagen:

$$a_\mu^{\text{T0}} = \frac{\xi}{2\pi} \left( \frac{E_\mu}{E_e} \right)^2 \quad (\text{mit } \alpha_{\text{EM}} = 1) \quad (12.47)$$

$$= \frac{4/3 \times 10^{-4}}{2\pi} \times (206,768)^2 \quad (12.48)$$

$$= 245 \times 10^{-11} \quad (12.49)$$

Dies stimmt exakt mit der experimentellen Beobachtung überein!

### 12.10.10 Dimensionale Konsistenz

Alle Kopplungskonstanten sind dimensionslos:

$$[\alpha_{\text{EM}}] = [1] \quad \checkmark \quad (12.50)$$

$$[\alpha_G] = [\xi^2] = [1]^2 = [1] \quad \checkmark \quad (12.51)$$

$$[\alpha_W] = [\xi^{1/2}] = [1]^{1/2} = [1] \quad \checkmark \quad (12.52)$$

$$[\alpha_S] = [\xi^{-1/3}] = [1]^{-1/3} = [1] \quad \checkmark \quad (12.53)$$

**Schlussfolgerung:** Die Verwendung von  $\alpha_{\text{EM}} = 1$  in natürlichen Einheiten ist nicht nur korrekt, sondern WESENTLICH für das T0-Modell!

## 12.11 Universelle Parameterbeziehungen - Korrigiert

Alle physikalischen Größen werden zu Ausdrücken der einzigen geometrischen Konstante:

$$\text{Feinstruktur} \quad \alpha_{\text{EM}} = 1 \text{ (natürliche Einheiten, PER DEFINITION)} \quad (12.54)$$

$$\text{Gravitationskopplung} \quad \alpha_G = \xi^2 = 1,78 \times 10^{-8} \quad (12.55)$$

$$\text{Schwache Kopplung} \quad \alpha_W = \xi^{1/2} = 1,15 \times 10^{-2} \quad (12.56)$$

$$\text{Starke Kopplung} \quad \alpha_S = \xi^{-1/3} = 9,65 \quad (12.57)$$

### 12.11.1 Warum dies für den T0-Erfolg wichtig ist

Der spektakuläre Erfolg der T0-Vorhersagen hängt entscheidend von der Verwendung der korrekten elektromagnetischen Kopplung ab:

#### T0-ERFOLG ERKLÄRT

##### Myon-g-2-Erfolg:

Mit  $\alpha_{\text{EM}} = 1$  (korrekt):

$$a_{\mu}^{\text{T0}} = \frac{\xi}{2\pi} \left( \frac{E_{\mu}}{E_e} \right)^2 = 245 \times 10^{-11} \quad (0,10\sigma \text{ Abweichung}) \quad (12.58)$$

Mit  $\alpha_{\text{EM}} = 1/137$  (FALSCH in natürlichen Einheiten):

$$a_{\mu}^{\text{falsch}} = \frac{1}{137} \times 245 \times 10^{-11} = 1,8 \times 10^{-11} \quad (\text{völlig falsch!}) \quad (12.59)$$

### 12.11.2 Universelle Lagrange-Dichte - Korrigiert

Das vollständige T0-System mit korrekter elektromagnetischer Kopplung:

$$\boxed{\mathcal{L} = \xi \cdot (\partial E_{\text{field}})^2 + \alpha_{\text{EM}} \cdot J^{\mu} A_{\mu}} \quad (12.60)$$

wobei  $\alpha_{\text{EM}} = 1$  ergibt:

$$\mathcal{L} = \xi \cdot (\partial E_{\text{field}})^2 + J^{\mu} A_{\mu} \quad (12.61)$$

**Parameterfreie Physik erreicht:**

$$\boxed{\text{Gesamte Physik} = f(\xi) \text{ wobei } \xi = \frac{4}{3} \times 10^{-4}} \quad (12.62)$$

Die geometrische Konstante  $\xi$  entsteht aus der dreidimensionalen Raumstruktur, und die elektromagnetische Kopplung wird per Definition in natürlichen Einheiten auf eins normiert.

# Anhang A

## Vollständiges Symbolverzeichnis

### A.1 Griechische Buchstaben

Symbol	Bedeutung	Dimension
$\alpha$	Feinstrukturkonstante	[1]
$\alpha_{\text{EM}}$	Elektromagnetische Kopplung	[1]
$\alpha_G$	Gravitationskopplung	[1]
$\alpha_W$	Schwache Kopplung	[1]
$\alpha_S$	Starke Kopplung	[1]
$\beta$	Charakteristischer Skalenparameter	[1]
$\beta_T$	Zeitparameter in natürlichen Einheiten	[1]
$\gamma$	Lorentz-Faktor	[1]
$\gamma^\mu$	Dirac-Matrizen	[1]
$\delta$	Variation/kleine Änderung	variabel
$\delta E$	Energiefeldfluktuation	[E]
$\delta^3(\vec{r})$	Dreidimensionale Dirac-Deltafunktion	[E <sup>3</sup> ]
$\epsilon$	Permittivität	[E <sup>-2</sup> ]
$\varepsilon$	Kopplungsparameter in der Lagrange-Dichte	[E <sup>2</sup> ]
$\zeta$	Dämpfungsparameter	[1]
$\eta$	Minkowski-Metrik	[1]
$\theta$	Winkel	[1]
$\kappa$	Geometrischer Korrekturparameter	[E · L <sup>-2</sup> ]
$\lambda$	Wellenlänge	[L]
$\Lambda$	Kosmologische Konstante	[E <sup>4</sup> ]
$\mu$	Myon-Bezeichnung / Index	-
$\nu$	Neutrino-Bezeichnung / Index	-
$\xi$	Universelle geometrische Konstante	[1]
$\xi_{\text{rat}}$	Skalenverhältnis Planck zu T0	[1]
$\rho$	Dichte	[E <sup>4</sup> ]
$\sigma$	Wirkungsquerschnitt / Standardabweichung	[L <sup>2</sup> ] / [1]
$\tau$	Tau-Lepton / Eigenzeit	- / [T]
$\phi$	Quantenphase	[1]
$\Phi$	Higgs-Feld / Potential	[E]
$\chi$	Skalarfeld	[E]

Symbol	Bedeutung	Dimension
$\psi$	Wellenfunktion	$[E^{3/2}]$
$\Psi$	Wellenfunktion (Großschreibung)	$[E^{3/2}]$
$\omega$	Winkelfrequenz / Photonenenergie	$[E]$
$\Omega$	Raumwinkel	$[1]$

## A.2 Lateinische Buchstaben (Großbuchstaben)

Symbol	Bedeutung	Dimension
$A_\mu$	Elektromagnetisches Vektorpotential	$[E]$
$C$	Konstante / Koeffizient	variabel
$D_\mu$	Kovariante Ableitung	$[E]$
$E$	Energie / charakteristische Energie	$[E]$
$E_{\text{field}}$	Universelles Energiefeld	$[E]$
$E_e$	Charakteristische Energie des Elektrons	$[E]$
$E_\mu$	Charakteristische Energie des Myons	$[E]$
$E_\tau$	Charakteristische Energie des Taus	$[E]$
$E_p$	Charakteristische Energie des Protons	$[E]$
$E_h$	Charakteristische Energie des Higgs	$[E]$
$E_P$	Planck-Energie	$[E]$
$F_{\mu\nu}$	Elektromagnetischer Feldstärketensor	$[E^2]$
$G$	Gravitationskonstante	$[E^{-2}]$
$G_3$	Dreidimensionaler Geometriefaktor	$[1]$
$H$	Hamilton-Operator	$[E]$
$I_{ij}$	Energie-Impuls-Tensor	$[E]$
$J^\mu$	Stromdichte	$[E^3]$
$L$	Lagrange-Funktion	$[E]$
$\mathcal{L}$	Lagrange-Dichte	$[E^4]$
$M$	Masse	$[E]$
$P$	Impuls	$[E]$
$R$	Krümmungsskalar	$[E^2]$
$S$	Wirkung / Spin	$[1] / [E]$
$T$	Zeit / Zeitfeld	$[T] / [E^{-1}]$
$T_{\text{field}}$	Intrinsisches Zeitfeld	$[E^{-1}]$
$T_0$	Referenzzeitskala	$[T]$
$V$	Potential / Volumen	$[E] / [L^3]$
$W$	W-Boson	-
$Z$	Z-Boson / Rotverschiebung	- / $[1]$

## A.3 Lateinische Buchstaben (Kleinbuchstaben)

Symbol	Bedeutung	Dimension
--------	-----------	-----------

$a$	Beschleunigung	$[E^2]$
$a_\mu$	Anomales magnetisches Moment des Myons	[1]
$a_e$	Anomales magnetisches Moment des Elektrons	[1]
$a_\tau$	Anomales magnetisches Moment des Taus	[1]
$c$	Lichtgeschwindigkeit	[1] (natürliche Einheiten)
$d$	Differential	variabel
$e$	Elementarladung	[1] (natürliche Einheiten)
$f$	Funktion / Frequenz	variabel / $[E]$
$g$	Kopplungskonstante / Funktion	[1] / variabel
$g_{\mu\nu}$	Metrischer Tensor	[1]
$h$	Planck-Konstante	$[E \cdot T]$
$\hbar$	Reduzierte Planck-Konstante	[1] (natürliche Einheiten)
$i$	Imaginäre Einheit	[1]
$j$	Stromdichte / Index	$[E^3]$ / -
$k$	Wellenzahl / Boltzmann-Konstante	$[E]$ / [1]
$\ell$	Länge	$[L]$
$\ell_P$	Planck-Länge	$[L]$
$m$	Masse	$[E]$
$n$	Index / Zahl	-
$p$	Impuls	$[E]$
$q$	Ladung	[1] (natürliche Einheiten)
$r$	Radius / Abstand	$[L]$
$r_0$	Charakteristische T0-Länge	$[L]$
$s$	Weg / Mandelstam-Variable	$[L]$ / $[E^2]$
$t$	Zeit	$[T]$
$t_0$	Charakteristische T0-Zeit	$[T]$
$t_P$	Planck-Zeit	$[T]$
$u$	Geschwindigkeit / Mandelstam-Variable	[1] / $[E^2]$
$v$	Geschwindigkeit	[1]
$w$	Zustandsgleichungsparameter	[1]
$x$	Raumkoordinate	$[L]$
$y$	Raumkoordinate	$[L]$
$z$	Raumkoordinate / Rotverschiebung	$[L]$ / [1]

## A.4 Operatoren und Sonderzeichen

Symbol	Bedeutung	Dimension
$\partial$	Partielle Ableitung	$[E]$
$\partial_\mu$	Kovariante Ableitung	$[E]$
$\nabla$	Nabla-Operator	$[E]$
$\nabla^2$	Laplace-Operator	$[E^2]$
$\square$	d'Alembert-Operator	$[E^2]$
$\int$	Integral	variabel
$\sum$	Summe	variabel

$\Pi$	Produkt	variabel
$\langle \rangle$	Erwartungswert	variabel
$ \cdot $	Absolutwert / Norm	variabel
$\hat{\cdot}$	Operator / Einheitsvektor	variabel
$\vec{\cdot}$	Vektor	variabel
$\bar{\cdot}$	Konjugiert / Durchschnitt	variabel
$\tilde{\cdot}$	Fourier-transformiert	variabel
$\dot{\cdot}$	Zeitableitung	$[E]$
$\ddot{\cdot}$	Zweite Zeitableitung	$[E^2]$
$\prime$	Räumliche Ableitung	$[E]$
$\dagger$	Hermesch konjugiert	variabel
$*$	Komplex konjugiert	variabel
$\times$	Kreuzprodukt / Multiplikation	variabel
$\cdot$	Skalarprodukt	variabel
$\otimes$	Tensorprodukt	variabel
$\oplus$	Direkte Summe	variabel

## A.5 Indizes und Bezeichnungen

Index	Bedeutung
$\mu, \nu, \lambda, \rho$	Raumzeit-Indizes (0,1,2,3)
$i, j, k, l$	Räumliche Indizes (1,2,3)
$a, b, c$	Farbindizes (QCD)
$A, B, C$	Eichindizes
$\alpha, \beta, \gamma$	Spinor-Indizes
$e$	Elektron
$\mu$	Myon
$\tau$	Tau-Lepton
$p$	Proton
$n$	Neutron
$\gamma$	Photon
$W$	W-Boson
$Z$	Z-Boson
$g$	Gluon
$h$	Higgs-Boson
$P$	Planck (Referenz)
0	Referenz/Grundzustand
field	Feldbezeichnung
char	Charakteristisch
norm	Normiert
eff	Effektiv
tot	Gesamt
exp	Experimentell
SM	Standardmodell
T0	T0-Modell

EM	Elektromagnetisch
G	Gravitationell
W	Schwach
S	Stark

## A.6 Konstanten und numerische Werte

Symbol	Wert	Bedeutung
$\pi$	3,14159...	Pi (Kreiskonstante)
$e$	2,71828...	Eulersche Zahl
$\xi$	$\frac{4}{3} \times 10^{-4}$	Universelle geometrische Konstante
$G_3$	$\frac{4}{3}$	3D-Geometriefaktor
$S_{\text{ratio}}$	$10^{-4}$	Skalenverhältnis
$E_e$	0,511 MeV	Elektronenenergie
$E_\mu$	105,658 MeV	Myonenenergie
$E_\tau$	1776,86 MeV	Tau-Energie
$a_\mu^{\text{exp}}$	$251(59) \times 10^{-11}$	Experimenteller Myon-Wert
$a_\mu^{\text{T0}}$	$245(12) \times 10^{-11}$	T0-Vorhersage
$\sigma_{\text{T0}}$	0,10 $\sigma$	T0-Abweichung
$\sigma_{\text{SM}}$	4,2 $\sigma$	SM-Abweichung

## A.7 Dimensionen in natürlichen Einheiten

Größe	Dimension
Energie $E$	$[E]$ (fundamental)
Masse $M$	$[E]$
Länge $L$	$[E^{-1}]$
Zeit $T$	$[E^{-1}]$
Impuls $p$	$[E]$
Kraft $F$	$[E^2]$
Ladung $q$	$[1]$
Wirkung $S$	$[1]$
Wirkungsquerschnitt $\sigma$	$[E^{-2}]$
Lagrange-Dichte $\mathcal{L}$	$[E^4]$
Energiedichte $\rho$	$[E^4]$
Wellenfunktion $\psi$	$[E^{3/2}]$

## A.8 Häufig verwendete Kombinationen

Kombination	Wert	Bedeutung
$\frac{\xi}{2\pi}$	$2,122 \times 10^{-5}$	g-2-Vorfaktor
$\frac{E_\mu}{E_e}$	206,768	Myon-Elektron-Verhältnis

$\frac{E_\tau}{E_e}$	3477,7	Tau-Elektron-Verhältnis
$\xi^2$	$1,78 \times 10^{-8}$	Gravitationskopplung
$\xi^{1/2}$	$1,15 \times 10^{-2}$	Schwache Kopplung
$\xi^{-1/3}$	9,65	Starke Kopplung
$2GE$	-	Universelle T0-Skala
$T_{\text{field}} \cdot E_{\text{field}}$	1	Zeit-Energie-Dualität

## A.9 Kritische Hinweise

### A.9.1 Feinstrukturkonstante

**WICHTIG:** In natürlichen Einheiten ist  $\alpha_{\text{EM}} = 1$  per Definition. Der Wert  $\alpha = 1/137,036$  gilt nur in SI-Einheiten.

### A.9.2 Universelle geometrische Konstante

Der Parameter  $\xi = \frac{4}{3} \times 10^{-4}$  ist die fundamentale Konstante des T0-Modells:

- $\frac{4}{3}$ : Dreidimensionaler Geometriefaktor aus dem Kugelvolumen
- $10^{-4}$ : Universelles Skalenverhältnis zwischen Quanten- und Gravitationsdomänen
- Dimensionslos:  $[\xi] = [1]$
- Exakter Wert: Keine empirische Anpassung erforderlich

### A.9.3 Zeit-Energie-Dualität

Die fundamentale Beziehung  $T_{\text{field}} \cdot E_{\text{field}} = 1$  gewährleistet:

- $[T_{\text{field}}] = [E^{-1}] = [T]$
- $[E_{\text{field}}] = [E]$
- $[T_{\text{field}} \cdot E_{\text{field}}] = [1]$  (dimensionslos)

### A.9.4 Konvention natürlicher Einheiten

Im gesamten T0-Modell:

- $\hbar = c = k_B = 1$  (auf Eins gesetzt)
- $G = 1$  numerisch, behält aber die Dimension  $[G] = [E^{-2}]$
- Energie  $[E]$  ist die fundamentale Dimension
- Alle anderen Größen in Bezug auf Energie ausgedrückt



## A.10 Quellenangabe

Die in diesem Dokument diskutierte T0-Theorie und ihre zugrundeliegenden mathematischen Formulierungen basieren auf den Originalarbeiten, die öffentlich verfügbar sind unter:

<https://github.com/jpascher/T0-Time-Mass-Duality/tree/main/2/pdf>